

สำนักงานบัณฑิตศึกษา มหาวิทยาลัยแม่โจ้	
ระดับการประเมินคุณภาพ	
<input checked="" type="checkbox"/> ดีเยี่ยม	<input type="checkbox"/> ค่อนข้างดี
<input type="checkbox"/> ดี	<input type="checkbox"/> ปานกลาง





การพัฒนาอุปกรณ์ตรวจจับไฟอิเล็กทรอนิกส์
เพื่อออกใช้คู่กับผลิตภัณฑ์

ในการรับซื้อไฟอิเล็กทรอนิกส์
เพื่อออกใช้คู่กับผลิตภัณฑ์



นราธิป สุจินดา

วิทยานิพนธ์นี้เป็นส่วนหนึ่งของความสมบูรณ์ของการศึกษาตามหลักสูตร

ปริญญาวิศวกรรมศาสตรมหาบัณฑิต

สาขาวิชาวิศวกรรมการประยุกต์ผลิตภัณฑ์

สำนักบริหารและพัฒนาวิชาการ มหาวิทยาลัยแม่โจ้

พ.ศ. 2554



ในรับรองวิทยานิพนธ์
สำนักบริหารและพัฒนาวิชาการ มหาวิทยาลัยแม่โจ้
ปริญญาวิศวกรรมศาสตร์บัณฑิต สาขาวิชาชีวกรรมการและป้องกันภัยศาสตร์

ชื่อเรื่อง

การพัฒนาอุปกรณ์ตรวจจับไฟอิเล็กทรอนิกส์ความเร็วขั้นสูง
ในการรับซ้อมไฟอิเล็กทรอนิกส์กับผลิตภัณฑ์

โดย

นราธิป ดุจินดา

พิจารณาให้หนอนโดย

ประธานกรรมการที่ปรึกษา

นายกรุง วงศ์

(ผู้ช่วยศาสตราจารย์ ดร.ชาติพงษ์ วาฤทธิ์)
วันที่ ๗ เดือน ๗ ๒๕๖๔ พ.ศ. ๒๕๖๔

กรรมการที่ปรึกษา

นางสาว

(รองศาสตราจารย์ ดร.ยงยุทธ ชัยสุริ)
วันที่ ๗ เดือน ๗ ๒๕๖๔ พ.ศ. ๒๕๖๔

กรรมการที่ปรึกษา

นาย

(ผู้ช่วยศาสตราจารย์ ดร.ชนวัฒน์ นิทกานวิจิตร)
วันที่ ๗ เดือน ๗ ๒๕๖๔ พ.ศ. ๒๕๖๔

ประธานกรรมการประจำหลักสูตร

นายกรุง วงศ์

(ผู้ช่วยศาสตราจารย์ ดร.ชาติพงษ์ วาฤทธิ์)
วันที่ ๗ เดือน ๗ ๒๕๖๔ พ.ศ. ๒๕๖๔

สำนักบริหารและพัฒนาวิชาการรับรองแล้ว

- ๑๓ -

(ผู้ช่วยศาสตราจารย์ ดร.จำเนียร ยศราษ)

ประธานกรรมการบัญชาศึกษา

วันที่ ๑๓ เดือน ๗ ๒๕๖๔ พ.ศ. ๒๕๖๔

ชื่อเรื่อง	การพัฒนาอุปกรณ์ตรวจคัดเพอร์ไซด์ความเข้มข้นสูง ในการรวมซัดเพอร์ไซด์กับผลิตภัณฑ์ไบสตด
ชื่อผู้เขียน	นางนราธิป สุจินดา
ชื่อปริญญา	วิศวกรรมศาสตรมหาบัณฑิต สาขาวิชาบริหารและพัฒนาผลิตภัณฑ์
ประธานกรรมการที่ปรึกษา	ผู้ช่วยศาสตราจารย์ ดร.จตุพงษ์ วาฤทธิ์

บทคัดย่อ

โครงการวิจัยนี้มีวัตถุประสงค์เพื่อพัฒนาอุปกรณ์ตรวจวัด SO_2 ความเข้มข้นสูงในการรวม SO_2 กับผลิตภัณฑ์ไบสตด ทดสอบวิธีการตรวจวัด SO_2 โดยวิธีการไทยเกรดและการใช้หลอดตรวจวัดในช่วงความเข้มข้น 2,000 ถึง 20,000 ppm ทำการทดสอบในห้องปฏิบัติการโดยการสูมตัวอย่าง SO_2 ที่ความเข้มข้น 99% จากถังอัดความดัน เข้าไปสู่ถังผสมเพื่อทำการปรับความเข้มข้นให้อยู่ในช่วง 2,000 ถึง 20,000 ppm จากนั้นจึงสูมตัวอย่าง SO_2 จากถังผสมและปล่อยเข้าสู่หลอดทดลองของบอร์ดปริมาณ 200 มิลลิลิตรที่ติดตั้งเซนเซอร์วัด SO_2 อยู่ภายใน คำนวณค่าความเข้มข้นของ SO_2 และแสดงผลเป็นตัวเลขในหน่วย ppm ด้วยไมโครคอนโทรลเลอร์รุ่น PIC16F887 โดยทดสอบภาคสนามกับห้องรวม SO_2 ผลลัพธ์ได้แสดงค่าความแม่นยำและเสถียรภาพสูง แต่ต้องปรับตัวอย่างต่อเนื่องตามสภาพอากาศและเวลา การทดสอบภาคสนามในช่วงความเข้มข้น 2,000 ถึง 20,000 ppm และมีค่าสัมประสิทธิ์การตัดสินใจ (R^2_{fit}) เท่ากับ 0.99 ความคาดคะเนคือใน การตรวจวัด $\pm 121 \text{ ppm}$ หรือ ร้อยละ 0.67 ของช่วงการวัด และในการทดสอบภาคสนาม เมื่อ เปรียบเทียบค่าที่ได้จากการอุปกรณ์ตรวจวัดกับวิธีการไทยเกรดพบว่าไม่มีความแตกต่างกันทางสถิติก็ ระดับนัยสำคัญ 0.05 และมีความไม่แน่นอนในการตรวจวัดเท่ากับ $\pm 1,420 \text{ ppm}$ หรือร้อยละ 7.68 ของช่วงการวัด โดยอุปกรณ์ตรวจวัด SO_2 ใช้เวลาในการตรวจวัด 5 นาที ซึ่งเร็วกว่าการตรวจวัด SO_2 ด้วยการไทยเกรด 2.5 เท่า และไม่ต้องจัดเตรียมสารเคมี

Title	Development of High Concentration SO ₂ Measuring Device for SO ₂ Fumigation Process of Fresh Longan
Author	Mr. Narathip Sujinda
Degree of	Master of Engineering in Agro-Process Engineering
Advisory Committee Chairperson	Assistant Professor Dr. Jatuphong Varith

ABSTRACT

This research aimed to develop a high-concentration SO₂ measuring device for SO₂ fumigation of fresh longan fruits as a substitute for the SO₂ measuring method by titration and use of gas detector tube in the range of 2,000 - 20,000 ppm. The study was performed in the laboratory by sampling a 99% SO₂ from pressure tank and transferring it into the buffer tank to formulate the concentration into a range of 2,000 - 20,000 ppm. Later, after SO₂ was sampled from the buffer tank, it was released into a 200 ml cylindrical tube equipped inside with SO₂ commercial sensor. By using these data, SO₂ measuring device was assembled by using PIC16F887 microcontroller to calculate the concentration of SO₂ and to display the numeric result fumigation in ppm unit. The device was field tested in a fresh longan SO₂ fumigation operated by forced-air technique at an industrial scale. SO₂ inside the fumigation room was sampled every 10 minutes at 60 - minute fumigation. Voltage from the sensor was a calibrated reference for SO₂ concentration using titration method. It was found that the response of the measuring sensor was linear in a range of 2,000 - 20,000 ppm concentrations at a decisive coefficient (R^2_{adj}) of 0.99 with error of the measurement of ± 121 ppm or equivalent to 0.67 percent of the measuring range. In the field test, comparison between read out from device and titration method were not significantly different ($p \geq 0.05$). The measuring uncertainty was $\pm 1,420$ ppm or 7.68 percent of the measuring range. The device provided rapid measurement of SO₂ concentration within 5 minutes which was approximately 2.5 times faster than the titration method with more convenience and without any chemical preparation.

กิตติกรรมประกาศ

ผู้วิจัยขอขอบพระคุณผู้ช่วยศาสตราจารย์ ดร.ชาตุพงศ์ วาฤทธิ์ ประธานกรรมการที่ปรึกษา และผู้ช่วยศาสตราจารย์ จักรพงษ์ พิมพิมล ที่ปรึกษาโครงการ ที่ได้กรุณาให้คำปรึกษา ชี้แนะแนวทางในการศึกษาดังเดิมทันใจกระทั้งสำเร็จการศึกษาในระดับบัณฑิตศึกษา อีกทั้งยังมีส่วนช่วยในการทางบประมาณมาใช้ในการทำวิจัย ตลอดจนช่วยตรวจสอบแก้ไขจนกระทั้งได้ วิทยานิพนธ์ที่สมบูรณ์เล่นนี้

ขอขอบพระคุณรองศาสตราจารย์ ดร.ยงยุทธ ข้ามสี และผู้ช่วยศาสตราจารย์ ดร.ชนวัฒน์ นิพานิพัฒน์ นิพานิพัฒน์ กรรมการที่ปรึกษา ที่เคยให้คำแนะนำ เสนอแนะข้อคิดเห็นต่าง ๆ ด้วยดี เสนอมา อีกทั้งกรุณาตรวจสอบแก้ไขวิทยานิพนธ์เล่นนี้จนสมบูรณ์

ขอขอบพระคุณผู้ช่วยศาสตราจารย์ ดร.ชัชวาลย์ ชัยชนะ ที่กรุณารับเป็นประธาน กรรมการสอนวิทยานิพนธ์ และให้ข้อเสนอแนะ เพื่อนำไปปรับปรุงแก้ไขวิทยานิพนธ์เล่นนี้ให้มีเนื้อหาที่สมบูรณ์ครบถ้วน เป็นประโยชน์ต่อผู้ที่สนใจศึกษาต่อไปในอนาคต

ขอขอบพระคุณบริษัท ไทยมงคลไน์ จำกัด ที่สนับสนุนวัสดุคิน (ลำไยสด) สำหรับการทดลองในงานวิจัย

ขอขอบพระคุณคณาจารย์ทุกท่านที่ถ่ายทอดวิชาความรู้ให้แก่ข้าพเจ้า จนกระทั้งสำเร็จการศึกษา และขอขอบคุณเจ้าหน้าที่ประจำสาขาวิชา วิศวกรรมเกษตรและอาหาร คณะวิศวกรรมและอุตสาหกรรมการเกษตร ทุกท่าน ตลอดจนพี่ ๆ เพื่อน ๆ และน้อง ๆ ที่เคยช่วยเหลือให้การศึกษาสำเร็จลุล่วงไปได้ด้วยดี

ขอกราบขอบพระคุณ คุณพ่อประหมัด และคุณแม่ประทุม สุจินดา รวมทั้งญาติพี่น้องทุกคนที่อบรมสั่งสอน ชี้แนะแนวทางในการดำเนินชีวิต ตลอดจนให้การสนับสนุน อุปการะเลี้ยงดูข้าพเจ้าตลอดมาจนกระทั้งสำเร็จการศึกษาในครั้งนี้

นราธิป สุจินดา
ตุลาคม 2554

สารบัญ

	หน้า
บทคัดย่อ	(3)
ABSTRACT	(4)
กิตติกรรมประกาศ	(5)
สารบัญ	(6)
สารบัญตาราง	(10)
สารบัญภาพ	(11)
สารบัญตารางผนวก	(13)
สารบัญภาพผนวก	(16)
สัญลักษณ์	(17)
บทที่ 1 บทนำ	
ความสำคัญของปัจจุบัน	1
วัตถุประสงค์ของการวิจัย	2
ประโยชน์ที่คาดว่าจะได้รับ	3
ขอบเขตของการวิจัย	3
บทที่ 2 การตรวจเอกสาร	
ผลลำไยสด	4
ความรู้ทั่วไปเกี่ยวกับลำไย	4
การจัดชั้นคุณภาพมาตรฐานลำไยสด	4
ข้อกำหนดเรื่องขนาดของลำไยชั้อและลำไยผลเดี่ยว	5
ความรู้พื้นฐานเกี่ยวกับ SO_2	6
คุณสมบัติทั่วไปของ SO_2	6
ระดับความเข้มข้นของ SO_2 ที่ก่อให้เกิดอันตราย	6
การรวม SO_2 กับผลลำไยสด	7
รูปแบบของการใช้ SO_2 กับผลลำไยสด	7
การเผาผงกำมะถัน	8
การใช้ SO_2 จากถังอัดความดัน	8
การใช้ SO_2 จากสารประกอบซัลไฟเตอร์ชนิดอื่น	9

	หน้า
ห้องนร SO ₂	10
การปล่อย SO ₂	12
ระบบหมุนเวียนอากาศแบบบังคับ	16
การตรวจวัด SO ₂	18
การตรวจวัด SO ₂ โดยใช้สารละลายน้ำไฮโดรเจนเปอร์ออกไซด์ (H ₂ O ₂)	
เข้มข้น 3%	18
การตรวจวัด SO ₂ ในอากาศโดยใช้หลอดตรวจแก๊ส หรือ หลอดชีบออก	20
การวิเคราะห์ความไม่แน่นอน	22
ผลงานวิจัยที่เกี่ยวข้อง	24
การรnm SO ₂ กับผลลำไยสด	24
อุปกรณ์ตรวจวัด SO ₂ โดยการปรับเทียบกับค่าแรงดันไฟฟ้าและ กระแสไฟฟ้า	24
สรุปกรอบแนวความคิดในการทำงานวิจัย	31
สมมติฐานงานวิจัย	31
บทที่ 3 อุปกรณ์และวิธีการ	32
อุปกรณ์ที่ใช้ในการวิจัย	32
สารเคมี	32
วิธีการศึกษา	33
ศึกษาปัญหาการตรวจวัด SO ₂ ในการรnm SO ₂ กับผลลำไยสด	33
ศึกษาถึงความเป็นไปได้เบื้องต้น	33
เกณฑ์ในการออกแบบ	35
การออกแบบอุปกรณ์และระบบตรวจวัด	35
การทดสอบและวิเคราะห์ความไม่แน่นอนของอุปกรณ์ตรวจวัด SO ₂ ระดับ ห้องปฏิบัติการ	37
การทดสอบและเก็บข้อมูลกับห้องนร SO ₂ ระดับอุตสาหกรรม	40
การวิเคราะห์ข้อมูล	40
สถานที่ดำเนินการวิจัย	41
ระยะเวลาในการวิจัย	42
แผนภูมิการดำเนินงาน	43

	หน้า
งบประมาณที่ใช้ในการวิจัย	44
บทที่ 4 ผลการวิจัยและวิจารณ์	45
ผลการออกแบบและสร้างอุปกรณ์ตรวจวัด SO ₂	45
หน่วยตรวจวัด SO ₂	45
หน่วยประมวลผล	46
ผลการทดสอบอุปกรณ์ในห้องปฏิบัติการและวิจารณ์	48
ผลการทดสอบ การเก็บข้อมูลภาคสนามและวิจารณ์	54
ผลการคำนวณค่าความไม่แน่นอนในการวัด	61
ความไม่แน่นอนจากการทดลองช้ำ	62
ความไม่แน่นอนจากการทดสอบเทียบของเซนเซอร์ SO ₂	62
ความไม่แน่นอนจากความละเอียด (Resolution) ของเซนเซอร์ SO ₂	62
ความไม่แน่นอนจากการทดสอบกีดขวาง	63
ความไม่แน่นอนจากความต้านทานอ้างอิง	64
ความไม่แน่นอนจากการพัฒนาภูมิภาค	64
ความไม่แน่นอนจากผู้วิจัย	64
ความไม่แน่นอนจากความละเอียด (Resolution) ของการ ไทเกรต	65
ความไม่แน่นอนรวมในการวัด	65
การวิเคราะห์เศรษฐศาสตร์ในการใช้อุปกรณ์ตรวจวัด SO ₂ ทดแทนการ ไทเกรต	66
บทที่ 5 สรุปและข้อเสนอแนะ	68
สรุปผลการทดสอบ	68
ข้อจำกัดของการศึกษา	69
ข้อเสนอแนะเพื่อเป็นแนวทางในการศึกษาต่อไป	69
แนวทางในการพัฒนาต่อในอนาคต	69
บรรณานุกรม	70
ภาคผนวก	74
ภาคผนวก ก ผลการทดสอบอุปกรณ์ในห้องปฏิบัติการ	75
ภาคผนวก ข ผลการทดสอบอุปกรณ์ตรวจวัด SO ₂ กับห้องรน SO ₂ กับผลลำไย	75
สรุปผลการทดสอบ	75
สรุปผลการทดสอบกับห้องรน SO ₂	75
สรุปผลการทดสอบกับผลลำไย	75

หน้า

ภาคผนวก ก การวิเคราะห์ข้อมูลโดยใช้วิธี Repeated measurement ด้วยโปรแกรม Statview™ v.5	123
ภาคผนวก ง การหาปริมาณ SO_2 ตกค้างในผลลำไยสดหลังการรม โดยวิธี Modified Monier-Williams	127
ภาคผนวก จ ภาพบางส่วนจากการเก็บข้อมูลภาคสนาม	132
ภาคผนวก ฉ ประวัติผู้วิจัย	136

สารบัญตาราง

ตาราง	หน้า
1 ข้อกำหนดเรื่องขนาดของลำไยช่อและลำไยผลเดี่ยว	5
2 ปริมาณ SO_2 ที่ได้จากการประกอบชั้ลไฟฟ์ชนิดต่าง ๆ	6
3 ปริมาณในการสูม SO_2 จากถังอัดความดัน	38
4 รายละเอียดขั้นตอนการคำนวณงานของการทำวิจัย	42
5 ผลการทดสอบค่าความเข้มข้นจากทรงกระบอกปริมาตร 2,120 มิลลิลิตร	49
6 การเปรียบเทียบความเข้มข้น SO_2 จากการใช้อุปกรณ์ตรวจวัดกับการไห้เกรตในการทดสอบระดับห้องปฏิบัติการ	52
7 การเปรียบเทียบความเข้มข้น SO_2 จากการใช้อุปกรณ์ตรวจวัดกับการไห้เกรตทุกๆ 10 นาที ในการทดสอบเบื้องต้น ครั้งที่ 1	53
8 การเปรียบเทียบความเข้มข้น SO_2 จากการใช้อุปกรณ์ตรวจวัดกับการไห้เกรตทุกๆ 10 นาที ในการทดสอบเบื้องต้น ครั้งที่ 2	53
9 ระยะเวลาที่ใช้ในการตรวจวัดค่าของอุปกรณ์กับการไห้เกรต	54
10 ความเข้มข้น SO_2 จากการใช้อุปกรณ์ตรวจวัดกับการไห้เกรตทุกๆ 10 นาที ความเข้มข้นเมื่อสิ้นสุดการรวม 6,000 ppm	57
11 ความเข้มข้น SO_2 จากการใช้อุปกรณ์ตรวจวัดกับการไห้เกรตทุกๆ 10 นาที ความเข้มข้นเมื่อสิ้นสุดการรวม 8,000 ppm	57
12 ความเข้มข้น SO_2 จากการใช้อุปกรณ์ตรวจวัดกับการไห้เกรตทุกๆ 10 นาที ความเข้มข้นเมื่อสิ้นสุดการรวม 12,000 ppm	58
13 ผลการวิเคราะห์ทางสถิติแบบ Repeated measurement ของอุปกรณ์ตรวจวัดในการทดสอบภาคสนาม	59
14 ปริมาณ SO_2 ตกค้างในเปลือกและเนื้อ ตามวิธี Modified Monier-Williams	61
15 ค่าความเข้มข้น SO_2 ที่ไม่แน่นอนจากทรงกระบอกพิเศษที่ระดับความเข้มข้น SO_2 2,000 ถึง 20,000 ppm เมื่อมีความคลาดเคลื่อนไป ± 0.2 มิลลิลิตร	63
16 ค่าความไม่แน่นอนจากแหล่งความไม่แน่นอนในการใช้อุปกรณ์ตรวจวัด	65
17 การเปรียบเทียบคันทุนระหว่างการตรวจวัดค่าของอุปกรณ์ตรวจวัด SO_2 กับการไห้เกรต	67

สารบัญภาพ

ภาพ	หน้า
1 การใช้ SO_2 จากถังอัดความดัน	9
2 ตัวอย่างแผนผังสถานประกอบการรرم SO_2 พลอลำไยสดที่ได้มาตรวจสอบ	11
3 การจัดเรียงตะกร้าลำไยในการรرم SO_2 ในห้องขนาดเล็ก	13
4 ดำเนินการติดตั้งส่วนประกอบภายในห้องรرم และถักขยะการหมุนเวียนอากาศ	14
5 ตัวอย่างหัวคูด SO_2 รูปสี่เหลี่ยมผืนผ้า	15
6 หัวกระจายแก๊สรูปพัด	15
7 ดำเนินการติดตั้งส่วนประกอบในแนวตั้งและแนวนอน	17
8 ภาพจำลองด้านหน้าของห้องรرم SO_2 ที่ใช้ระบบหมุนเวียนอากาศแบบบังคับในแนวตั้งและแนวนอน	17
9 ภาพจำลองด้านหลังของห้องรرم SO_2 ที่ใช้ระบบหมุนเวียนอากาศแบบบังคับในแนวตั้งและแนวนอน	18
10 ปืน และ Detector tube	20
11 การหักปลายทั้งสองข้างของ Detector tube	20
12 การเสียบปลาย Detector tube ที่หักแล้วเข้ากับด้าวปืน	21
13 การคูด SO_2 ผ่าน Detector tube	21
14 การปรับเทียบค่ากระแสไฟฟ้าจากหัวตรวจวัดกับ SO_2	25
15 การตอบสนองของหัวตรวจวัด SO_2 เข้มข้น 30 ppm เวลา 8 ชั่วโมง และ 50 นาที	25
16 ค่าความเข้มข้น SO_2 ช่วง 20 – 250 ppm ปรับเทียบกับการตอบสนองของกระแสไฟฟ้า	26
17 ความเข้มข้น SO_2 ช่วง 1 ถึง 1,000 ppm ที่อุณหภูมิ 600 °C ปรับเทียบกับค่าแรงดันไฟฟ้า	26
18 อุปกรณ์วัดความเข้มข้นของ NO_2 CO O_2 และ SO_2	27
19 ค่าตอบสนองของกระแสไฟฟ้าปรับเทียบกับความเข้มข้นของ SO_2 ในช่วงความเข้มข้น 5 ถึง 500 ppm	28
20 หัวตรวจวัดต่ออนุกรมอยู่กับด้าวนาน	28
21 ระบบตรวจวัด SO_2	29

ภาค	หน้า
22 ดำเนินการติดตั้งและใช้งานอุปกรณ์ตรวจวัด SO ₂ และ O ₂ ในท่อไอเสีย	29
23 การตอบสนองของอุปกรณ์ตรวจวัด SO ₂ ที่ช่วงความเข้มข้น 18 ถึง 10,000 ppm อุณหภูมิ 650 ถึง 1,000 องศาเซลเซียส	30
24 ระบบวิเคราะห์ SO ₂ แบบต่อเนื่อง	30
25 อุปกรณ์ตรวจวัด SO ₂ ยี่ห้อ Bacharach รุ่น PCA 2	33
26 หัวตรวจวัด SO ₂ ยี่ห้อ Alphasense รุ่น SO2-AE	34
27 Transmitter board สำหรับหัวตรวจวัด SO ₂ รุ่น SO2-AE	34
28 หลักการทำงานของอุปกรณ์ตรวจวัด SO ₂	35
29 Schematic diagram สำหรับหน่วยประมวลผลของอุปกรณ์ตรวจวัด SO ₂	36
30 การออกแบบระบบตรวจวัด SO ₂	37
31 ชุดทดสอบอุปกรณ์ตรวจวัด SO ₂	38
32 ห้องรnm SO ₂ ที่ใช้ระบบหมุนเวียนอากาศแบบบังคับในแนวตั้งระดับอุดสาหกรรม	40
33 แผนผังการดำเนินงาน	43
34 การติดตั้งเซ็นเซอร์ SO ₂ และพัดลมไอล่าอากาศในระบบออกตรวจวัด	45
35 องค์ประกอบของอุปกรณ์ตรวจวัด SO ₂	46
36 หน่วยประมวลผลของอุปกรณ์ตรวจวัด SO ₂	46
37 ลักษณะการทำงานของหน่วยประมวลผลอุปกรณ์ตรวจวัด SO ₂	47
38 การเชื่อมต่อระหว่างระบบออกตรวจวัด SO ₂ และหน่วยประมวลผล	47
39 ถังผสมทรงกระบอกปริมาตร 2,000 มิลลิลิตร	48
40 การตอบสนองของหน่วยตรวจวัด SO ₂	50
41 การตอบสนองของหน่วยตรวจวัด SO ₂ ปรับเทียบกับความเข้มข้น SO ₂ ตัวบวช ไทยแทรค	51
42 การเก็บข้อมูลภาคสนามกับห้องรnm SO ₂ กับผลคำใบศรีระดับอุดสาหกรรม	55
43 ขั้นตอนการทำงานและการประมวลผลของอุปกรณ์ตรวจวัด SO ₂	56
44 แนวโน้มของการตรวจวัดความเข้ม SO ₂ ที่ได้จากอุปกรณ์ตรวจวัดเบริญเทียบกับ การไทยแทรค	60

สารบัญตารางผนวก

ตารางผนวก		หน้า
1	ค่าความเข้มข้นที่ปรับได้จากการสูม SO ₂ จากถังอัดความดันใน	
	ทรงกระบอกปริมาตร 2,000 มิลลิลิตร	76
2	ผลการทดสอบแรงดันไฟฟ้าตอบสนองที่ความเข้มข้น 2,000 ppm ครั้งที่ 1	77
3	ผลการทดสอบแรงดันไฟฟ้าตอบสนองที่ความเข้มข้น 2,000 ppm ครั้งที่ 2	78
4	ผลการทดสอบแรงดันไฟฟ้าตอบสนองที่ความเข้มข้น 2,000 ppm ครั้งที่ 3	79
5	ค่าจากการไหเทเรตที่ระดับความเข้มข้น 2,000 ppm	80
6	ผลการทดสอบแรงดันไฟฟ้าตอบสนองที่ความเข้มข้น 4,000 ppm ครั้งที่ 1	81
7	ผลการทดสอบแรงดันไฟฟ้าตอบสนองที่ความเข้มข้น 4,000 ppm ครั้งที่ 2	82
8	ผลการทดสอบแรงดันไฟฟ้าตอบสนองที่ความเข้มข้น 4,000 ppm ครั้งที่ 3	83
9	ค่าจากการไหเทเรตที่ระดับความเข้มข้น 4,000 ppm	84
10	ผลการทดสอบแรงดันไฟฟ้าตอบสนองที่ความเข้มข้น 6,000 ppm ครั้งที่ 1	85
11	ผลการทดสอบแรงดันไฟฟ้าตอบสนองที่ความเข้มข้น 6,000 ppm ครั้งที่ 2	86
12	ผลการทดสอบแรงดันไฟฟ้าตอบสนองที่ความเข้มข้น 6,000 ppm ครั้งที่ 3	87
13	ค่าจากการไหเทเรตที่ระดับความเข้มข้น 6,000 ppm	88
14	ผลการทดสอบแรงดันไฟฟ้าตอบสนองที่ความเข้มข้น 8,000 ppm ครั้งที่ 1	89
15	ผลการทดสอบแรงดันไฟฟ้าตอบสนองที่ความเข้มข้น 8,000 ppm ครั้งที่ 2	90
16	ผลการทดสอบแรงดันไฟฟ้าตอบสนองที่ความเข้มข้น 8,000 ppm ครั้งที่ 3	91
17	ค่าจากการไหเทเรตที่ระดับความเข้มข้น 8,000 ppm	92
18	ผลการทดสอบแรงดันไฟฟ้าตอบสนองที่ความเข้มข้น 10,000 ppm ครั้งที่ 1	93
19	ผลการทดสอบแรงดันไฟฟ้าตอบสนองที่ความเข้มข้น 10,000 ppm ครั้งที่ 2	94
20	ผลการทดสอบแรงดันไฟฟ้าตอบสนองที่ความเข้มข้น 10,000 ppm ครั้งที่ 3	95
21	ค่าจากการไหเทเรตที่ระดับความเข้มข้น 10,000 ppm	96
22	ผลการทดสอบแรงดันไฟฟ้าตอบสนองที่ความเข้มข้น 12,000 ppm ครั้งที่ 1	97
23	ผลการทดสอบแรงดันไฟฟ้าตอบสนองที่ความเข้มข้น 12,000 ppm ครั้งที่ 2	98
24	ผลการทดสอบแรงดันไฟฟ้าตอบสนองที่ความเข้มข้น 12,000 ppm ครั้งที่ 3	99
25	ค่าจากการไหเทเรตที่ระดับความเข้มข้น 12,000 ppm	100

ตารางผนวก		หน้า
26	ผลการทดสอบแรงดันไฟฟ้าตอบสนองที่ความเข้มข้น 14,000 ppm ครั้งที่ 1	101
27	ผลการทดสอบแรงดันไฟฟ้าตอบสนองที่ความเข้มข้น 14,000 ppm ครั้งที่ 2	102
28	ผลการทดสอบแรงดันไฟฟ้าตอบสนองที่ความเข้มข้น 14,000 ppm ครั้งที่ 3	103
29	ค่าจากการไทเทรตที่ระดับความเข้มข้น 14,000 ppm	104
30	ผลการทดสอบแรงดันไฟฟ้าตอบสนองที่ความเข้มข้น 16,000 ppm ครั้งที่ 1	105
31	ผลการทดสอบแรงดันไฟฟ้าตอบสนองที่ความเข้มข้น 16,000 ppm ครั้งที่ 2	106
32	ผลการทดสอบแรงดันไฟฟ้าตอบสนองที่ความเข้มข้น 16,000 ppm ครั้งที่ 3	107
33	ค่าจากการไทเทรตที่ระดับความเข้มข้น 16,000 ppm	108
34	ผลการทดสอบแรงดันไฟฟ้าตอบสนองที่ความเข้มข้น 18,000 ppm ครั้งที่ 1	109
35	ผลการทดสอบแรงดันไฟฟ้าตอบสนองที่ความเข้มข้น 18,000 ppm ครั้งที่ 2	110
36	ผลการทดสอบแรงดันไฟฟ้าตอบสนองที่ความเข้มข้น 18,000 ppm ครั้งที่ 3	111
37	ค่าจากการไทเทรตที่ระดับความเข้มข้น 18,000 ppm	112
38	ผลการทดสอบแรงดันไฟฟ้าตอบสนองที่ความเข้มข้น 20,000 ppm ครั้งที่ 1	113
39	ผลการทดสอบแรงดันไฟฟ้าตอบสนองที่ความเข้มข้น 20,000 ppm ครั้งที่ 2	114
40	ผลการทดสอบแรงดันไฟฟ้าตอบสนองที่ความเข้มข้น 20,000 ppm ครั้งที่ 3	115
41	ค่าจากการไทเทรตที่ระดับความเข้มข้น 20,000 ppm	116
42	ผลการทดสอบอุปกรณ์ภาคสนาม ทุก 10 นาที ตลอดระยะเวลาในการรرم 60 นาทีที่ความเข้มข้นเมื่อสิ้นสุดการรرم 6,000 ppm ครั้งที่ 1	118
43	ผลการทดสอบอุปกรณ์ภาคสนาม ทุก 10 นาที ตลอดระยะเวลาในการรرم 60 นาทีที่ความเข้มข้นเมื่อสิ้นสุดการรرم 6,000 ppm ครั้งที่ 2	119
44	ผลการทดสอบอุปกรณ์ภาคสนาม ทุก 10 นาที ตลอดระยะเวลาในการรرم 60 นาทีที่ความเข้มข้นเมื่อสิ้นสุดการรرم 6,000 ppm ครั้งที่ 3	119
45	ผลการทดสอบอุปกรณ์ภาคสนาม ทุก 10 นาที ตลอดระยะเวลาในการรرم 60 นาทีที่ความเข้มข้นเมื่อสิ้นสุดการรرم 8,000 ppm ครั้งที่ 1	120
46	ผลการทดสอบอุปกรณ์ภาคสนาม ทุก 10 นาที ตลอดระยะเวลาในการรرم 60 นาทีที่ความเข้มข้นเมื่อสิ้นสุดการรرم 8,000 ppm ครั้งที่ 2	120
47	ผลการทดสอบอุปกรณ์ภาคสนาม ทุก 10 นาที ตลอดระยะเวลาในการรرم 60 นาทีที่ความเข้มข้นเมื่อสิ้นสุดการรرم 8,000 ppm ครั้งที่ 3	121

ตารางผนวก	หน้า
48 ผลการทดสอบอุปกรณ์ ภาคสนาม ทุก 10 นาที ตลอดระยะเวลาในการรับ 60 นาทีที่ความเข้มข้นเมื่อสิ้นสุดการรับ 12,000 ppm ครั้งที่ 1	121
49 ผลการทดสอบอุปกรณ์ ภาคสนาม ทุก 10 นาที ตลอดระยะเวลาในการรับ 60 นาทีที่ความเข้มข้นเมื่อสิ้นสุดการรับ 12,000 ppm ครั้งที่ 2	122
50 ผลการทดสอบอุปกรณ์ ภาคสนาม ทุก 10 นาที ตลอดระยะเวลาในการรับ 60 นาทีที่ความเข้มข้นเมื่อสิ้นสุดการรับ 12,000 ppm ครั้งที่ 3	122

สารบัญภาพนวน

ภาพนวน	หน้า
1 ผลการทดสอบค่าแรงดันไฟฟ้าตอบสนองที่ระดับความเข้มข้น 2,000 ppm	80
2 ผลการทดสอบค่าแรงดันไฟฟ้าตอบสนองที่ระดับความเข้มข้น 4,000 ppm	84
3 ผลการทดสอบค่าแรงดันไฟฟ้าตอบสนองที่ระดับความเข้มข้น 6,000 ppm	88
4 ผลการทดสอบค่าแรงดันไฟฟ้าตอบสนองที่ระดับความเข้มข้น 8,000 ppm	92
5 ผลการทดสอบค่าแรงดันไฟฟ้าตอบสนองที่ระดับความเข้มข้น 10,000 ppm	96
6 ผลการทดสอบค่าแรงดันไฟฟ้าตอบสนองที่ระดับความเข้มข้น 12,000 ppm	100
7 ผลการทดสอบค่าแรงดันไฟฟ้าตอบสนองที่ระดับความเข้มข้น 14,000 ppm	104
8 ผลการทดสอบค่าแรงดันไฟฟ้าตอบสนองที่ระดับความเข้มข้น 16,000 ppm	108
9 ผลการทดสอบค่าแรงดันไฟฟ้าตอบสนองที่ระดับความเข้มข้น 18,000 ppm	112
10 ผลการทดสอบค่าแรงดันไฟฟ้าตอบสนองที่ระดับความเข้มข้น 20,000 ppm	116
11 การกรอกข้อมูลตัวแปรต้นและตัวแปรตาม	124
12 การเข้าค่าสั่งในการแสดงตาราง ANOVA	124
13 การเลือกตัวแปรต้นและตัวแปรตามเข้าในค่าสั่ง	125
14 การเข้าค่าสั่งการวิเคราะห์ข้อมูลแบบ Repeated measures	125
15 ผลการวิเคราะห์โดยการใช้ค่าสั่งการวิเคราะห์ข้อมูลแบบ Repeated measures	125
16 การเข้าค่าสั่งในการแสดงกราฟ โดยใช้ค่าสั่งการวิเคราะห์ข้อมูลแบบ Repeated measures	126
17 ผลการวิเคราะห์โดยการใช้ค่าสั่งการวิเคราะห์ข้อมูลแบบ Repeated measures โดยแสดงผลในรูปของกราฟ	126
18 ชุดเครื่องแก้วสำหรับวิเคราะห์ SO_2 ที่ติดค้างในเนื้อและในเปลือกลำไย	129
19 ลำไยสดในห้องรวม SO_2 กับผลลำไยสดระดับอุดสาหกรรม	133
20 ลำไยสดก่อนเข้าห้องรวมในโรงงานรวม SO_2 กับผลลำไยสดระดับอุดสาหกรรม	133
21 หอยก้าจัด SO_2 จากห้องรวม SO_2 ก่อนปล่อยสู่บรรยายกาศ	134
22 ชุดอุปกรณ์ไฟเทอร์ จากการสูม SO_2 จากห้องรวม	134
23 ถังอัดความดันบรรจุ SO_2 ความบริสุทธิ์ 99%	135
24 ชุดอุปกรณ์ตรวจวัด SO_2 ใน การเก็บข้อมูลภาคสนาม	135

สัญลักษณ์

สัญลักษณ์	ความหมาย	หน่วย
d	ค่าความคลาดเคลื่อนจากการสุ่มตรวจวัดภายในระดับความเข้มข้น	ไร้หน่วย
e	ค่าความคลาดเคลื่อนจากการทดลอง	ไร้หน่วย
$mg SO_2$	มิลลิกรัมของ SO_2	มิลลิกรัม
n	จำนวนครั้งในการวัด	ไร้หน่วย
N	ความเข้มข้นของสารละลายน้ำเดินไฮดรอกไซด์	นอร์มัล
$ppm SO_2$	ปริมาณความเข้มข้น SO_2	ppm
P	ระดับนัยสำคัญที่น้อยที่สุดที่จะปฏิเสธสมมติฐานหลัก	ไร้หน่วย
R'	ค่าสัมประสิทธิ์ในการตัดสินใจ	ไร้หน่วย
U_A	ค่าความไม่แน่นอนในการวัดประเภท A	ไร้หน่วย
U_B	ค่าความไม่แน่นอนในการวัดประเภท B	ไร้หน่วย
U_C	ค่าความไม่แน่นอนรวม	ไร้หน่วย
U_{es}	ค่าความไม่แน่นอนประมาณ	ไร้หน่วย
$U_{95\%}$	ค่าความไม่แน่นอนในการวัดที่ระดับความเชื่อมั่น 95%	ไร้หน่วย
V	ปริมาตรของสารละลายน้ำเดินไฮดรอกไซด์	มิลลิลิตร

กรีก โรมัน

สัญลักษณ์	ความหมาย	หน่วย
μ	ค่าเฉลี่ยโดยรวม	ไร้หน่วย
σ	ค่าเบี่ยงเบนมาตรฐาน	ไร้หน่วย
α	อิทธิพลจากระดับความเข้มข้นเมื่อสิ่งสุ่มการรุนแรง	ไร้หน่วย
β	อิทธิพลจากปัจจัยของวิธีการตรวจวัด	ไร้หน่วย
γ	อิทธิพลจากการทดลองช้า	ไร้หน่วย
κ	อิทธิพลจากปัจจัยเวลา	ไร้หน่วย
$\kappa\alpha$	อิทธิพลร่วมระหว่างระดับความเข้มข้นเมื่อสิ่งสุ่มการรุนแรงกับเวลา	ไร้หน่วย
$\kappa\beta$	อิทธิพลร่วมระหว่างเวลา กับ วิธีการตรวจวัด	ไร้หน่วย
$\kappa\gamma$	อิทธิพลร่วมระหว่างเวลา กับ การทดลองช้า	ไร้หน่วย

บทที่ 1

บทนำ

ความสำคัญของปัญหา

ลำไยเป็นพืชเศรษฐกิจที่สำคัญของจังหวัดเชียงใหม่ และลำพูน มีแนวโน้มในการขยายพื้นที่ปลูกออกไปในอีกหลายจังหวัดทั่วประเทศไทย เนื่องจากลำไยเป็นไม้ผลเศรษฐกิจ มีคุณสมบัติทางการตลาดน้อบ มีการบริโภคกันอย่างแพร่หลายทั้งในและต่างประเทศ และมูลค่าการส่งออกลำไยสดมีแนวโน้มเพิ่มขึ้นทุกปี โดยเฉพาะในช่วงเดือนกรกฎาคมและเดือนสิงหาคม ซึ่งเป็นช่วงที่มีผลผลิตลำไยสดออกสู่ตลาดเป็นจำนวนมากที่สุด โดยมีการส่งออกในปี พ.ศ. 2552 ถึง 240,032 ตัน กิตเป็นมูลค่า 3,646 ล้านบาท ซึ่งมากกว่าปี พ.ศ. 2551 ถึง 70,000 ตัน หรือเป็นมูลค่า 1,000 ล้านบาท และในปี พ.ศ. 2553 ก็มีแนวโน้มที่จะมีการส่งออกเพิ่มมากขึ้น (สำนักงานเศรษฐกิจการเกษตร, 2553) การส่งออกลำไยสด มีกระบวนการหลังการเก็บเกี่ยวที่สำคัญ คือ การร่มผลลำไยสดด้วยชั้ลเพอร์ไดออกไซด์ (SO_2) ซึ่ง SO_2 มีส่วนช่วยในการยึดอาชญากรรมเก็บรักษา โดย Han *et al.* (2001) พบว่า SO_2 ช่วยลดการเปลี่ยนสีของเปลือกได้ และสามารถยึดอาชญากรรมเก็บรักษาผลลำไยสดได้นานขึ้นเมื่อเทียบกับผลลำไยที่ไม่ผ่านการร่ม SO_2 การร่ม SO_2 นี้ เป็นกระบวนการที่ปฏิบัติโดยผู้ประกอบการ หรือผู้รวบรวมผลผลิตจากเกษตรกรเพื่อทำการกระจายผลผลิตในลำดับต่อไป ใน การร่มจะใช้ปริมาณความเข้มข้นของ SO_2 และระยะเวลาที่ใช้ร่มแตกต่างกันออกไปขึ้นอยู่กับผู้ประกอบการ เมื่อไกสีน้ำสุกการร่มจะมีการตรวจวัดปริมาณ SO_2 ในอากาศภายในห้องร่ม SO_2 กับผลลำไยสดให้ได้ตามความต้องการ คือ ในช่วงความเข้มข้นตั้งแต่ 2,000 ถึง 20,000 ppm

การตรวจวัด SO_2 นิยมใช้สองวิธี คือ การใช้สารละลายไฮโดรเจนเปอร์ออกไซด์ เข้มข้น 3% เป็นตัวดักจับ SO_2 และการใช้หลอดตรวจก๊าซ หรือหลอดชี้บุ้งอก (Gas Detector Tube) (นานั, 2545) ซึ่งวิธีการแรก มีความถูกต้องสูง แต่มีข้อตอนบุ่งมาก ส่วนวิธีที่สอง สะควรรวดเร็ว แต่ค่าที่ได้เป็นการประมาณ เครื่องมือมีอาชญากรรมใช้งานสั้น ทำให้เป็นการสิ้นเปลือง นอกจากนี้ เครื่องมือที่ใช้ตรวจวัด SO_2 ในช่วงความเข้มข้นสูงถึง 20,000 ppm ในรูปแบบอื่น มีราคาสูง และมีระดับการวัดสูงสุดไม่เกิน 5,000 ppm เช่น อุปกรณ์ตรวจวัด SO_2 Bacharach PCA 2 Gas Combustion Analyzer มีราคาไม่ต่ำกว่า 100,000 บาท (Professional equipment, 2009)

จากการวิจัยที่ผ่านมาได้มีการพัฒนาอุปกรณ์ตรวจวัดปริมาณ SO_2 โดยใช้อุปกรณ์ตรวจวัดที่ให้ค่าตอบสนองในรูปแบบของแรงตันไฟฟ้าและกระแสไฟฟ้าปรับเทียบกับความเข้มข้นของ SO_2 ดังงานวิจัยของ Syu and Liu (1998) ใช้ระบบตรวจจับสัญญาณไฟฟ้าของอุปกรณ์ตรวจวัด

พบว่ามีการตอบสนองเพิ่มขึ้นเมื่อความเข้มข้นของ SO_2 เพิ่มมากขึ้น โดยมีลักษณะการตอบสนองเป็นแบบเด็นครง และ Marzouk (2009) ยังได้พัฒนาระบบวิเคราะห์ SO_2 แบบด่อเนื่อง โดยมีการสุ่มตัวอย่าง SO_2 เข้ามาในระบบจนไปถึงอุปกรณ์ตรวจวัด ซึ่งมีการตอบสนองเป็นแรงดันไฟฟ้า มีในโครงตนโทรลเลอร์ตรวจจับแรงดันไฟฟ้าที่ได้เปลี่ยนสัญญาณแรงดันไฟฟ้าให้เป็นสัญญาณแบบดิจิตอลและส่งเข้าเครื่องคอมพิวเตอร์ แล้วปรับเทียบสัญญาณที่ได้กับความเข้มข้นของ SO_2 ซึ่งระบบนี้สามารถวิเคราะห์ปริมาณ SO_2 ได้อย่างด่อเนื่อง และมีการแสดงผลแบบเวลาจริงผ่านคอมพิวเตอร์ ทั้งสองงานวิจัยที่ได้กล่าวมา สามารถตรวจวัดความเข้มข้น SO_2 ได้ในช่วงไม่เกิน 0 ถึง 1,000 ppm เท่านั้น

การตรวจวัด SO_2 ดังที่ได้กล่าวมา พบว่ามีความยุ่งยาก และสิ้นเปลือง อีกทั้งอุปกรณ์ที่มีการพัฒนามาแล้วนั้นมีช่วงการวัดที่ไม่เหมาะสมในกระบวนการรnm SO_2 กับผลลำไยสด งานวิจัยนี้จึงมีวัตถุประสงค์เพื่อพัฒนาอุปกรณ์ตรวจวัด SO_2 มีประสิทธิภาพสูงสุดแบบพกพา โดยการประยุกต์ใช้เทคโนโลยีสมองกลฝังตัว (Embedded system) ใช้อุปกรณ์ตรวจวัดที่ให้ค่าตอบสนองในรูปแบบของแรงดันไฟฟ้าปรับเทียบกับความเข้มข้นของ SO_2 ประมาณผลโดยใช้ในโครงตนโทรลเลอร์ และแสดงผลค่าความเข้มข้นเป็นตัวเลขในหน่วย ppm เพื่อใช้ทดแทนการวิเคราะห์ด้วยสารละลายไฮโตรเจนເປົອຮອກใช้ต์ 3% และการใช้หลอดตรวจวัด ในกระบวนการรnm SO_2 กับผลลำไยสดในช่วง 2,000 ถึง 20,000 ppm ที่มีราคาถูก ลดคืนทุน ลดขั้นตอน และสะดวกสำหรับการตรวจวัด SO_2 ในกระบวนการรnm SO_2 กับผลลำไยสด เป็นการเพิ่มประสิทธิภาพในการรnm และเพิ่มโอกาสทางธุรกิจให้แก่ผู้ประกอบการมากขึ้น

วัตถุประสงค์ของการวิจัย

วัตถุประสงค์หลักของงานวิจัยนี้ คือ การพัฒนาอุปกรณ์ตรวจวัด SO_2 ที่ระดับความเข้มข้นสูง เพื่อตรวจวัดปริมาณความเข้มข้นของ SO_2 ในอากาศที่ความเข้มข้นสูงในช่วง 2,000 ถึง 20,000 ppm ให้เหมาะสมกับกระบวนการรnm SO_2 กับผลลำไยสด โดยการประยุกต์ใช้เทคโนโลยีสมองกลฝังตัว โดยมีวัตถุประสงค์ย่อยดังนี้

1. เพื่อให้เกิดความรวดเร็วในการตรวจวัด SO_2
2. เพื่อตรวจวัด SO_2 ในช่วงความเข้มข้นสูง
3. เพื่อทดสอบการใช้หลอดตรวจก้าช หรือหลอดชี้บ้อง

ประโยชน์ที่คาดว่าจะได้รับ

1. ได้ต้นแบบระบบตรวจวัด SO_2 ในระดับความเข้มข้นสูงที่ผลิตในประเทศไทยลดการนำเข้าจากต่างประเทศ
2. ได้พัฒนาองค์ความรู้ด้าน อุปกรณ์อิเล็กทรอนิกส์ทางการเกษตร ด้วยระบบสมองกลฝังตัวของประเทศไทย
3. ผู้ประกอบการสามารถใช้อุปกรณ์ตรวจวัด SO_2 ในอากาศ ระหว่างการรวม SO_2 กับผลลำไยสด ช่วยลดการตกค้างของ SO_2 ที่เกินขนาดมาตรฐาน

ขอบเขตของการวิจัย

ศึกษาและพัฒนาอุปกรณ์ตรวจวัด SO_2 โดยใช้ค่าแรงดันไฟฟ้าตอบสนองจากเซนเซอร์ SO_2 ปรับเทียบกับค่าความเข้มข้นของ SO_2 ในอากาศ เพื่อใช้ทดสอบการวิเคราะห์คุณภาพละลายน้ำโดยเจาะป่าออกไซด์ 3% และการใช้หลอดตรวจวัด ในกระบวนการรวม SO_2 กับผลลำไยสดพันธุ์คงขนาด 1 และ 2 โดยใช้ SO_2 ที่ปล่อยจากถังอัดความดัน ในช่วงความเข้มข้น 2,000 ถึง 20,000 ppm กับห้องรวม SO_2 ด้วยระบบหมุนเวียนอากาศแบบบังคับ ขนาด กว้าง 3 เมตร ยาว 3 เมตร สูง 2.5 เมตร

บทที่ 2

การตรวจเอกสาร

ผลลัพธ์

ความรู้ทั่วไปเกี่ยวกับล้ำไส้

ล้ำไส้เป็นไม้ผลที่เพาะปลูกกันมากในประเทศไทย โดยมีพันธุ์ที่เพาะปลูกอยู่มากกว่า 20 พันธุ์ แต่ที่นิยมเพาะปลูกกันมากที่สุด ได้แก่ พันธุ์คอหรืออีดอ พันธุ์ชุมพูหรือสีชมพู พันธุ์เหลืองหรืออีเหลือง พันธุ์เบี้ยงหรืออีเบี้ยงเขียว และพันธุ์แดงหรืออีแดงกลม เป็นต้น (พาวิน และวนิษ, 2543) พบมากในจังหวัดเชียงใหม่ เชียงราย ลำพูน และลำปาง เก็บเกี่ยวผลิตผลในช่วงเดือนกรกฎาคมถึงเดือนกันยายน โดยพันธุ์ที่นิยมปลูกเป็นการค้าและมีความสำคัญทางเศรษฐกิจ คือ พันธุ์คอหรืออีดอ ซึ่งออกดอกและติดผลได้เร็วกว่าพันธุ์อื่น ให้ผลผลิตอย่างสม่ำเสมอ ลักษณะผลค่อนข้างกลม กว้าง 2.8 เซนติเมตร หนา 2.5 เซนติเมตร ยาว 2.5 เซนติเมตร สีน้ำตาลอ่อน บ่าผลยกข้างเดียว รสหวาน จำนวนผลผลิตโดยเฉลี่ย 85-94 ผลต่อ กิโลกรัม นิยมบริโภคทั้งแบบผลสดและแปรรูป (สุภาพัฒน์, ม.ป.ป.)

ล้ำไส้พันธุ์คอ แบ่งได้เป็น 2 ชนิดตามสีของยอดอ่อน ได้แก่ คอขาวดแดง ในอ่อนจะมีสีออกแดง เจริญเติบโตเร็วกว่าคอของเดียว แต่ไม่ค่อยนิยมปลูกเนื่องจากออกดอกติดผลได้ยาก และมีการหลุดร่วงมากหากเก็บเกี่ยวไม่ทัน ส่วนอีกชนิด คือ คอขาวดเงิน มีลักษณะโดยทั่วไปคล้ายคอของเดียว มีใบอ่อนเป็นสีเขียว คอของเดียวข้างแบ่งออกตามลักษณะก้านช่อผลได้อีก 2 ชนิด คือ คอก้านอ่อน และคอก้านแข็ง ซึ่งคอก้านแข็งเป็นพันธุ์ที่นิยมปลูกมากที่สุด เนื่องจากมีเปลือกหนานิ่อหนาสีขาวซุ่มนิร辉煌 แม้ศักดิ์ขนาดปานกลาง ขนาดผลใหญ่ เมียวยกน้ำข้างเดียว ผิวสีน้ำตาล (พิกายและพาวิน, 2545)

การจัดชั้นคุณภาพมาตรฐานล้ำไส้สด

ประเทศไทยเป็นผู้ผลิตและส่งออกที่สำคัญของโลก ดังนั้นเพื่อให้ล้ำไส้ของไทยเป็นที่ยอมรับในระดับชาติและระดับสากล เป็นการส่งเสริมการส่งออก และเพื่อความปลอดภัยของผู้บริโภค จึงมีการจัดทำมาตรฐานล้ำไส้ (สำนักงานมาตรฐานสินค้าและเกษตรแห่งชาติ, 2546) โดยได้กำหนดลักษณะคุณภาพขั้นต่ำของผลลัพธ์ ให้มีลักษณะเป็นผลสมบูรณ์แข็งตัวเต็มที่ ไม่น่าเสียไม่ใช้ ไม่มีคำหนี้ที่เห็นเด่นชัด ปลดจากศัตรูพืช ผิวเปลือกเคลือบ สีเปลือกและเนื้ออาจแตกต่าง

กันไปตามพันธุ์และแหล่งปลูก สีเปลือกอาจจะเปลี่ยนแปลง ได้เล็กน้อย ในกรณีที่มีการรرمด้วย SO₂ และนอกจากคุณภาพขั้นค่าที่ได้ก่อ威名มา ขัง ได้มีการจัดแบ่งชั้นมาตรฐานของคุณภาพของลำไยเป็น 3 ชั้นคุณภาพ ดังนี้

1. ชั้นพิเศษ ("Extra" class) ผลลำไยในชั้นนี้มีคุณภาพที่ดีที่สุด ตรงตามพันธุ์ สีของเปลือก ไม่มีสำาหรับ ไม่มีตำหนิ ยกเว้นตำหนินิวัฒน์เล็กน้อย โดยไม่มีผลต่อรูปลักษณ์ทั่วไปของ ลำไย และคุณภาพ

2. ชั้นหนึ่ง (Class I) ผลลำไยในชั้นนี้มีคุณภาพที่ดี ตรงตามพันธุ์ สีของเปลือก สน้ำเงิน ไม่มีตำหนิได้เล็กน้อย พื้นที่ผิวตำหนิรวมต่อผลไม่เกิน 0.5 ตารางเซนติเมตร โดยไม่มีผลต่อรูปลักษณ์ทั่วไปของลำไย และคุณภาพ

3. ชั้นสอง (Class II) ผลลำไยในชั้นนี้มีคุณภาพไม่เข้าขั้น ชั้นพิเศษ และ ชั้นหนึ่ง แต่ยังคงเป็นผลสมบูรณ์ มีลักษณะคุณภาพที่ดี ไม่เน่าเสีย ไม่ชำ พื้นที่ผิวตำหนิรวมต่อผลไม่เกิน 0.5 ตารางเซนติเมตร โดยไม่มีผลต่อรูปลักษณ์ทั่วไปของลำไย และคุณภาพ

ข้อกำหนดเรื่องขนาดของลำไยช่อและลำไยผลเดี่ยว

ขนาดของผลลำไยถือว่าเป็นมาตรฐานที่มีความสำคัญในการกำหนดราคากิโลกรัม ของอุตสาหกรรมการรرم SO₂ เพื่อการส่งออก ซึ่งพิจารณาจากจำนวนผลต่อ กิโลกรัม หรือเส้นผ่าศูนย์กลางของผลลำไย ซึ่งทำการกำหนดขนาดไว้ 6 ขนาด (สำนักงานมาตรฐานสินค้าเกษตรและอาหารแห่งชาติ, 2546) แสดงดังตาราง 1

ตาราง 1 ข้อกำหนดเรื่องขนาดของลำไยช่อและลำไยผลเดี่ยว

รหัสขนาด	จำนวนผลต่อ กิโลกรัม		เส้นผ่าศูนย์กลางผล (มิลลิเมตร)
	ลำไยช่อ	ลำไยผลเดี่ยว (ตัดเหลือข้อ)	
1	< 85	< 95	> 28
2	85-94	91-100	> 27-28
3	95-104	101-111	> 26-27
4	105-114	112-122	> 25-26
5	≥ 115	≥ 123	> 24-25
6	-	-	22-24

ที่มา: สำนักงานมาตรฐานสินค้าเกษตรและอาหารแห่งชาติ (2546)

ความรู้พื้นฐานเกี่ยวกับ SO_2

คุณสมบัติโดยทั่วไปของ SO_2

SO_2 เป็นวัตถุเชื้อปนอาหารหรือสารເื่ေ້ມປະກາດหนึ่ง มีสูตรทางเคมี คือ SO_2 มีสถานะเป็นแก๊ส ไม่คิดไฟ ไม่มีสี กลิ่นฉุน SO_2 จัดอยู่ในสารกลุ่มซัลไฟฟ์ มีคุณสมบัติเป็นสารริดิวช์ที่จะไปลดค่าแรงดึงของออกซิเจน ในเนื้อเยื่ออาหารลงในระดับที่ต่ำสุด ที่จุลินทรีย์ต้องการออกซิเจนในการเจริญเติบโต หรือ เมื่อ SO_2 ทำปฏิกิริยากับน้ำ เกิดเป็นกรดซัลฟูริกและแตกตัวเป็นไอออนต่างๆ กระดาษซึ่งผ่านผนังเซลล์ของจุลินทรีย์ เข้าไปรบกวนการทำงานของเซลล์ต่างๆ (สวัสดิ์, 2548) SO_2 ที่นิยมนิยมใช้ได้มาจากการเผาผงกำมะถัน (Sulfur, S) นอกจากนี้ SO_2 ยังได้มาจากการประกอบซัลไฟฟ์หลาภูนิด เมื่อแตกตัวสามารถปลดปล่อย SO_2 ออกมาในปริมาณมากต่ำกัน แสดงได้ดังตาราง 2

ตาราง 2 ปริมาณ SO_2 ที่ได้จากการประกอบซัลไฟฟ์ชนิดต่างๆ

ชื่อสารประกอบ	ปริมาณ SO_2 (เมอร์เรนต์)
โพแทสเซียมซัลไฟฟ์	33.0
โซเดียมซัลไฟฟ์	50.8
โพแทสเซียมไบซัลไฟฟ์	53.3
โซเดียมไบซัลไฟฟ์	61.6
โพแทสเซียมเมตาไบซัลไฟฟ์	67.4
โซเดียมเมตาไบซัลไฟฟ์	57.4

ที่มา: รัตน (2535)

ระดับความเข้มข้นของ SO_2 ที่ก่อให้เกิดอันตราย

SO_2 มีฤทธิ์เป็นกรด สามารถกัดกร่อนและเป็นพิษต่อระบบทางเดินหายใจของมนุษย์ได้ โดยปริมาณความเข้มข้นของ SO_2 เพียง 4 ppm สามารถทำให้เกิดกลิ่นได้ถ้ามี SO_2 20 ppm จะทำให้ค้าเกิดอาการระคายเคืองหรือถ้าภายในบรรยายกาศมี SO_2 เข้มข้น 20 ppm และได้รับเกินกว่า 1 นาที ทำให้ค้าเขื่อนบุญมูก และคอหอบ เป็นอันตรายได้ และถ้าภายในบรรยายกาศมี SO_2 เข้มข้น 500 ppm จะเป็นอันตรายต่อร่างกายมนุษย์ได้ถ้าสูดดมนานกว่า 30 – 60 นาที และถ้ามีความ

เข้มข้นของ SO_2 มากกว่า 1,000 – 2,000 ppm หรือร้อยละ 0.1- 0.2 ในบรรยากาศ จะทำให้เสียชีวิตได้ (ณัฐพงศ์ และคณะ, 2545)

การรرم SO_2 กับผลลำไยสด

ลำไยเป็นผลไม้ที่มีอาชญาการเก็บรักษาสั้น และขั้นของการเสื่อมคุณภาพ หรือการเน่าเสียได้ง่าย เนื่องจากส่วนมากจะมีการเก็บเกี่ยวในช่วงเดือนกรกฎาคมถึงเดือนกันยายน ซึ่งช่วงเวลาดังกล่าวเป็นฤดูฝน มีสภาพแวดล้อมที่เหมาะสมต่อการเจริญเติบโตของเชื้อจุลินทรีย์ต่าง ๆ ทำให้ผลลำไยสดที่ทำการขนส่งไปยังต่างประเทศ หรือตลาดปลายทางเกิดความเสียหายอย่างมาก ดังนั้นการรرم SO_2 กับผลลำไยสด จึงเข้ามามีบทบาทในการช่วยยืดอายุการเก็บรักษาผลลำไยสดเพื่อการส่งออก SO_2 มีส่วนช่วยในการควบคุมการเจริญเติบโตของเชื้อจุลินทรีย์ ขั้นตอนการทำงานของเอนไซม์ที่เกี่ยวข้องกับการเปลี่ยนเป็นสีน้ำดาลของอาหารและยังมีคุณสมบัติในการฟอกสี ทำให้เปลือกของลำไยดูสดสวย (สถาบันอาหาร, 2541)

การนำ SO_2 มาใช้ในการรرمกับผลลำไยสดเพื่อช่วยยืดอายุการเก็บรักษาผลลำไยสด สำหรับการส่งออก ต้องคำนึงถึงปริมาณ SO_2 ที่ตกค้างในผลลำไยสด โดยจะต้องไม่เกินที่มาตรฐานกำหนด ซึ่งคณะกรรมการอาหารระหว่างประเทศหรือ Codex กำหนดให้มี ปริมาณ SO_2 ตกค้างในเนื้อได้ไม่เกิน 10 ppm (สถาบันอาหาร, 2541) ซึ่ง ธีรนุช และคณะ (2548) ได้ศึกษา สถานการณ์ของปริมาณ SO_2 ตกค้างในผลลำไยของจังหวัดเชียงใหม่และลำพูน พบร่วมกับการตกค้างของ SO_2 ในผลลำไยสด มากถึง 80 เปอร์เซ็นต์ ของตัวอย่างที่เก็บมาทั้งหมด โดยพบการตกค้างในเปลือกเกินกว่า 1,700 ppm และขั้นของการตกค้างในเนื้อถึง 10 ppm ก่อให้การเกิดปัญหาการกีดกันทางการค้าจากประเทศคู่ค้า ส่งผลให้การส่งออกผลลำไยสดไปยังต่างประเทศยากขึ้นกว่าเดิม ดังนั้น แนวทางหนึ่งที่จะช่วยควบคุมไม่ให้เกิดปัญหาดังกล่าว จึงจำเป็นคือการสร้างมาตรฐานในการปฏิบัติการรرم SO_2 ให้ได้ตามที่มาตรฐานกำหนด

รูปแบบของการใช้ SO_2 กับผลลำไยสด

การใช้ SO_2 ผลลำไยสดในเชิงพาณิชย์นั้นมีอยู่หลายรูปแบบ ซึ่งแต่ละรูปแบบต่างมีลักษณะการใช้งานแตกต่างกัน การจะเลือกใช้รูปแบบใดนั้นขึ้นอยู่กับวัสดุประสงค์ในการใช้งาน หรือระยะเวลาในการเก็บรักษาผลิตภัณฑ์ ซึ่งรูปแบบของ SO_2 ที่ใช้โดยทั่วไปแล้วมีอยู่ 3 ลักษณะ คือ การเผาผงกำมะถัน (Sulfur, S) การใช้ SO_2 โดยตรงจากถังอัดความดัน และการใช้สารประกอบเกลือซัลไฟฟ์ซึ่งแตกตัวให้ SO_2

การเผากำมะถัน

จักรพงษ์ (2542) รายงานว่า การใช้ SO_2 รูปแบบนี้เป็นวิธีที่ง่ายและมีราคาถูกที่สุด ซึ่งสามารถทำได้โดยการเผาผงกำมะถัน จากการคำนวณโดยใช้ปฏิกิริยาทางเคมีนั้นพบว่า เมื่อทำการเผาผงกำมะถัน 1 กรัม จะได้ SO_2 2 กรัม ซึ่งเทียบเท่ากับ 764 ลูกบาศก์เซนติเมตร ที่อุณหภูมิ 25 องศาเซลเซียส ดังสมการ 1



อัตราการเผาไห้มของกำมะถันขึ้นอยู่กับความร้อนที่ใช้ในการเผา ความบริสุทธิ์ ของผงกำมะถันที่ใช้เผา และการหมุนเวียนของอากาศ โดยผงกำมะถันจะหลอมละลายและดิดไฟ เมื่อมีปริมาณที่มากกว่า 1 กิโลกรัม ภายในระยะเวลาที่จำกัดมักจะเผาไหมไม่หมด ดังนั้นการเผาผง กำมะถันเพื่อใช้เป็นแหล่ง SO_2 ส่วนใหญ่แล้วจึงเป็นการใช้ในปริมาณน้อย ซึ่งทำให้การเผาไหมได้ ง่ายและมีการเติมผงโซเดียมไนเตรต (Sodium nitrate, NaNO_3) ลงไปประมาณร้อยละ 1 – 2 เพื่อเร่ง ปฏิกิริยาการเผาไหม นอกจากนี้ภาระที่ใช้ในการเผาไหมยังเป็นปัจจัยสำคัญอีกประการหนึ่งที่จะ ช่วยในการเผาไหมของผงกำมะถัน ดังนั้นจึงควรเลือกใช้ภาระที่แบบร่วนเพื่อช่วยเพิ่มพื้นผิวใน การเผาไหม การสังเกตว่าผงกำมะถันมีการเผาไหมหรือไม่โดยให้สังเกตจากการมีเปลวไฟสีน้ำเงิน เกิดขึ้นในภาระที่ใช้เผา นอกจากข้อจำกัดในเรื่องการเผาไหมแล้วการเผาผงกำมะถันยังทำให้มีผง ตีเหลืองเกิดขึ้นในห้องและมีความร้อนเกิดขึ้นด้วย (2.2 กิโลแคลอรี่ต่อกิโลกรัม) สำหรับวัสดุ อุปกรณ์ที่ สำคัญและจำเป็นต้องใช้ในการเผาผงกำมะถัน ได้แก่

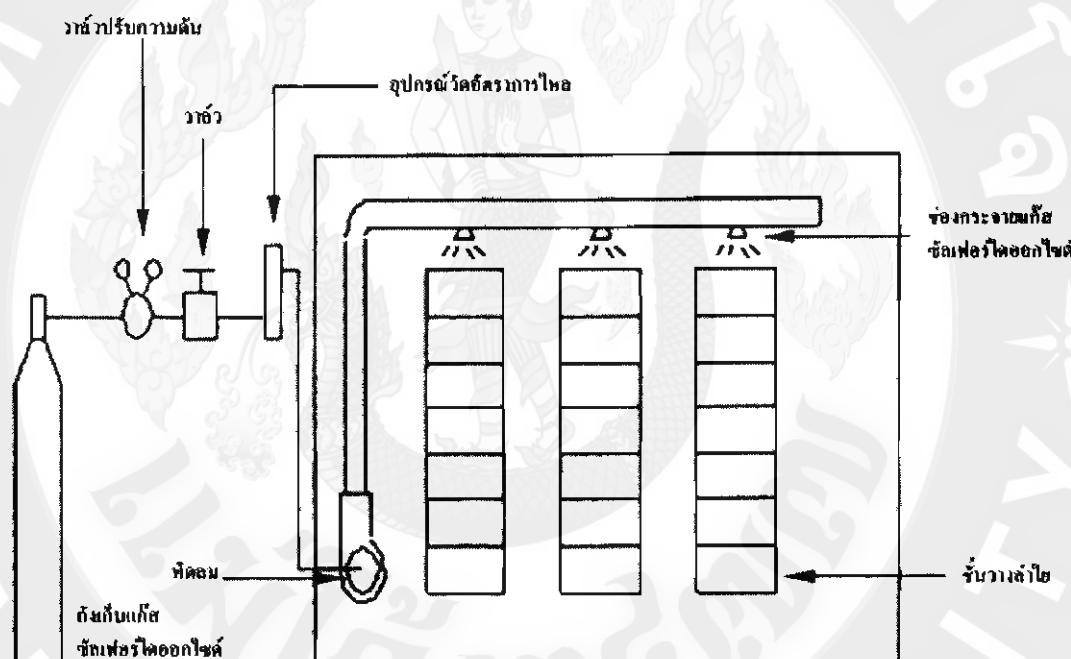
1. เตาเผาผงกำมะถัน ซึ่งอาจเป็นเตาความร้อนไฟฟ้า (Heater) ขนาด 600 – 800 วัตต์ ที่สามารถเผาผงกำมะถันได้ไม่เกิน 1.5 กิโลกรัมต่อหนึ่งเตา หรืออาจเป็นเตาที่ใช้แก๊สหุงต้ม เป็นตัวให้ความร้อน
2. พัดลมกวนอากาศ ซึ่งควรมีความเร็วกระแสนวนประมาณ 0.5 – 1.0 เมตรต่อ วินาที
3. NaNO_3 ร้อยละ 2 (ประมาณ 20 กรัม ต่อ กำมะถัน 1 กิโลกรัม)

การใช้ SO_2 จากถังอัดความดัน

SO_2 ที่บรรจุในถังอัดความดันส่วนใหญ่แล้วจะมีความดันประมาณ 237.2 กิโล ปอนด์ต่อตารางนิ้ว ที่อุณหภูมิ 21 องศาเซลเซียส โดยส่วนล่างของถังบรรจุ SO_2 ในรูปของเหลวจะมี ส่วนบนของถังเป็น SO_2 ในรูปไอ เมื่อใช้งานให้เปิดลิ้น (Valve) ที่หัวถัง SO_2 ที่อยู่ในรูปของไอจะ

ถูกนำไปใช้งาน และขณะเดียวกันความดันภายในถังจะเปลี่ยนแปลง ทำให้ SO_2 บริเวณก้นถัง เปลี่ยนจากของเหลวเป็นไออกเพื่อทดแทนส่วนที่ถูกนำไปใช้ต่อไป

การใช้ SO_2 ในรูปแบบนี้สามารถทำได้สะดวกรวดเร็วและค่อนข้างแม่นยำ เนื่องจากเป็นการใช้ SO_2 บริสุทธิ์ที่ออกจากถังโดยตรงและมีตัวควบคุมการไหลคือ อุปกรณ์ควบคุมการไหล (Flow meter) ชนิดลูกกลอย (ภาพ 1) และการใช้ SO_2 ในรูปแบบนี้อาจมีข้อจำกัดในห้องขนาดใหญ่ซึ่งต้องใช้ถังอัดความดันหลายถังต่อเข้าด้วยกัน เนื่องจากอัตราการแลกเปลี่ยนสถานะของ SO_2 ในรูปแบบของเหลวไปสู่สถานะที่เป็นไออกองเดลถังอยู่ในระดับที่จำกัด



ภาพ 1 การใช้ SO_2 จากถังอัดความดัน

ที่มา: ณัฐพงศ์ และคณะ (2545)

การใช้ SO_2 จากสารประกอบชัลไฟฟ์ชินิกอิน

สารประกอบชัลไฟฟ์ (Sulfite agents) หมายถึงสารประกอบที่มีคุณสมบัติในการให้กำเนิดโมเลกุลของ SO_2 ประกอบไปด้วย เกลือโซเดียม (Na) เกลือโพแทสเซียม (K) และเกลือแคลเซียม (Ca) ของกรด 3 ชนิด คือ กรดชัลเฟอร์ัส (Sulferous acid, H_2SO_3) กรดไฮドรอชัลเฟอร์ัส (Hydrosulferous acid, $\text{H}_2\text{S}_2\text{O}_4$) และกรดไฮโตรชัลเฟอร์ัส (Tyrosulferous acid, $\text{H}_2\text{S}_2\text{O}_5$) สารประกอบชัลไฟฟ์ดังกล่าวมักจะอยู่ในรูปของเกล็ดละเอียดมีลักษณะ มีกลิ่นกำมะถันอ่อนๆ เมื่อละลายน้ำหรือได้รับความร้อนจะแตกตัวให้โมเลกุลของ SO_2 ประมาณร้อยละ 70 (สคศรี, 2535)

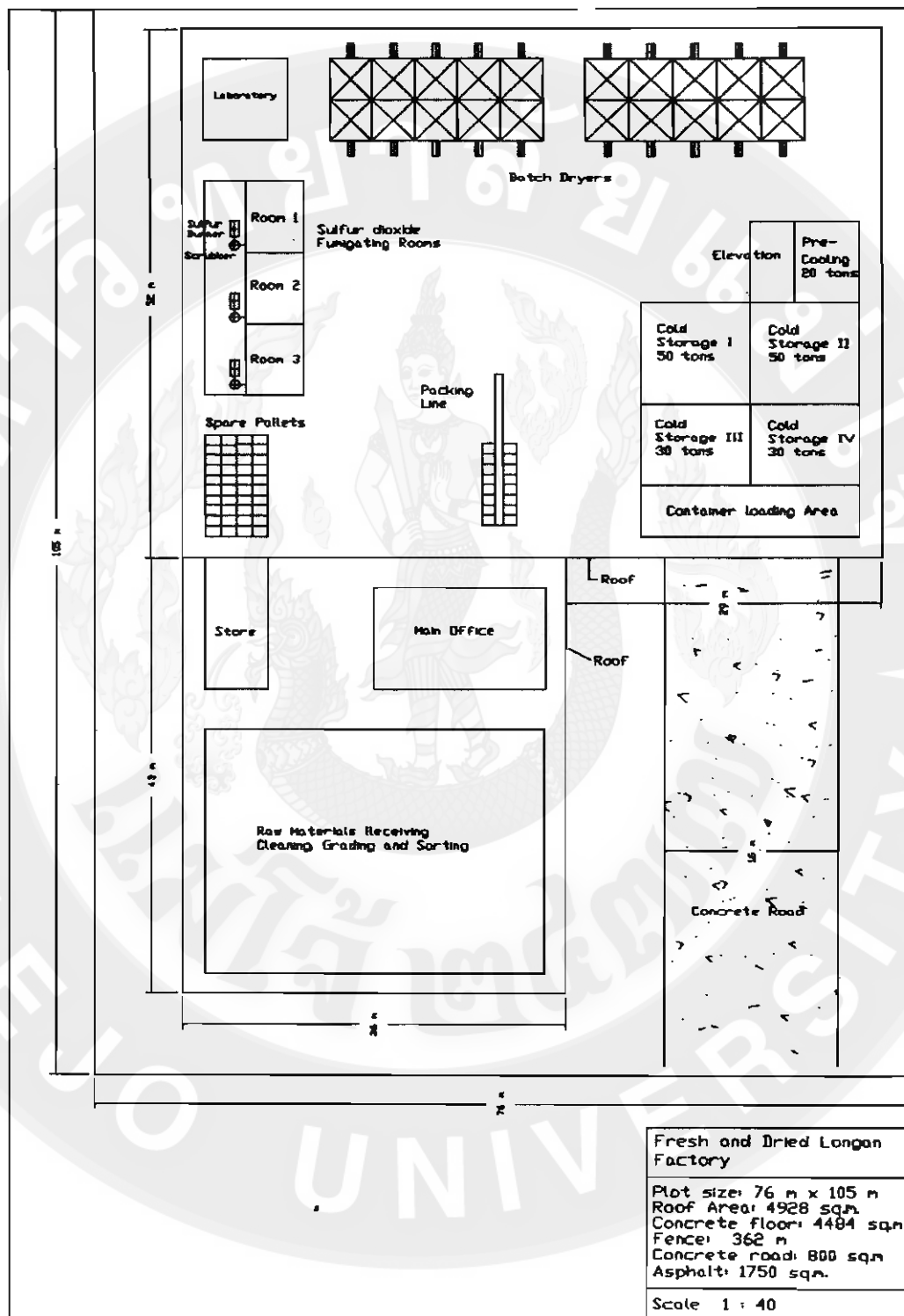
จากการศึกษารูปแบบของการใช้ SO₂ กับผลิตไบสค พนว่า รูปแบบที่เหมาะสมที่สุดในการวิจัยนี้คือการการใช้ SO₂ จากถังอัดความดัน เนื่องจากการใช้ SO₂ ในรูปแบบนี้สามารถทำได้สะดวกรวดเร็วและค่อนข้างแม่นยำ เนื่องจากเป็นการใช้ SO₂ บริสุทธิ์ที่ออกจากถังโดยตรง

ห้องรวม SO₂

ห้องรวม SO₂ ผลิตไบสคความมีลักษณะเหมาะสมตามข้อกำหนดของวิธีการปฏิบัติที่ดีในการผลิต (Good Manufacturing Practice: GMP) นอกจากราชบัตรที่ห้องต้องพิจารณาถึงความคุ้มค่าทางเศรษฐกิจด้วย ควรมีการจัดสรรพื้นที่ในการใช้สอยที่เหมาะสมในการปฏิบัติงาน (ภาค 2) จะเห็นได้ว่า ส่วนประกอบที่สำคัญ ได้แก่ ส่วนรับซื้อผลิตผล ส่วนการคัดคุณภาพ ส่วนของการรวม SO₂ ส่วนปฏิบัติการหลังจากรวม SO₂ ส่วนของห้องเย็น และส่วนของลานสำหรับจอดรถบรรทุกที่จะทำการขนส่งลำไยไปยังตลาดปลายทาง นอกจากนั้นยังมีส่วนประกอบอื่น ๆ เช่น สำนักงาน ห้องเก็บของ เป็นต้น โดยมีข้อพิจารณาในการสร้างห้องรวม SO₂ มีดังนี้

1. สถานที่ก่อสร้าง ควรมีพื้นที่เพียงพอสำหรับการปฏิบัติงานค่าว่า ๆ
2. วัสดุก่อสร้างควรมีความแข็งแรงทนทาน ทนต่อการกัดกร่อนของ SO₂
3. พื้นห้องต้องสามารถรองรับน้ำหนักของลำไยที่ต้องการรวม SO₂
4. การออกแบบห้องต้องง่ายในการทำความสะอาด
5. มีจำนวนป้องกันการรั่วไหลของ SO₂ ขณะทำการรวม
6. มีหลอดไฟให้แสงสว่าง และช่องกระจกสำหรับมองภายในห้องขณะปฏิบัติงาน
7. มีระบบรักษาความปลอดภัย เช่น ระบบป้องกันไฟฟ้าลัดวงจร ระบบดับเพลิง

เป็นต้น



ภาพ 2 ตัวอย่างแผนผังสถานประกอบการรับ SO₂ ผลิตไยสค์ที่ได้มาตรฐาน
 ที่มา: สถาบันอาหาร (2541)

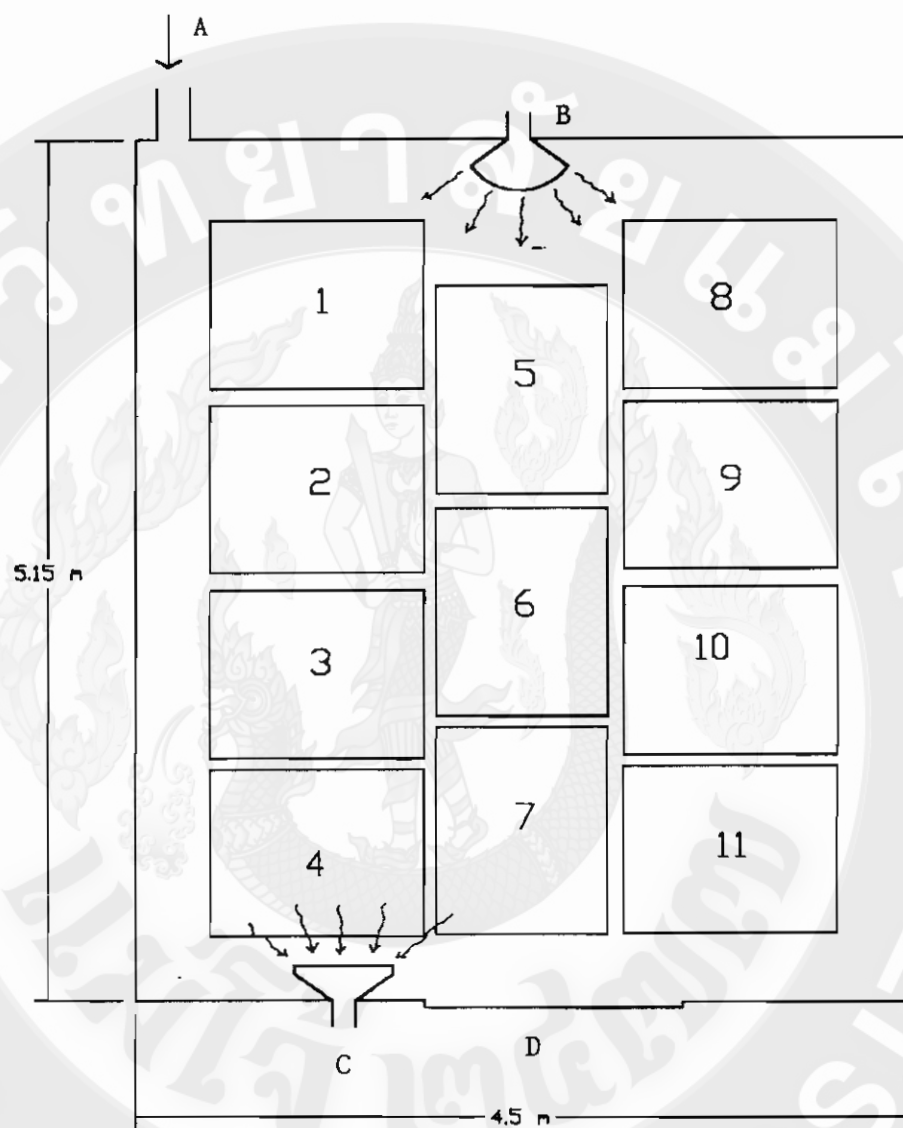
การปล่อย SO₂

การปล่อย SO₂ ภายในห้องรน ต้องคำนึงถึงการกระจายตัวของแก๊สที่ดี คือ แก๊สสามารถกระจายตัวได้อย่างทั่วถึงภายในห้องรน ซึ่งมีปัจจัยที่เกี่ยวข้องได้แก่ ตำแหน่งของหัวปล่อยแก๊ส จำนวนของหัวปล่อยแก๊ส ตำแหน่งของหัวคุณแก๊ส จำนวนหัวคุณแก๊ส ความเร็วที่พ่นและคุณแก๊สภายในห้อง และการจัดเรียงตะกร้าลำไยภายในห้องรน แก๊สที่ปล่อยเข้าไปภายในห้องจะมีความเข้มข้นสูงที่บริเวณหัวกระจายแก๊ส ดังนั้นตะกร้าลำไยที่อยู่ใกล้หัวกระจายแก๊สจึงมีโอกาสที่จะได้รับปริมาณ SO₂ มากกว่าตะกร้าลำไยที่อยู่ไกลออกไป หากไม่มีการหมุนเวียนอากาศที่ดีภายในห้องรนก็อาจก่อให้เกิดการตกค้างของ SO₂ โดยเฉพาะตะกร้าลำไยที่อยู่ใกล้หัวกระจายแก๊ส (ภาพ 3) จึงต้องมีอุปกรณ์ในการกระจายแก๊สภายในห้องรน เพื่อให้สัมพันธ์กับทิศทางการไหลเวียนของอากาศภายในห้องรน ประกอบไปด้วย ท่อคุณแก๊ส หัวกระจายแก๊ส และพัดลม โดยมีตำแหน่งในการติดตั้งท่อคุณแก๊สและหัวกระจายแก๊ส ดังภาพที่ 4

1. ท่อคุณแก๊ส มีหน้าที่ในการคุณ SO₂ ภายในห้องรน SO₂ ที่ปล่อยออกมานาจากหัวกระจายแก๊ส แล้วนำแก๊ส SO₂ หมุนเวียนกลับมาซึ่งหัวกระจายแก๊สเพื่อปล่อยเข้ามาในห้องรน ท่อคุณแก๊สที่ดีจะต้องมีลักษณะเป็นรูปทรงเรขาคณิต ปากทางเข้าจะกว้างแล้วแคบทวนหาท่อคุณ (ภาพ 5) เพื่อเป็นการลดการสูญเสียแรงดูด ขนาดท่อคุณจะต้องสัมพันธ์กับอัตราการหมุนเวียนอากาศที่เหมาะสม วัสดุที่ใช้ทำต้องทนการกัดกร่อน ผิวเรียบ และทำความสะอาดได้ง่าย

2. หัวกระจายแก๊ส ลักษณะหัวกระจายแก๊สที่ดีจะต้องสามารถปล่อยแก๊สออกมายในลักษณะที่ก่อให้เกิดการกระจายตัวของแก๊สได้ค่อนข้างดี เพื่อที่จะทำให้ไม่เกิดการกระจุกตัวของแก๊ส ต้องสามารถควบคุมทิศทาง และอัตราการไหลให้เหมาะสมกับปริมาณตะกร้าลำไยที่ต้องการรับ (ภาพ 6)

3. พัดลม มีหน้าที่หลักในการควบคุมอัตราการไหลของ SO₂ ที่ปล่อยและคุณภายในห้องรน โดยตรง พัดลมที่ผ่านการใช้งานมาได้ระยะหนึ่ง ควรได้รับการบำรุงรักษาพัดลมตลอดจนอุปกรณ์ในระบบทั้งหมดเพื่อให้พัดลมสามารถทำงานได้ตามปกติ



A ท่อทางเข้าก๊าซซัคเพอร์ไดออกไซด์

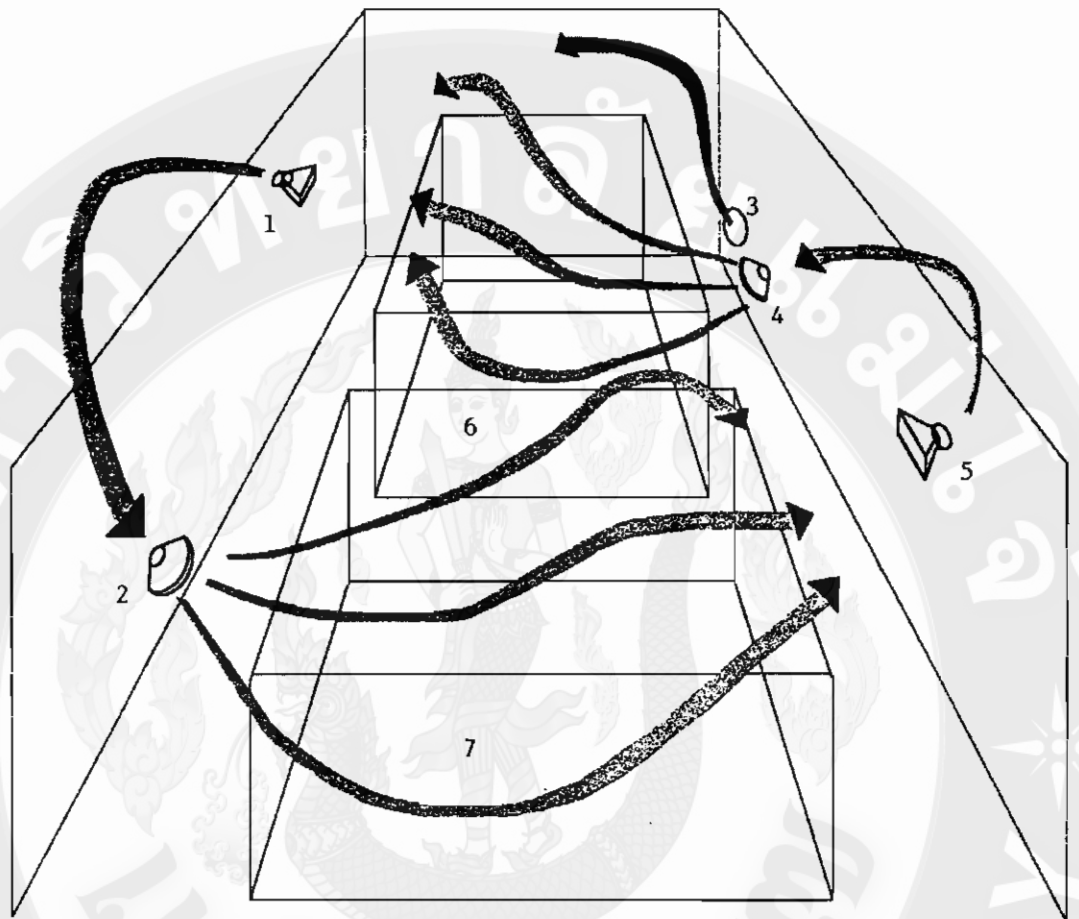
B หัวกรรไจยก๊าซ

C ท่อดูดก๊าซ

D ประตู

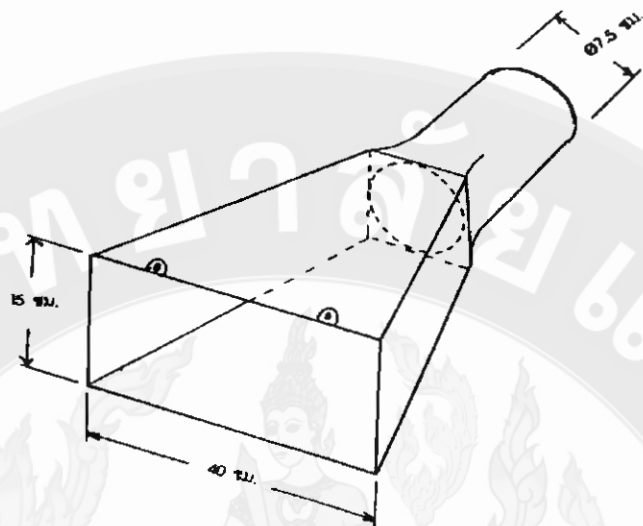
ภาพ 3 การจัดเรียงตะกร้าลำไยในการรرم SO_2 ในห้องขนาดเล็ก

ที่มา: สถาบันอาหาร (2541)

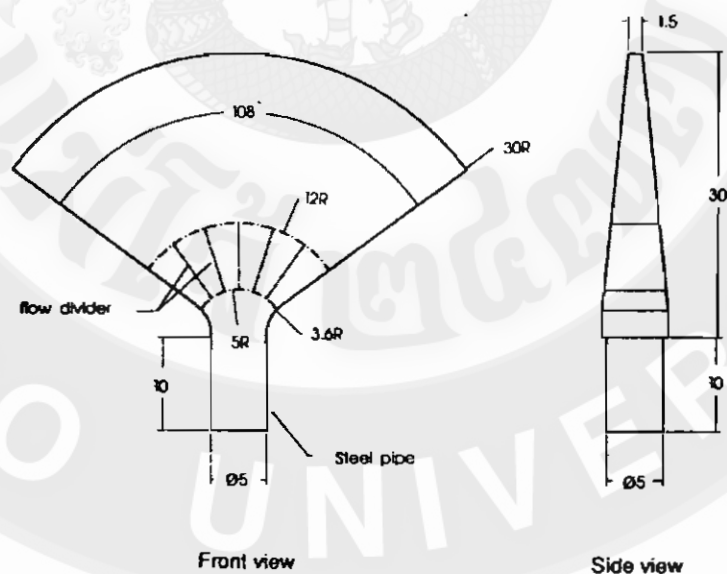


- | | |
|---------------------------------|-------------------------|
| 1 ท่อคูดก๊าซชุดที่ 1 | 5 ท่อคูดก๊าซชุดที่ 2 |
| 2 หัวกรรจายก๊าซตัวที่ 1 | 6 ชั้นวางลำไยกลุ่มที่ 1 |
| 3 ท่อส่งก๊าซจากเตาเผาสำหรับด้าน | 7 ชั้นวางลำไยกลุ่มที่ 2 |
| 4 หัวกรรจายก๊าซชุดที่ 2 | |

ภาพ 4 ดำเนินการติดตั้งส่วนประกอบภายในห้องร่ม และลักษณะการหมุนเวียนอากาศ
ที่มา: สถาบันอาหาร (2541)



ภาพ 5 ตัวอย่างหัวคูด SO₂ รูปสี่เหลี่ยมผืนผ้า
ที่มา: สถาบันอาหาร (2541)



All dimensions in CM

ภาพ 6 หัวกระจายแก๊สรูปพัด
ที่มา: สถาบันอาหาร (2541)

ระบบหมุนเวียน SO₂ แบบบังคับ

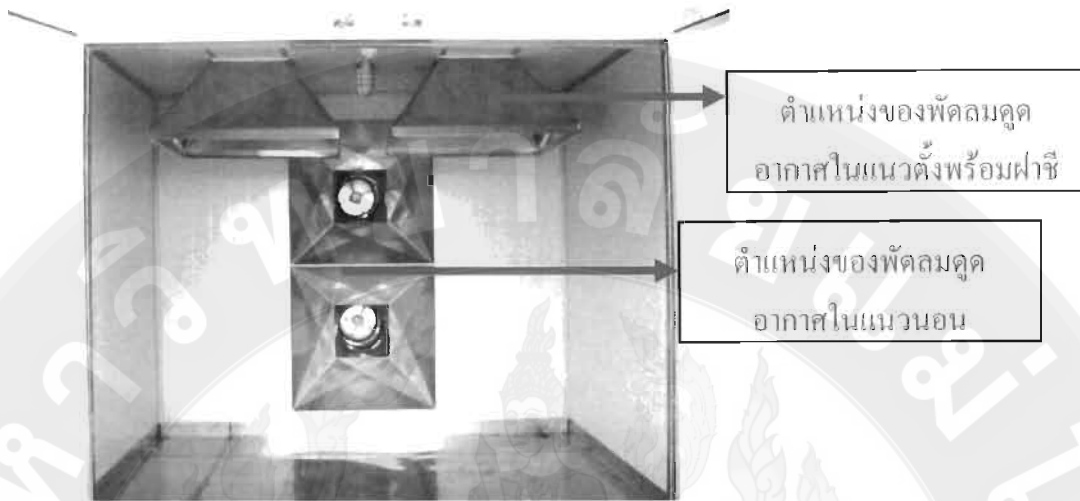
จักรพงษ์ และคณะ (2551) ได้ทำการออกแบบและสร้างห้องรน SO₂ ผลลัพธ์สคด คือระบบหมุนเวียนอากาศแบบบังคับในแนวตั้งและแนวนอน ห้องรน SO₂ ผลลัพธ์สคดที่ออกแบบ และสร้างขึ้นมีขนาด กว้าง 3 เมตร ยาว 3 เมตร สูง 2.5 เมตร โครงสร้างของห้องทำด้วยเหล็กมีล้อ สำหรับเคลื่อนย้ายได้ พื้นห้องเป็นสแตนเลสชนิดเรียบ ผนังห้องเป็นแผ่นโลหะเคลือบสังกะสี และมี จำนวนเป็นพอลิยูรีเทน ประตูเป็นแบบบานคู่ ภายในห้องมีรูระบายนำ้พรมระบบแสงสว่าง และมี ระบบพัดลมดูดอากาศพร้อมตู้ควบคุม เพื่อให้เกิดการหมุนเวียนอากาศแบบบังคับในแนวตั้งและ แนวนอน โดยมีลักษณะการหมุนเวียนอากาศดังนี้

1. การหมุนเวียนอากาศแบบบังคับในแนวตั้ง

อากาศและ SO₂ จากด้านล่างของห้องผ่านตะกร้าบรู๊ฟผลลัพธ์ไปยังด้านบนของ ห้อง โดยพัดลมดูดอากาศพร้อมฝาชีกรอบ (Hood) ที่ติดตั้งอยู่ด้านบนของห้องจำนวน 2 ตัว (ภาพ 7) พร้อมกับมีระบบหมุนเวียนอากาศเป็นท่อสแตนเลสสีเหลี่ยมผืนผ้าขนาด กว้าง 24 เซนติเมตร ยาว 46 เซนติเมตร ที่เชื่อมต่อจากพัดลมดูดอากาศ แล้ววนเข้าสู่ผนังห้องทางด้านบนอีกครึ่งหนึ่ง (ภาพ 8 และ 9)

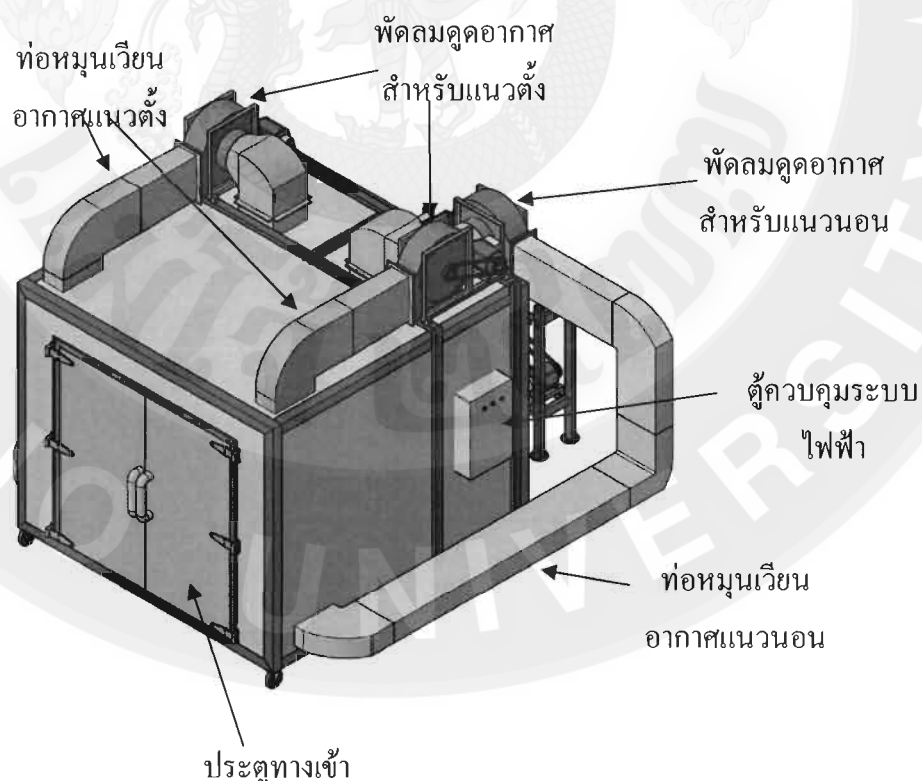
2. การหมุนเวียนอากาศแบบบังคับในแนวนอน

อากาศจากช่องว่างตรงกลางระหว่างกลุ่มของตะกร้าจะถูกออกໄไป โดยพัดลมดูด อากาศ บริเวณช่องว่างตรงกลางระหว่างกลุ่มของตะกร้าบรู๊ฟผลลัพธ์ไป พร้อมกับมีฝ้าใบปิดช่องว่าง ตรงกลาง ซึ่งพัดลมดูดอากาศนี้จะถูกขับดีดกับผนังของห้องทางด้านหลัง ทำให้อากาศและ SO₂ ไหลดผ่านตะกร้าบรู๊ฟผลลัพธ์ไป เข้ามาแทนที่อากาศที่ถูกดูดออกໄไป (ภาพ 7) พร้อมกับมีระบบ หมุนเวียนอากาศ เป็นท่อสแตนเลสสีเหลี่ยมผืนผ้าขนาด กว้าง 24 เซนติเมตร ยาว 46 เซนติเมตร ที่ เชื่อมต่อจากพัดลมดูดอากาศแล้ววนเข้าสู่ผนังห้องทางด้านซ้ายอีกครึ่งหนึ่ง (ภาพ 8 และ 9)



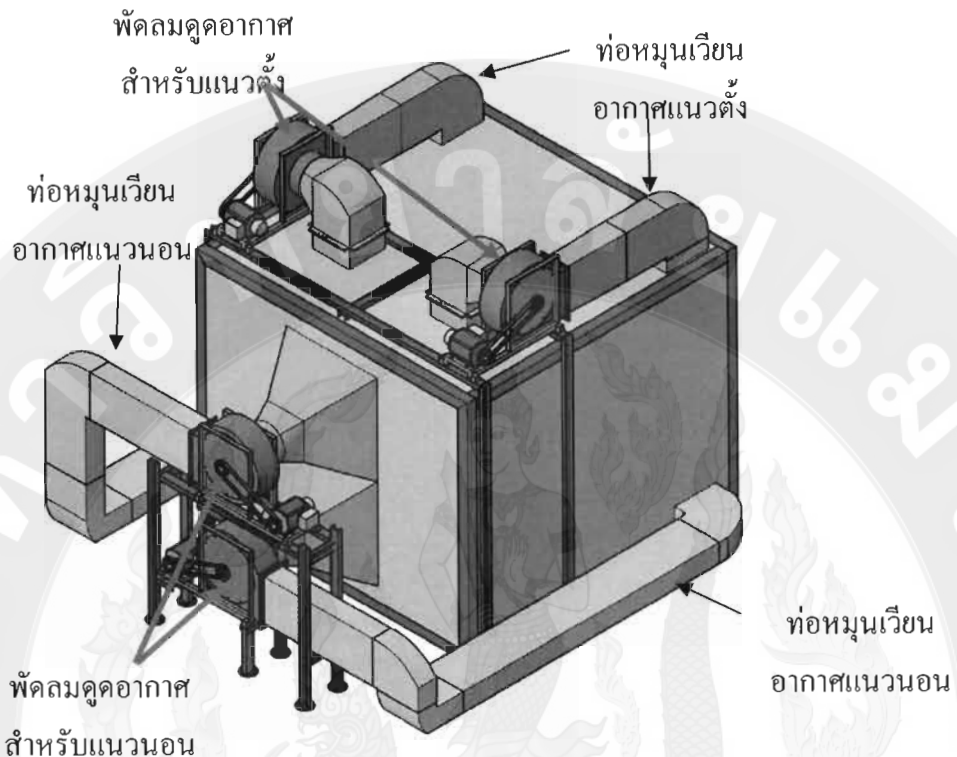
ภาพ 7 ตัวหนาจริงพัดลมดูดอากาศพร้อมฝ้าซีครอบตะกร้าบรรจุผลิตภัณฑ์ของระบบหมุนเวียนอากาศแบบบังคับในแนวตั้งและแนวนอน

ที่มา: จักรพงษ์ และคณะ (2551)



ภาพ 8 ภาพจำลองค้านหน้าของห้องร่ม SO₂ ที่ใช้ระบบหมุนเวียนอากาศแบบบังคับในแนวตั้งและแนวนอน

ที่มา: จักรพงษ์ และคณะ (2551)



ภาพ 9 ภาพจำลองด้านหลังของห้องรม SO_2 ที่ใช้ระบบหมุนเวียนอากาศแบบบังคับในแนวตั้งและแนวอน

ที่มา: จักรพงษ์ และคณะ (2551)

การตรวจวัด SO_2

การตรวจวัดปริมาณ SO_2 ในขั้นตอนการรرم SO_2 กับผลลำไยสด เพื่อยืดอายุการเก็บรักษา ในการรرمจะมีการตรวจวัดความเข้มข้นสุดท้ายของ SO_2 ในห้องรرمให้ตรงกับความต้องการของผู้ประกอบการ โดยจะมีความเข้มข้นตั้งแต่ 2,000 ppm ถึง 20,000 ppm ซึ่งมีอยู่คู่กัน 2 รูปแบบ ดังนี้

การตรวจวัด SO_2 โดยใช้สารละลายน้ำไฮโดรเจนเปอร์ออกไซด์ (H_2O_2) เข้มข้น 3%

เป็นการใช้สารละลายน้ำ H_2O_2 เข้มข้น 3% เป็นตัวดัก SO_2 โดยนำไปไหเกรตกับสารละลายน้ำตรฐานโซเดียมไฮดรอกไซด์และคำนวณปริมาณความเข้มข้นของ SO_2 มีสารเคมีและขั้นตอนการตรวจวัด (มานัส, 2545) ดังต่อไปนี้

1. อินดิเคเตอร์ เป็นสารที่ทำหน้าที่เป็นตัวบ่งชี้การเกิดปฏิกิริยาระหว่างสารละลายน้ำ H₂O₂ กับ SO₂ ซึ่งอินดิเคเตอร์ที่ใช้ในการวิเคราะห์ปริมาณ SO₂ ประกอบด้วย Methylene blue กับ Methyl red เตรียมได้จาก การซั่ง Methylene blue และ Methyl red มาจำนวน 0.05 และ 0.10 g ตามลำดับ จากนั้นนำไปละลายในเอทานอล (Ethanol) เข้มข้น 95 % จนครบทั้งได้ปริมาตร 100 ml

2. ไฮโดรเจนเพอร์ออกไซด์ (Hydrogen peroxide, H₂O₂) เข้มข้น 3% เตรียมได้จากสารละลายน้ำ H₂O₂ เข้มข้น 30 % ปริมาณ 100 มิลลิลิตร มาเจือจางในน้ำกลั่นจนกระทั่งมีปริมาตร 1,000 มิลลิลิตร จากนั้นหยดอินดิเคเตอร์ จนได้สารละลายน้ำเป็นสีม่วงอ่อน ซึ่งสารละลายน้ำที่ได้จากขั้นตอนนี้จะมีสภาพเป็นกรด ก่อนนำไปใช้ต้องปรับให้มีสภาพเป็นกลางด้วยโซเดียมไฮดรอกไซด์ (Sodium hydroxide, NaOH) เข้มข้น 0.1 N โดยหยดลงไปในสารละลายน้ำ H₂O₂ สภาพเป็นกลางของสารละลายน้ำสามารถสังเกตได้จากสีของสารละลายน้ำเป็นสีเขียวอ่อน ๆ

ในขั้นตอนการตรวจวัด เริ่มจากใส่สารละลายน้ำ H₂O₂ เข้มข้น 3% ปริมาณ 100 มิลลิลิตร ลงในขวดปริมาตรขนาด 250 มิลลิลิตร ปิดฝาให้สนิทโดยใช้จุกยาง ใช้เข็มฉีดยา คูตแก๊ส SO₂ จากห้องรวมมา 50 มิลลิลิตร ฉีดลงในขวดปริมาตรที่มีสารละลายน้ำ H₂O₂ เข้มข้น 3% เขย่าเล็กน้อย นำไปไห้เทรคกับสารละลายน้ำตรฐานโซเดียมไฮดรอกไซด์ และคำนวณปริมาณความเข้มข้นของแก๊ส SO₂ ตามสมการ 2

$$ppm\ SO_2 = \frac{mg\ SO_2 \times 10^6}{2.618 \times Volume\ of\ used\ air(ml)} \quad (2)$$

โดยที่

$ppm\ SO_2$ = ปริมาณความเข้มข้นของ SO₂ มีหน่วยเป็น 1 ส่วนในล้านส่วน (ppm)

$mg\ SO_2$ = มิลลิกรัมของแก๊สซัลเฟอร์ไดออกไซด์ซึ่งมีค่าเท่ากับ $N \times V \times 32$

(N = ความเข้มข้นของสารละลายน้ำโซเดียมไฮดรอกไซด์ที่ใช้มีหน่วยเป็น

นอร์มัล, V = ปริมาตรของสารละลายน้ำโซเดียมไฮดรอกไซด์ที่ใช้มีหน่วยเป็น มิลลิลิตร, 32 = น้ำหนักของแก๊สซัลเฟอร์ (grammes)

2.618 = ค่าคงที่ที่ใช้ในการเปลี่ยนแปลงค่า mg SO₂ เป็น ml SO₂ (มิลลิลิตรของ SO₂)

การตรวจวัด SO_2 ในอากาศ โดยใช้หลอดตรวจแก๊ส หรือหลอดชี้บอค

หลอดตรวจแก๊ส หรือหลอดชี้บอค เป็นเทคนิคการตรวจวัดแก๊สมลพิษทางสิ่งแวดล้อม โดยต้องทราบชนิดของสารที่ต้องการสุ่มตรวจ เพื่อเลือกใช้ชนิดของ หลอดตรวจแก๊ส หรือหลอดชี้บอค และ ผลจากการตรวจวัดโดยใช้หลอดตรวจแก๊ส หรือ หลอดชี้บอค สามารถแสดงผลได้โดยใช้เวลาไม่นาน แต่ผลที่ได้ยังเป็นค่าที่ไม่แน่นอน ต้องใช้เทคนิคและเครื่องมือที่มีความละเอียดมาตรวจวัด ทั้งนี้ส่วนประกอบหลัก ของเทคนิคการตรวจวัดแก๊ส ด้วยหลอดตรวจแก๊ส หรือ หลอดชี้บอค มี 2 ส่วน คือ ส่วนของตัวปืนกับส่วนที่เป็น Detector tube (ภาพ 10) โดยมีขั้นตอนการใช้งานดังต่อไปนี้



ภาพ 10 ปืน และ Detector tube

ที่มา: ศูนย์เทคโนโลยีความปลอดภัยและสิ่งแวดล้อม (2552)

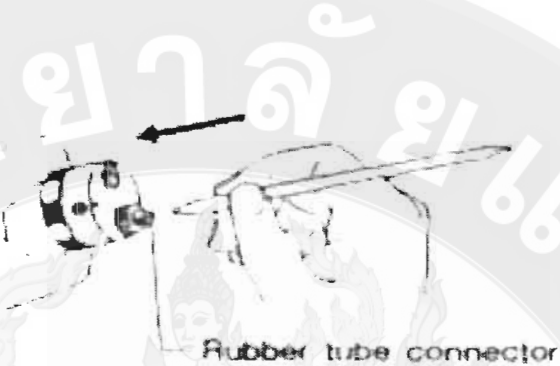
- ทำการตรวจเช็ครอยร้าวที่ตัวปืนและเลือกขนาด Detector tube ให้เหมาะสมกับปริมาณ SO_2 โดยดูจากสเกล และค่าของ n^* ที่ปรากฏบน Detector tube (มาตรฐาน 2545) หักปลายทั้งสองข้างของ Detector tube โดยการเสียบปลายของ Detector tube เข้าไปที่ปุ่ม (Tip) ที่ติดอยู่กับตัวปืน ดังภาพ 11



ภาพ 11 การหักปลายทั้งสองข้างของ Detector tube

ที่มา: อารีย์ (2552)

2. ต่อปลายที่หักแล้วเข้ากับ pump โดยสังเกตจาก ลูกศรที่ชี้อยู่บน Detector tube แต่ละอันว่าจะสอดปลายด้านไหนต่อกันปั้น ดังภาพ 12



ภาพ 12 การเสบบปลาย Detector tube ที่หักแล้วเข้ากับตัวปั้น
ที่มา: อารีย์ (2552)

3. ดูดอากาศที่มี SO_2 ผ่านเข้า Detector tube ดึงมานจนสุดปั้นจะเลือดโดยอัตโนมัติ โดยที่การดูด 1 ครั้งจะเท่ากับ 100 มิลลิลิตร ดังภาพ 13



ภาพ 13 การดูด SO_2 ผ่าน Detector tube
ที่มา: อารีย์ (2552)

4. รอคุณการเปลี่ยนแปลงสีบน Detector tube รอให้ແຄນສີປາກຖອບ່າງຫັດເຈນ ຈຶ່ງອ່ານຄ່າຕາມສເກລທີກໍາທັນດນ Detector tube ມີໜ້າວຍເປັນ 1 ສ່ວນໃນລ້ານສ່ວນ (ppm)

การวิเคราะห์ความไม่แน่นอน

ความไม่แน่นอน (uncertainty) คือ ค่าความผิดพลาดที่สามารถออกเป็นตัวเลข ที่เกี่ยวข้องกับผลของการวัด ว่ามีช่วงของค่าที่เป็นไปได้ ซึ่งเกิดจากความไม่แน่นอนของการวัดอยู่ เท่าใด ในระดับความเชื่อมั่นที่เหมาะสม เป็นสิ่งที่ไม่สามารถลดหลีกเลี่ยงได้ ทั้งนี้อาจเกิด จากความผิดพลาดของเครื่องมือวัด หรือเกิดจากผู้ทำการวัด ซึ่งอ่านค่าผิดพลาด เนื่องจากไม่คุ้นเคยกับ เครื่องมือวัดนั้นหรือระดับสายตาในการอ่านค่าไม่ถูกต้อง (อิศรศ, 2547) มีขั้นตอนในการคำนวณ ดังต่อไปนี้

1. คำนวณหาค่าความไม่แน่นอนในการวัดแบบ Type A คือ ค่าความไม่แน่นอนที่ ได้จากการทำซ้ำ โดยจะแสดงในรูปแบบของค่าเบี่ยงเบนมาตรฐาน (Standard Deviation of mean) (ดิสรณ์, 2547) สามารถคำนวณได้จากสมการ 3

$$U_A = \frac{\sigma}{\sqrt{n}} \quad (3)$$

เมื่อ

U_A = ค่าความแน่นอนแบบ Type A

σ = ค่าเบี่ยงเบนมาตรฐาน

n = จำนวนครั้งในการวัด

2. คำนวณหาค่าความไม่แน่นอนในการวัดแบบ Type B คือ ค่าความไม่แน่นอนที่ เกิดจากองค์ประกอบของความไม่แน่นอนของระบบ (systematic uncertainty) สามารถหาได้จาก ใบสอบเทียบเครื่องมือ การประเมินจากข้อมูล ประสบการณ์ของนักวิเคราะห์ การวิเคราะห์โดยใช้ หลักทฤษฎีในการคัดสินใจ ความละเอียดของเครื่องมือ และปัจจัยแวดล้อมที่เกี่ยวข้องในการ ทดลอง (อิศรศ, 2547) สามารถหาได้โดยแยกตามแหล่งที่มาของความไม่แน่นอน ได้ดังนี้

2.1 ค่าความไม่แน่นอนของการวัดที่ระบุในคู่มือของเครื่องคำนวณ ได้จาก

สมการ 4

$$U_{B1} = \frac{U_{certificate}}{2} \quad (4)$$

เมื่อ

U_{B1} = ค่าความไม่แน่นอนที่คำนวณจากค่าความไม่แน่นอนจากคู่มือของ เครื่องมือ

2.2 ค่าความไม่แน่นอนของการวัดที่ได้จากการคำนวณ
โดยใช้สูตร 5

$$U_{B2} = \frac{\text{resolution}}{2\sqrt{3}} \quad (5)$$

เมื่อ

U_{B2} = ค่าความไม่แน่นอนที่คำนวณจากความละเอียดของเครื่องมือ

2.3 ค่าความไม่แน่นอนที่เกิดจากการประมาณจากข้อมูล ประสบการณ์ของ
นักวิเคราะห์ การวิเคราะห์โดยใช้หลักทฤษฎีในการตัดสินใจ และปัจจัยแวดล้อมที่เกี่ยวข้องในการ
ทดลอง คำนวณโดยใช้สูตร 6

$$U_{B3} = \frac{U_{es}}{\sqrt{3}} \quad (6)$$

เมื่อ

U_{B3} = ค่าความไม่แน่นอนที่คำนวณโดยใช้การประมาณ

U_{es} = ค่าประมาณความไม่แน่นอน

3. รวมค่าความไม่แน่นอนในการวัด (Combined Uncertainty) ทั้งแบบ Type A
และ Type B ด้วยสูตร 7

$$U_C = \sqrt{U_A^2 + U_{B1}^2 + U_{B2}^2 + U_{B3}^2 + \dots + U_{Bn}^2} \quad (7)$$

เมื่อ

U_C = ความไม่แน่นอนรวม (Combined Uncertainty)

4. ขยายค่าความไม่แน่นอนในการวัดที่ระดับความเชื่อมั่น 95% โดยสูตร 8

$$U_{95\%} = 2 \times U_C \quad (8)$$

เมื่อ

$U_{95\%}$ = ค่าความไม่แน่นอนที่ระดับความเชื่อมั่น 95%

ผลงานวิจัยที่เกี่ยวข้อง

การรرم SO₂ กับผลิตภัณฑ์

Han *et al.* (2001) ศึกษาผลของการรnm SO_2 ที่มีค่าคุณภาพโดยรวมของผลิต้าไบสต์ ระหว่างเก็บรักษาในอุณหภูมิ 4 องศาเซลเซียส พบว่า SO_2 สามารถลดการเปลี่ยนสีของเปลือกได้ และไม่มีผลต่อการเปลี่ยนแปลงวิตามินซี และปริมาณของเย็นที่ละลายน้ำได้ แม้มีการเพิ่มน้ำของปริมาณกรดที่สามารถทำให้กรดได้ การเก็บรักษาผลิต้าไบที่ผ่านการรnm SO_2 ในอุณหภูมิ 4 องศาเซลเซียส สามารถรักษาคุณภาพของลำไยสดได้ดีในช่วงเริ่มต้นของการเก็บรักษา และสามารถยืดอายุการเก็บรักษาผลิต้าไบสดได้นานขึ้น เมื่อเทียบกับผลิต้าไยที่ไม่ผ่านการรnm SO_2

Lin et al. (2001) นำสำไชยศมาผ่านกระบวนการรีดอายุการเก็บรักษา เช่น การจุ่มสำไชยในซัลเฟอร์ กรรมการด้วย SO_2 จากนั้น ทำการศึกษาอายุการเก็บรักษาผลสำไชยในห้องเย็น ที่อุณหภูมิ 3 องศาเซลเซียส นาน 46 วัน จึงนำออกมารีกษา ผลการศึกษาพบว่า อัตราการหายใจของผลสำไชยลดลงอย่างรวดเร็วในระหว่างการเก็บรักษาในอุณหภูมิเย็น และจะเพิ่มขึ้นอย่างรวดเร็วหลังจากนำออกมานานวันที่อุณหภูมิห้อง ผลสำไชยที่ผ่านกรรม สามารถรักษาสีผิว และคุณภาพได้ดี แต่ผลสำไชยที่ผ่านกรรมซัลเฟอร์โดยออกไซด์ร่วมกับการใช้สารบั้งปูนกริยาออกซิเดชัน สามารถรักษาคุณภาพสำไชยหัวรับการวางจำหน่ายได้ 100 เปอร์เซ็นต์ หลังจากนำออกมานาน ไว้ที่อุณหภูมิห้องนาน 78 ชั่วโมง

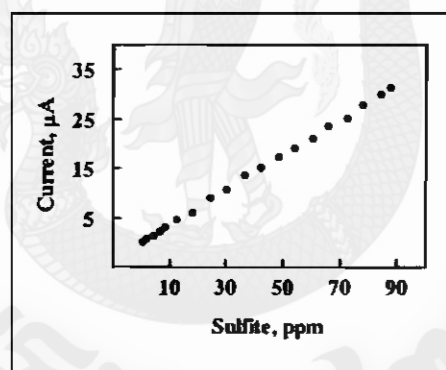
จักรพงษ์ และคณะ (2550) ทำการศึกษาเปรียบเทียบการรرم SO_2 ผลลัพธ์สคพันธุ์ คง ด้วยระบบหมุนเวียนอากาศแบบ circulating-air กับแบบบังคับ พบว่า การหมุนเวียนอากาศแบบบังคับ จะทำให้มีการหมุนเวียนอากาศผ่านเข้าไปในตะกร้ารูระบุลำไยได้ดีกว่าการหมุนเวียนอากาศด้วยระบบ circulating-air ซึ่งมีการหมุนเวียนภายในตะกร้าที่บ่อบรูระบุลำไยต่ำ และบางจุดอากาศไม่สามารถผ่านเข้าไปภายในตะกร้าลำไยได้เลย อีกทั้งยังพบว่า การใช้ระบบการหมุนเวียนอากาศแบบบังคับ ยังสามารถลดความเข้มข้นของ SO_2 ลงได้ 5 เท่า โดยยังสามารถรักษาคุณภาพและอายุการเก็บรักษาได้เช่นเดียวกันเมื่อเทียบกับการรرمด้วยระบบหมุนเวียนอากาศแบบเดิม ที่ความเข้มข้นของ SO_2 12,000 ppm

อุปกรณ์ตรวจวัด SO₂ โดยการปรับเทียบกับค่าแรงดันไฟฟ้าและกระแสไฟฟ้า

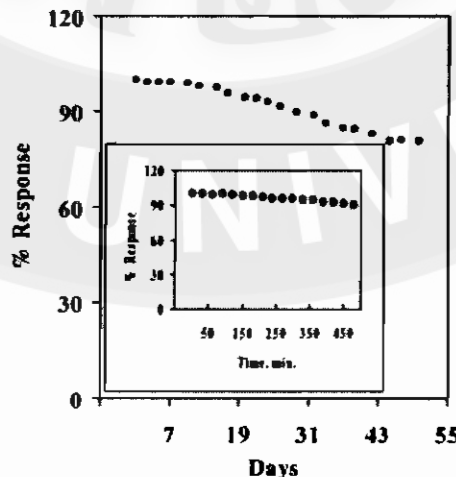
Ravi and Sriman (1999) ได้ทำการศึกษาและวิเคราะห์ทางค้าน Kemie โดยใช้การเปลี่ยนแปลงของกระแสไฟฟ้า เพื่อคำนวณหาความเข้มข้นของแก๊ส SO₂ ในอากาศ โดยการ

ตัวแปลง คือเปอร์เซกซ์ไซยาโนฟอเรต (CuHCF) เข้ากับ ชี้ไฟฟ้าที่ทำมาจากกราไฟต์ SO_2 จะทำปฏิกิริยาออกซิเดชันด้วยการเร่งทางไฟฟ้ากับหัวตรวจวัด และเกิดการเปลี่ยนแปลงของกระแสไฟฟ้า โดยสามารถตรวจวัดแก๊ส SO_2 ได้ในช่วง 3.1 ถึง 30.7 ppm ความเป็นกรดค่า 3.5-8.0

Ravi *et al.* (2002) ได้ทำการศึกษาการตรวจวัด SO_2 โดยใช้การเปลี่ยนแปลงของกระแสไฟฟ้า โดยนำ (3-Mercaptopropyl) trimethoxysilane (MPS) และ ซิลเวอร์ในเดรท มาใช้รวมกับชี้ไฟฟ้าที่ทำมาจากคาร์บอน พบร่วมกับหัวตรวจวัดมีการตอบสนองที่ดีต่อ SO_2 ในช่วงความเข้มข้น 0.6 ถึง 88 ppm ($R^2 = 0.9989$) โดยนำค่ากระแสไฟฟ้าที่ได้จากการตอบสนองมาปรับเทียบกับค่าความเข้มข้นของ SO_2 ดังภาพ 14 และหัวตรวจวัดยังมีเสถียรภาพในการใช้งาน โดยในการตรวจวัด SO_2 ที่ความเข้มข้น 30 ppm เป็นเวลา 8 ชั่วโมง พบร่วมกับหัวตรวจวัดยังคงตอบสนองต่อ SO_2 ได้มากกว่า 91 % (ภาพ 15) เมื่อทำการตรวจเป็นเป็นเวลา 50 หัวตรวจวัดสามารถตอบสนองต่อ SO_2 ได้มากกว่า 82 % (ภาพ 15)

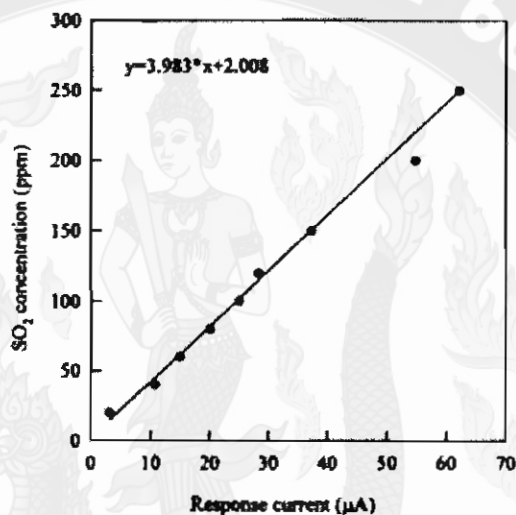


ภาพ 14 การปรับเทียบค่ากระแสไฟฟ้าจากหัวตรวจวัดกับ SO_2



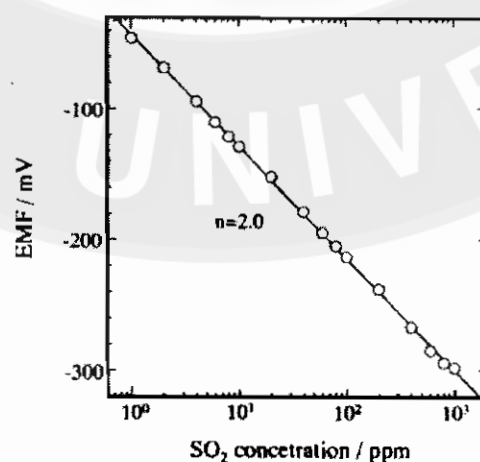
ภาพ 15 การตอบสนองของหัวตรวจวัด SO_2 ความเข้มข้น 30 ppm เวลา 8 ชั่วโมง และ 50 นาที

Syu and Liu (1998) ได้ศึกษาระบบตรวจจับสัญญาณแรงดันไฟฟ้าของ SO_2 โดยหัวตรวจวัดทำมาจาก Polyaniline กับ Nafion ตรวจวัด SO_2 จากห้องไอเสียของโรงงานอุตสาหกรรมที่ช่วงความเข้มข้น 20-250 ppm โดยมีการตอบสนองของกระแสไฟฟ้าปรับเทียบกับค่าความเข้มข้นของ SO_2 เมื่อความเข้มข้นเพิ่มขึ้นค่ากระแสไฟฟ้าตอบสนองก็จะเพิ่มมากขึ้นเป็นลักษณะเส้นตรงดังภาพ 16



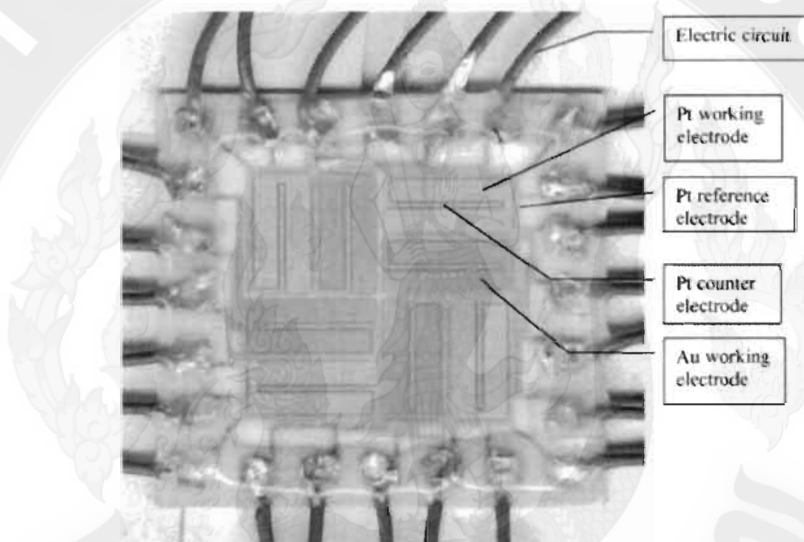
ภาพ 16 ค่าความเข้มข้น SO_2 ช่วง 20 – 250 ppm ปรับเทียบกับการตอบสนองของกระแสไฟฟ้า

Suganuma *et al.* (1999) ได้พัฒนาหัวตรวจวัด SO_2 โดยใช้เซอร์โคเนียมและเกลือซัลเฟต ใช้การนำอิオンของออกซิเจน และข้าไฟฟ้าอ้างอิงทำมาจาก เงินและแพลทินัม วัด SO_2 ได้ในช่วงความเข้มข้น 1 ถึง 1,000 ppm ที่ อุณหภูมิ 600 °C ระยะเวลาการตอบสนอง 40 วินาที (ภาพ 17) โดยหัวตรวจวัดจะตอบสนองต่อ SO_2 เป็นค่าแรงดันไฟฟ้า



ภาพ 17 ความเข้มข้น SO_2 ช่วง 1 ถึง 1,000 ppm ที่ อุณหภูมิ 600 °C ปรับเทียบกับค่าแรงดันไฟฟ้า

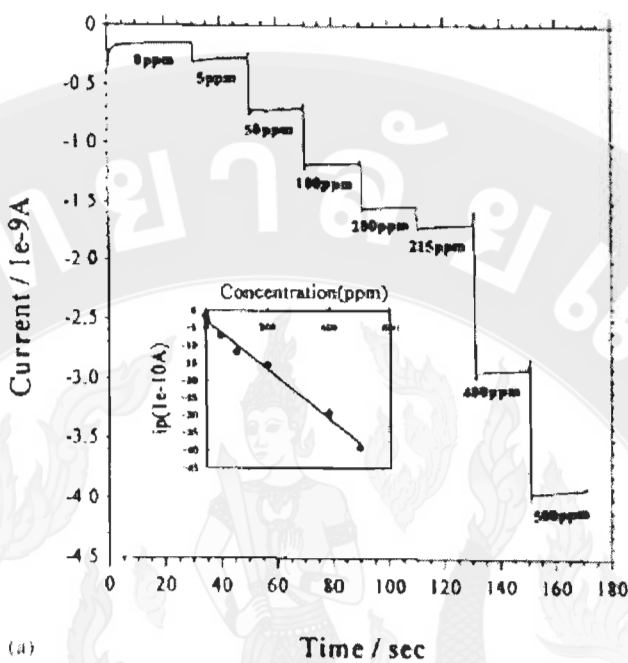
Jing-Shan and Po-Jen (2007) ได้พัฒนาอุปกรณ์วัดความเข้มข้นของ NO_2 , CO , O_2 และ SO_2 ในอากาศ โดยใช้การตอบสนองของกระแสไฟฟ้า กับความเข้มข้นของก๊าซที่เพิ่มมากขึ้น โดยอุปกรณ์มีส่วนประกอบของ แพลทินัม (ขั้วลบ) และทองคำ (ขั้วบวก) เมื่อจ่ายกระแสไฟฟ้าเข้าไปที่ขั้วบวก จะเกิดการตอบสนองต่อความเข้มข้นของแก๊ส กลับมาขังขั้วลบ เพื่อทำนายหาค่าความเข้มข้นของก๊าซโดยมีลักษณะอุปกรณ์ ดังภาพ 18 ซึ่งอุปกรณ์มีความแม่นยำในการทำนายความเข้มข้นของก๊าซ NO_2 , CO , O_2 และ SO_2 เฉลี่ย 91.34%



ภาพ 18 อุปกรณ์วัดความเข้มข้นของ NO_2 , CO , O_2 และ SO_2

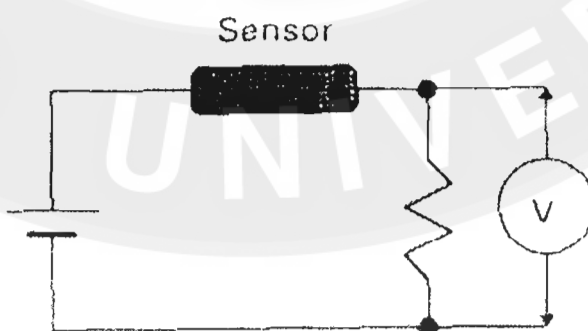
Getino *et al.* (1996) ได้พัฒนาอุปกรณ์ตรวจวัดสำหรับวิเคราะห์แก๊ส NO_2 , SO_2 และ C_6H_6 ในไอเสียที่ได้จากการเผาไหม้ของเครื่องยนต์ ที่มีการผสมของ N_2 , O_2 , CO_2 , H_2S , HF , HCl และไอน้ำ โดยอุปกรณ์มีลักษณะเป็นสารกึ่งตัวนำ มีค่าการตอบสนองเป็นความต้านทานทางไฟฟ้า โดยสามารถ ตรวจวัดความเข้มข้นของ SO_2 ได้ในช่วงความเข้มข้น 2 ถึง 100 ppm ($R^2 = 0.985$) ที่อุณหภูมิ 150 องศาเซลเซียส ในอากาศที่ถูกผสมไปด้วยก๊าซ N_2 , O_2 , CO_2 , H_2S , HF , HCl และไอน้ำ

Li *et al.* (2002) ได้พัฒนาอุปกรณ์ตรวจวัดความเข้มข้นของ SO_2 ในอากาศ โดยมีส่วนผสมของทองคำ ใช้การตอบสนองของกระแสไฟฟ้าที่มีต่อความเข้มข้น SO_2 เป็นลักษณะเชิงเส้นในช่วงความเข้มข้น 5 ถึง 500 ppm ดังภาพ 19



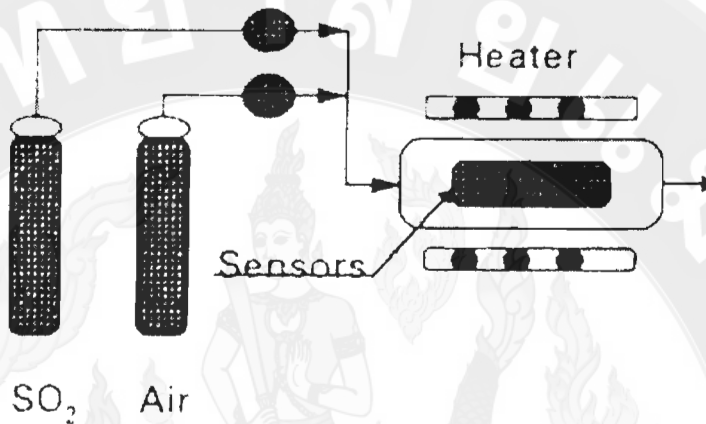
ภาพ 19 ค่าตอบสนองของกระแสไฟฟ้าปรับเทียบกับความเข้มข้นของ SO_2 ในช่วงความเข้มข้น 5 ถึง 500 ppm

Sriyudthsak (2540) ได้ศึกษา การประดิษฐ์หัววัด SO_2 ได้นำเทคนิคการวัดความเข้มของก๊าซโดยวิธีการถ่ายเทอเล็กตรอนมาใช้ โดยใช้สารกั่งตัวนำจำพวกดีบุกออกไซด์หรือสังกะสีออกไซด์ เป็นสารที่ทำหน้าที่ในการถ่ายอิสระนกับก๊าซ ในการศึกษานี้ได้นำห้องสเตนออกไซด์ที่มีความทนทานต่อการทำปฏิกิริยาสูง มาใช้ในการประดิษฐ์หัววัด SO_2 และจ่ายแรงดันกระแสตรงให้กับหัวตรวจวัดที่ต่ออนุกรมอยู่กับตัวด้านท่าน โดยสามารถวัดค่าความด้านท่านที่มีการตอบสนองต่อการเปลี่ยนแปลง จากการวัดแรงดันที่ตอกคร่อมตัวด้านท่าน ดังภาพ 20



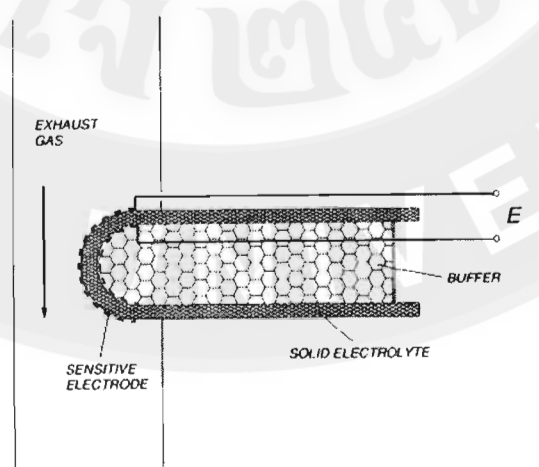
ภาพ 20 หัวตรวจวัดต่ออนุกรมอยู่กับตัวด้านท่าน

นำหัววัดก๊ามาติดตั้งในระบบวัดก๊าช (ภาพ 21) ประกอบด้วยถัง SO_2 ถังอากาศผสม ท่อบรรจุหัววัดก๊าช โดยจะมีชิตเตอร์ติดตั้งอยู่ เนื่องจากหัววัดก๊าชสามารถตอบสนองต่อ SO_2 ได้ดีที่สุดที่อุณหภูมิ 475 องศาเซลเซียส โดยสามารถตอบสนองได้ในช่วงความเข้มข้น 2 ถึง 100 ppm

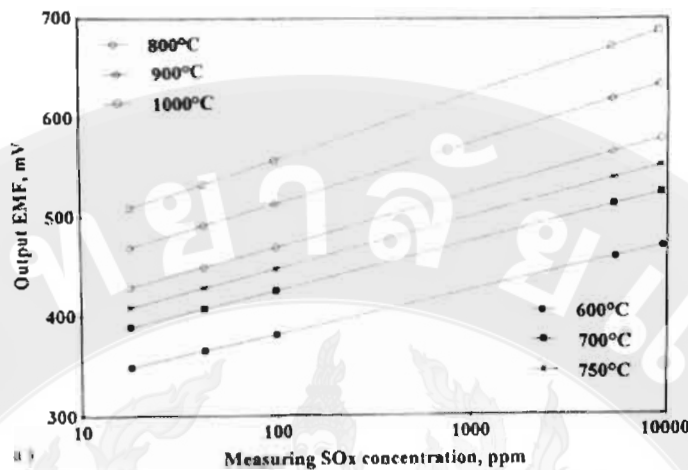


ภาพ 21 ระบบตรวจวัด SO_2

Zhuiykov (2000) พัฒนาอุปกรณ์ตรวจวัดปริมาณ SO_2 และ O_2 ในท่อไอเสีย โดยใช้หัวตรวจวัดร่วมกัน มีลักษณะการใช้งานดังภาพ 22 หัวของอุปกรณ์ตรวจวัดจะอยู่ในท่อไอเสีย และวัดปริมาณ SO_2 และ O_2 ใช้การตอบสนองของอุปกรณ์ตรวจวัดเป็นแรงดันไฟฟ้าปรับเทียบกับความเข้มข้นของ SO_2 โดยสามารถตรวจวัดได้ใช่ช่วงความเข้มข้น 18 ถึง 10,000 ppm ที่อุณหภูมิ 650 ถึง 1,000 องศาเซลเซียส โดยมีการตอบสนองเป็นลักษณะเชิงเส้นดังภาพ 23

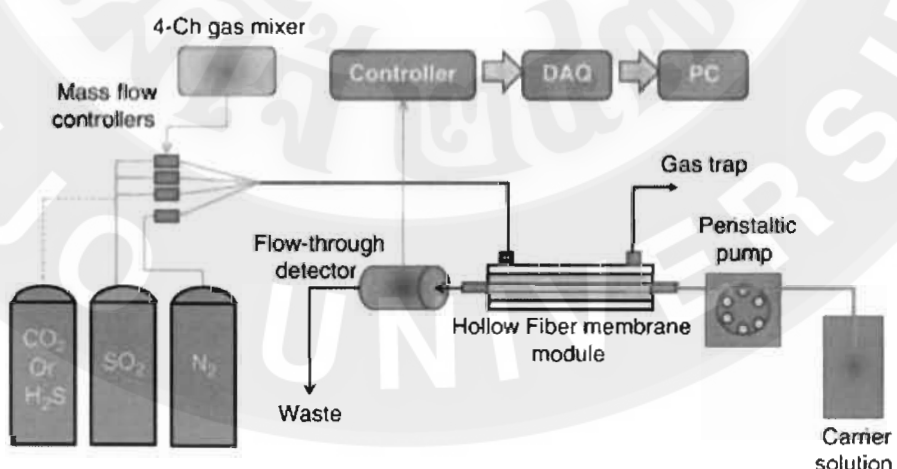


ภาพ 22 ตำแหน่งการติดตั้งและใช้งานอุปกรณ์ตรวจวัด SO_2 และ O_2 ในท่อไอเสีย



ภาพ 23 การตอบสนองของอุปกรณ์ตรวจวัด SO₂ ที่ช่วงความเข้มข้น 18 ถึง 10,000 ppm อุณหภูมิ 650 ถึง 1,000 องศาเซลเซียส

Marzouk *et al.* (2009) พัฒนาระบบวิเคราะห์ SO₂ แบบต่อเนื่อง ดังภาพ 24 เมื่อ SO₂ ถูกปล่อยเข้ามาข้างระบบ จะผ่านรูของเข็มเลือกผ่าน จนไปถึงอุปกรณ์ตรวจวัด ซึ่งมีการตอบสนองเป็นแรงดันไฟฟ้า โดยมีคอนโทรลเลอร์ตรวจจับแรงดันที่ได้เปลี่ยนสัญญาณแรงดันไฟฟ้าให้เป็นสัญญาณแบบดิจิตอลและส่งเข้าเครื่องคอมพิวเตอร์ แล้วปรับเทียบสัญญาณที่ได้กับความเข้มข้นของ SO₂ ระบบนี้จึงสามารถวิเคราะห์ปริมาณ SO₂ ได้อย่างต่อเนื่อง โดยมีการแสดงผลแบบเวลาจริงผ่านคอมพิวเตอร์



ภาพ 24 ระบบวิเคราะห์ SO₂ แบบต่อเนื่อง

สรุปกรอบแนวความคิดในการทำวิจัย

จากการศึกษางานวิจัยไม่พนการพัฒนาอุปกรณ์ตรวจ SO_2 ที่ช่วงความเข้มข้นสูง 2,000 ถึง 20,000 ppm สำหรับใช้ในกระบวนการรnm SO_2 กับผลลัพธ์ มีเพียงแค่ช่วงความเข้มข้นไม่เกิน 10,000 ppm และข้อพบว่า มีการพัฒนาอุปกรณ์ตรวจ SO_2 อุปกรณ์ตรวจที่ให้ค่าการตอบสนองในรูปแบบของแรงดันไฟฟ้าและกระแสไฟฟ้า ซึ่งสามารถนำมาปรับเทียบกับความเข้มข้นของ SO_2 ที่ได้จากการวิเคราะห์ด้วยสารละลายไฮโดรเจนperอํอกไซด์ 3% ในช่วงความเข้มข้น 2,000 ถึง 20,000 ppm ได้ ดังนั้นด้วยวิธีการที่ได้ศึกษาทำให้เกิดการพัฒนาอุปกรณ์ตรวจ SO_2 ความเข้มข้นสูงในการรnm SO_2 กับผลลัพธ์ เพื่อรักษาคุณภาพของลำไยสดในระหว่างการเก็บรักษา

สมมติฐานการวิจัย

ในการพัฒนาอุปกรณ์ตรวจปริมาณ SO_2 ผู้วิจัยมีแนวคิดในการหาความสัมพันธ์ของความเข้มข้นของ SO_2 กับค่าแรงดันไฟฟ้าที่มีการตอบสนองจากอุปกรณ์ตรวจ เมื่อ SO_2 มีความเข้มข้นเพิ่มมากขึ้นทำให้ค่าแรงดันไฟฟ้าที่ตอบสนองมีค่าเพิ่มขึ้น ปรับเทียบกับความเข้มข้นของ SO_2 ที่ได้จากการไฟฟ้า เพื่อพัฒนาอุปกรณ์ตรวจความเข้มข้น SO_2 ในกระบวนการรnm SO_2 กับผลลัพธ์โดยทำการปรับเทียบกับวิธีการตรวจ SO_2 ด้วยการใช้สารละลายไฮโดรเจนperอํอกไซด์ 3% ในช่วงความเข้มข้นของ SO_2 ระหว่าง 2,000 ถึง 20,000 ppm

บทที่ 3

อุปกรณ์และวิธีการ

ในบทนี้จะกล่าวถึงวัสดุ อุปกรณ์ สารเคมีที่ใช้ ขั้นตอนและวิธีการดำเนินการวิจัย พร้อมตัวอย่างเช่นเดียวกัน โดยการวิจัยและพัฒนาอุปกรณ์ตรวจวัด SO_2 ใช้ค่าแรงดันไฟฟ้าตอบสนองของเซนเซอร์วัด SO_2 ปรับเทียบกับความเข้มข้นของ SO_2 ที่ได้จากการไถจาก

อุปกรณ์ที่ใช้ในการวิจัย

- ห้องรวม SO_2 กับผลิตภัณฑ์ทดสอบตัวระบบปล่อยแก๊ส SO_2 จากถังอัดความดัน โดยตรง
- อุปกรณ์ตรวจวัด SO_2 รุ่น SO2-AE (Alphasense Ltd., Part, UK.)
- อุปกรณ์แปลงสัญญาณ Analog เป็น Digital รุ่น MCP3551 (Microchip Inc, USA.)
- แผ่นวงจรอิเล็กทรอนิกส์ออกแบบ
- ไมโครคอนโทรลเลอร์ รุ่น PIC16F887 (Microchip Inc, USA.)
- SO_2 จากถังอัดความดัน
- ท่อทรงกระบอก ปูร์มิเตอร์ 200 และ 2,000 มิลลิลิตร
- กระบวนการซึ่ดขนาด 6 และ 60 มิลลิลิตร
- พัคเลมอิเล็กทรอนิกส์ขนาดเล็ก
- อุปกรณ์บันทึกข้อมูล (Data logger) Agilent รุ่น 34970A (Agilent Inc, USA)
- จอแสดงผลอิเล็กทรอนิกส์แบบ LCD 16 × 2 (Electronics source Co., Ltd, THA)
- ชุดวิเคราะห์ SO_2 ด้วยสารละลายน้ำไฮโดรเจนเปอโรออกไซด์ 3%

สารเคมี

- อินดิเคเตอร์ ที่เป็นส่วนประกอบของ methylene blue กับ methyl red
- ไฮโดรเจนเปอโรออกไซด์ (Hydrogen peroxide, H_2O_2) เข้มข้น 3%
- โซเดียมไฮดรอกไซด์ (sodium hydroxide, NaOH) เข้มข้น 0.1 N
- น้ำกลั่น

วิธีการศึกษา

ศึกษาปัญหาการตรวจวัด SO_2 ในการรرم SO_2 กับผลลำไยสด

ในการรرم SO_2 กับผลลำไยสด ด้วยระบบหมุนเวียนอากาศแบบบังคับ ใช้ความเข้มข้นในช่วง 2,000 ถึง 20,000 ppm ใน การรرم และตรวจวัดพบว่าวิธีการตรวจวัดโดยใช้สารละลายน้ำไฮโดรเจนเปอร์ออกไซด์ 3 % และหลอดตรวจน้ำ เนื่องจากเครื่องมือในการตรวจวัดมีราคาสูงและไม่เหมาะสมกับการใช้ตรวจวัด SO_2 ในกระบวนการรرم SO_2 กับผลลำไยสด เช่น Bacharach PCA 2 Gas Analyzer (gap 25) มีช่วงการวัด 0 ถึง 10,000 ppm ราคาไม่ต่ำกว่า 100,000 บาท (Professional equipment, 2009)



gap 25 อุปกรณ์ตรวจวัด SO_2 ยี่ห้อ Bacharach รุ่น PCA 2

ที่มา: Professional equipment (2009)

ศึกษาถึงความเป็นไปได้เบื้องต้น

จากการศึกษาในด้านอุปกรณ์อิเล็กทรอนิกส์พบว่า มีอุปกรณ์ที่รองรับการศึกษานี้โดยนีเซนเซอร์ที่สามารถตรวจ SO_2 รุ่น SOS-AE (Alphasense Ltd., Part, UK.) (gap 26) วัด SO_2 ได้ในช่วงความเข้มข้น 0 ถึง 2,000 ppm โดยจะนำมาปรับเทียบช่วงการวัดใหม่ในช่วง 0 ถึง 20,000 ppm สัญญาณที่ส่งออกมาจากเซนเซอร์ SO_2 จะมีการส่งค่าการตอบสนองผ่าน Transmitter board (gap 27) ให้ค่ากระแสไฟฟ้าตอบสนองในช่วง 4 ถึง 20 mA ผ่านความต้านทาน 1,000 โอห์ม เปลี่ยนเป็นแรงดันไฟฟ้า เพื่อนำมาปรับเทียบกับความเข้มข้นของ SO_2 ที่ได้จากการไฟเกรต ดังนั้น การศึกษานี้จึงมีโอกาสที่จะเป็นไปได้



ภาพ 26 หัวตรวจวัด SO_2 ยี่ห้อ Alphasense รุ่น SO2-AE

ที่มา: Alphasense (2009a)



ภาพ 27 Transmitter board สำหรับหัวตรวจวัด SO_2 รุ่น SO2-AE

ที่มา: Alphasense (2009b)

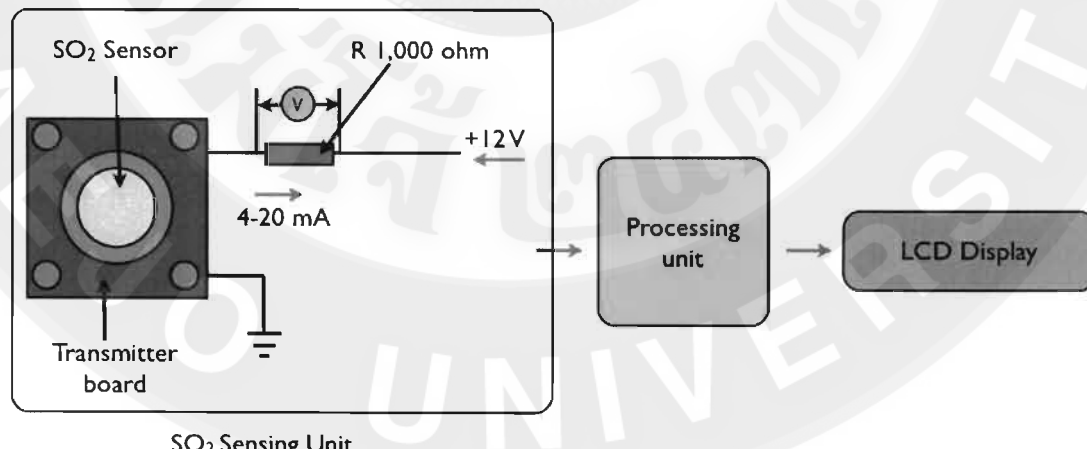
ด้วยเหตุนี้จึงได้เกิดการพัฒนาอุปกรณ์ตรวจวัด SO_2 ที่ช่วงความเข้มข้น 2,000 ถึง 20,000 ppm เพื่อใช้ในการตรวจวัดปริมาณ SO_2 ในกระบวนการรرم SO_2 กับผลิตภัณฑ์ที่มีราคาถูก และสามารถใช้ทดแทน การใช้หลอดตรวจวัด (Gas Detector tube) และสารละลายไฮโดรเจน Peroxide ได้โดยประมาณ 3 % เพื่อเป็นการลดต้นทุน ลดขั้นตอน และสะดวก สำหรับการตรวจวัด SO_2 ในกระบวนการรرم SO_2 กับผลิตภัณฑ์ที่มีราคาถูก เป็นการเพิ่มประสิทธิภาพในการรرم และเพิ่มโอกาสทางธุรกิจให้แก่ผู้ประกอบการมากขึ้น

เกณฑ์ในการออกแบบ

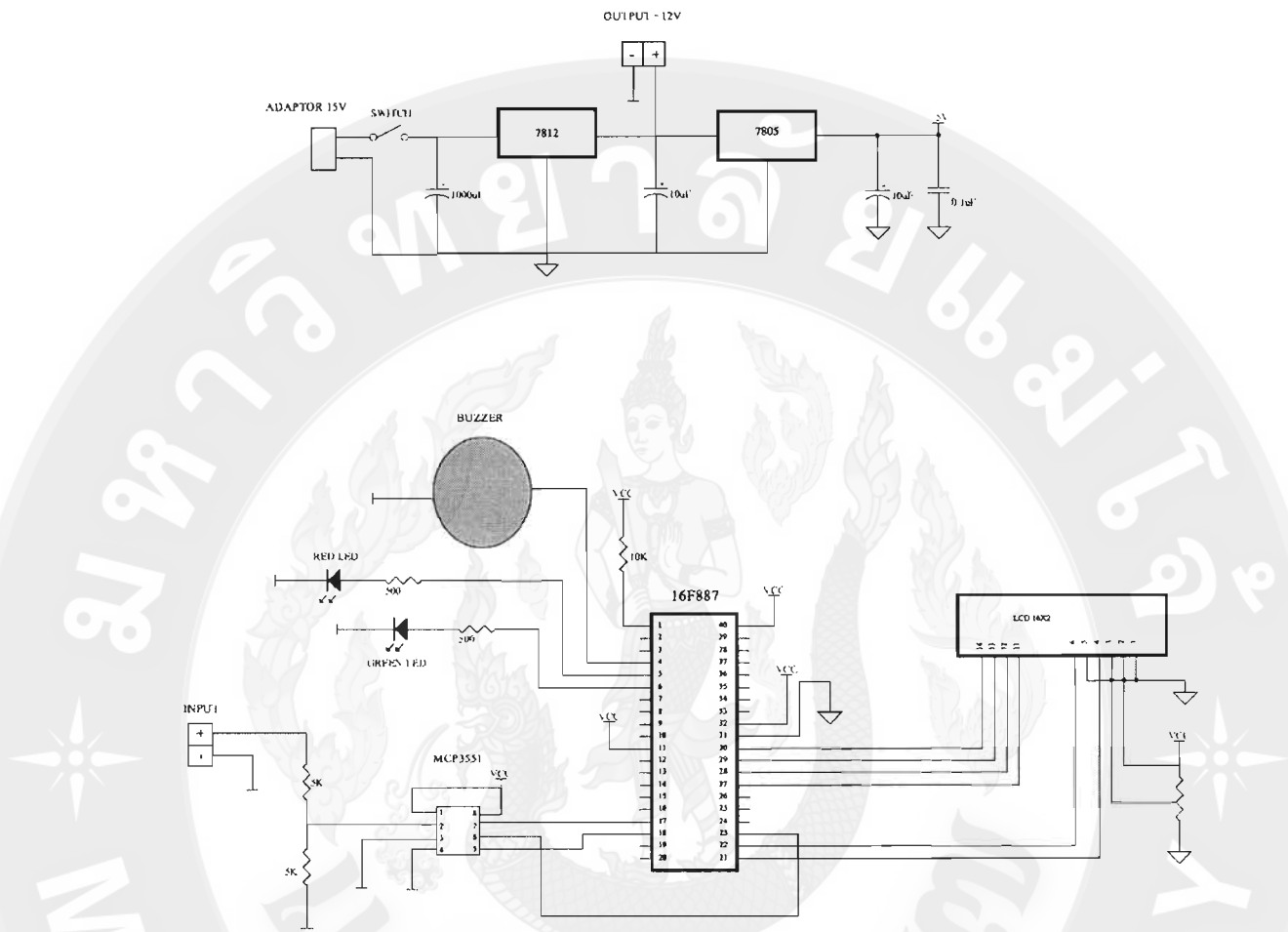
อุปกรณ์ตรวจวัด SO_2 ความเข้มข้นสูงสามารถวัด SO_2 ได้ในช่วงความเข้มข้น 2,000 ถึง 20,000 ppm ในกระบวนการกรรม SO_2 กับผลิตภัณฑ์ โดยวัสดุของอุปกรณ์จะต้องมีความทนทานต่อการกัดกร่อนของ SO_2 สามารถพกพาได้ และแสดงผลเป็นตัวเลขความเข้มข้นในหน่วย ppm

การออกแบบอุปกรณ์และระบบตรวจวัด SO_2

อุปกรณ์ตรวจวัด SO_2 ความเข้มข้นสูงประกอบด้วยสองส่วน คือ หน่วยตรวจวัด SO_2 ที่มีเซนเซอร์วัด SO_2 รุ่น SO2-AE (Alphasense Ltd., Part, UK.) เชื่อมต่อกับ Transmitter board เพื่อส่งสัญญาณเป็นกระแสไฟฟ้าผ่านตัวถ่านขนาด 1,000 โอม เพื่อวัดค่าแรงดันไฟฟ้า ต่อกล่องตัวถ่านขนาด (Sriyudthsak, 1995) ส่งมาขึ้นหน่วยประมวลผล และแสดงผลผ่านจอแบบ LCD ขนาด 16×2 (Electronics source Co., Ltd, THA.) (ภาพ 28) ซึ่งหน่วยประมวลผลของอุปกรณ์ตรวจวัด SO_2 จะประกอบไปด้วยชิ้นจริงอิเล็กทรอนิกส์ ที่มีไมโครคอนโทรลเลอร์ PIC16F887 (Microchip Inc, USA.) อุปกรณ์แปลงสัญญาณแรงดันไฟฟ้าเป็นดิจิตอล รุ่น MCP3551 (Microchip Inc, USA.) และอุปกรณ์ปรับแรงดันไฟฟ้าเพื่อทำการจ่ายกระแสไฟฟ้าไปยังหน่วยตรวจวัด SO_2 และหน่วยประมวลผล มีการออกแบบวงจร โดยการทำ Schematic ดังภาพ 29



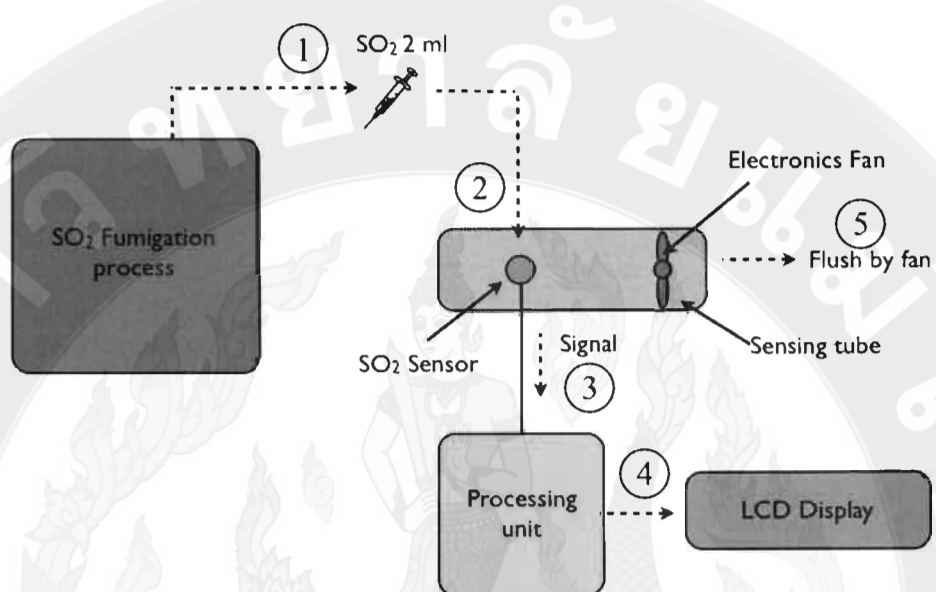
ภาพ 28 หลักการทำงานของอุปกรณ์ตรวจวัด SO_2



ภาพ 29 Schematic diagram สำหรับหน่วยประมวลผลของอุปกรณ์ตรวจวัด SO₂

ในการใช้อุปกรณ์ตรวจวัด SO_2 จะต้องทำการสูมตัวอย่างเข้ามาในระบบตรวจวัด โดยมีการออกแบบระบบตรวจวัด ดังภาพ 30 ทำการสูมตัวอย่างโดยใช้ระบบอกน้ำด้วยโซลินอยด์ ที่ติดตั้งอยู่ในท่อระบายน้ำ แล้วนำตัวอย่างไปในห้องตรวจวัด SO_2 (ตำแหน่งที่ 1 ในภาพ 30) และปล่อยเข้าไปในหน่วยตรวจวัด SO_2 (ตำแหน่งที่ 2 ในภาพ 30) ที่ทำจาก PVC ทันการกัดกร่อนของ SO_2 และสามารถนำมาใช้งานร่วมกับ SO_2 ได้ในช่วงอุณหภูมิไม่เกิน 60°C (Plastic Pipe Institute, 2007) มีลักษณะเป็นท่อทรงกระบอก ปริมาตร 200 มิลลิลิตร มีฝาปิดสนิททั้งสองด้าน ภายในจะติดตั้งเซนเซอร์ SO_2 และพัดลมเพื่อผสมอากาศภายในท่อ อุปกรณ์ตรวจวัดจะวัดปริมาณ SO_2 ส่วนค่าตอบสนองไปยังหน่วยประมวลผล (ตำแหน่งที่ 3 ในภาพ 30) และแสดงผลเป็นตัวเลขความเข้มข้นในหน่วย ppm ผ่านจอแบบ LCD 16×2 (ตำแหน่งที่ 4 ในภาพ 30) และหลังจากการตรวจวัดในแต่ละครั้งจะทำการปล่อย SO_2 ในหน่วยตรวจวัดทิ้ง โดยพัดลมที่อยู่

ภายในระบบจะทำการพัดเอา SO_2 ออกมานา (ตำแหน่งที่ 5 ใน ภาพ 30) เมื่อค่าที่วัดได้เป็นศูนย์จึงทำการตรวจวัดในครั้งต่อไป



ภาพ 30 การออกแบบระบบตรวจวัด SO_2

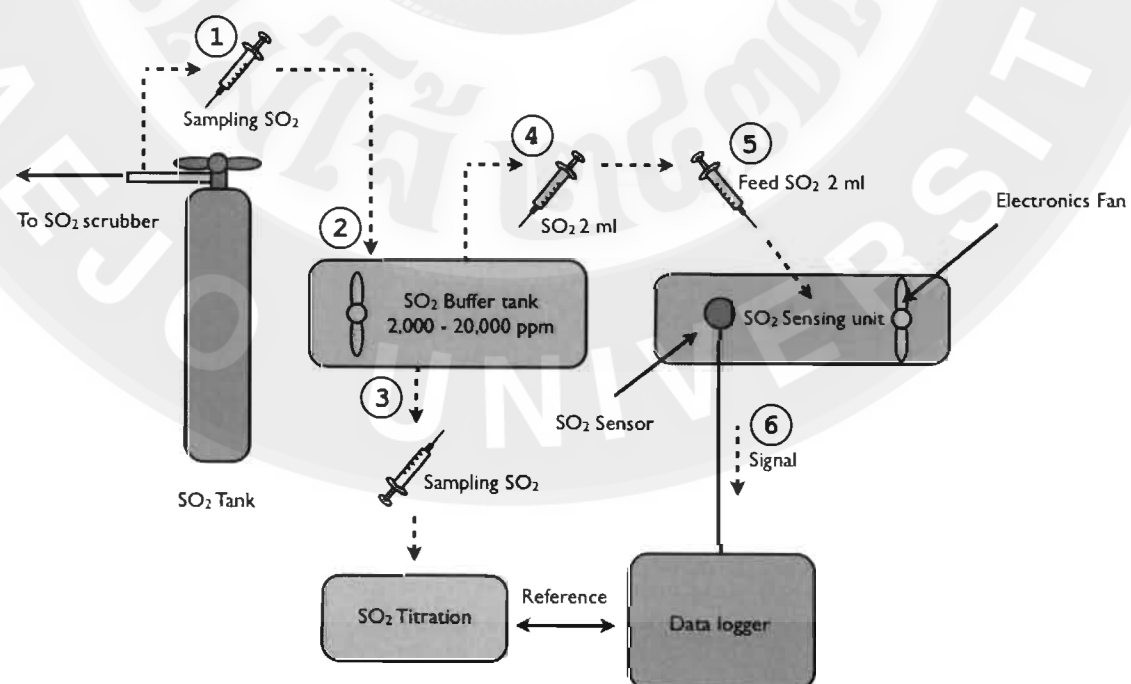
การทดสอบและวิเคราะห์ความไม่แน่นอน ของอุปกรณ์ตรวจวัด SO_2 ระดับห้องปฏิบัติการ

ในการทดสอบอุปกรณ์ตรวจวัด SO_2 ในห้องปฏิบัติการ ดำเนินการโดยสร้างถังพักปรับความเข้มข้น (Buffer tank) ทำจาก PVC มีลักษณะเป็นทรงกระบอกมีฝาปิดสนิททั้งสองด้าน ปริมาตร 2,000 มิลลิลิตร มีพัดลมสำหรับกวนอากาศอยู่ภายใน ทำการสูมตัวอย่าง SO_2 ความเข้มข้น 99% หรือ 990,000 ppm จากถังอัดความดันผ่านห้องน้ำแก๊สปล่อยทิ้ง โดยระบบอัตโนมัติ (ตำแหน่งที่ 1 ใน ภาพ 31) ปล่อยเข้าสู่ถังผสมเพื่อทำการปรับความเข้มข้นให้อยู่ในช่วง 2,000 ถึง 20,000 ppm (ตำแหน่งที่ 2 ใน ภาพ 31) จากนั้นจึงสูมตัวอย่าง SO_2 เพื่อทำการไถเทเรตหาความเข้มข้นของ SO_2 (ตำแหน่งที่ 3 ใน ภาพ 31) และสูมตัวอย่าง SO_2 ปริมาตร 2 มิลลิลิตร (ตำแหน่งที่ 4 ใน ภาพ 31) ปล่อยเข้าสู่ห้องตรวจวัดทรงกระบอกปริมาตร 200 มิลลิลิตร ที่ติดตั้งเซนเซอร์วัด SO_2 และพัดลมผสมอากาศอยู่ภายใน (ตำแหน่งที่ 5 ใน ภาพ 31) โดยนำค่าแรงดันไฟฟ้าที่ได้จากการตอบสนองของเซนเซอร์เชื่อมต่อและบันทึกข้อมูลโดย Data logger (รุ่น 34970A, Agilent Technology, Inc, USA) (ตำแหน่งที่ 6 ใน ภาพ 31) ปรับเทียบกับค่าความเข้มข้นของ SO_2 ที่ได้จากวิธีการไถเทเรต กับค่าแรงดันไฟฟ้าตอบสนองที่ได้จากหน่วยตรวจวัด และหลังจากการตรวจวัดในแต่ละครั้งจะทำการ

ปล่อย SO_2 ในหน่วยตรวจวัดที่ โดยพัคลมที่อยู่ภายในระบบจะทำการพัคเอา SO_2 ออกมานี้เมื่อค่าที่วัดได้เป็นศูนย์จึงทำการตรวจวัดในครั้งต่อไป

ตาราง 3 ปริมาตรในการสูม SO_2 จากถังอัดความดัน

ระดับความเข้มข้นของ SO_2 (ppm)	ปริมาตรการสูม SO_2 จากถังอัดความดัน(ml)
2,000	4
4,000	8
6,000	12
8,000	16
10,000	20
12,000	24
14,000	28
16,000	32
18,000	36
20,000	40



ภาพ 31 ชุดทดสอบอุปกรณ์ตรวจวัด SO_2

ผลจากการทดสอบและสร้างอุปกรณ์เบื้องต้นในห้องปฏิบัติการได้นำไปทดสอบในภาคสนาม ประกอบไปด้วยการสร้างหน่วยประมวลผลและองค์ประกอบของภายนอก เพื่อให้อุปกรณ์สามารถใช้งานได้จริงในภาคสนาม มีความทนทาน และปรับปรุงระบบให้สมบูรณ์โดยการแก้ไขข้อบกพร่องที่พบในการทดสอบในห้องปฏิบัติการ นอกจากนี้ การทดสอบจริงจะมีการคำนวณค่าความไม่แน่นอนของระบบทั้งหมด ดังนี้

1. ความไม่แน่นอนที่เกิดจากการทดลองช้า

เป็นค่าที่จะต้องนำมาทำการวิเคราะห์ความไม่แน่นอนเนื่องจากเป็นความไม่แน่นอนที่จัดอยู่ในประเภท A (Type A)

2. ความไม่แน่นอนของระบบอักษร化ที่ใช้ในการสุ่มตัวอย่าง SO₂

ในการสุ่มตัวอย่างหากเกินความคลาดเคลื่อนของปริมาณ SO₂ จากการสุ่มตัวอย่าง โดยใช้ระบบอักษร化 จะทำให้ระบบการตรวจวัดเกิดความไม่แน่นอนขึ้นได้ จัดเป็นความไม่แน่นอน ประเภท B (Type B)

3. ความคลาดเคลื่อนของค่าความด้านท่าน้ำอิง

ในการแปลงสัญญาณของอุปกรณ์ตรวจวัดที่มีค่าตอบสนองเป็นกระแสไฟฟ้า มีความจำเป็นที่จะต้องใช้ความด้านท่าน้ำอิงเปลี่ยนค่ากระแสไฟฟ้าให้เป็นแรงดันไฟฟ้า เพื่อบันทึกและนำค่าตอบสนองไปใช้งาน หากมีความคลาดเคลื่อนเกิดขึ้นก็จะส่งผลต่อความไม่แน่นอนในการประมวลผลค่าความเข้มข้น SO₂ ของระบบตรวจวัดได้ จัดเป็นความไม่แน่นอน ประเภท B (Type B)

4. ความไม่แน่นอนจากผู้ทำการวิจัย

ในการทำการทดลองอาจเกิดความไม่แน่นอนขึ้นจากด้วงผู้วิจัยเองในการอ่านค่าการวัดต่างๆ ซึ่งส่งผลต่อความไม่แน่นอนในระบบการตรวจวัดได้ จัดเป็นความไม่แน่นอน ประเภท B (Type B)

5. ความไม่แน่นอนจากความละเอียด (resolution) ของอุปกรณ์

เป็นค่าที่จะต้องนำมาทำการวิเคราะห์ความไม่แน่นอนเนื่องจากเป็นความไม่แน่นอนที่จัดอยู่ในประเภท B (Type B)

6. ความไม่แน่นอนจากคู่มือการสอนเทียนของอุปกรณ์

เป็นค่าที่จะต้องนำมาทำการวิเคราะห์ความไม่แน่นอนเนื่องจากเป็นความไม่แน่นอนที่จัดอยู่ในประเภท B (Type B)

7. ความไม่แน่นอนจากความละเอียด (resolution) ของการไฟกรด

เป็นค่าที่จะต้องนำมาทำการวิเคราะห์ความไม่แน่นอนเนื่องจากเป็นค่าที่ใช้ในการปรับเทียนของอุปกรณ์ตรวจวัดและจัดเป็นความไม่แน่นอน ประเภท B (Type B)

การทดสอบและเก็บข้อมูลกับห้องรม SO₂ ระดับอุตสาหกรรม

ในการทดสอบการทำงานของอุปกรณ์ ได้นำมาทดสอบและเก็บข้อมูลภาคสนาม กับห้องรม SO₂ กับผลลำไยสด โดยใช้ลำไยสดประมาณ 4,500 กิโลกรัม กับห้องรม SO₂ กับผลลำไยสด ด้วยระบบหมุนเวียนอากาศแบบบังคับระดับอุตสาหกรรม ใช้วิธีการปล่อย SO₂ จากถังอัดความดัน(ภาพ 32) ที่พัฒนาโดย จกรพงษ์ และคณะ (2552) ทำการสูบตัวอย่าง SO₂ ทุก 10 นาที ตลอดช่วงเวลาการรม 60 นาที ใช้ความเข้มข้นเมื่อสิ้นสุดการรมที่ 6,000 ppm 8,000 ppm และ 10,000 ppm ในการทดสอบจะทำการเปรียบเทียบกับวิธีการไทยเทรต



ภาพ 32 ห้องรม SO₂ ที่ใช้ระบบหมุนเวียนอากาศแบบบังคับในแนวตั้งระดับอุตสาหกรรม

การวิเคราะห์ข้อมูล

ในการออกแบบการทดลองและวิเคราะห์ข้อมูลได้ใช้แบบจำลองทางสถิติแบบ Repeated measure design ดังสมการ 9

$$Y_{ijkl} = \mu + \alpha_i + \beta_j + \gamma_k + d_{ijk} + \kappa_l + (\kappa\alpha)_{il} + (\kappa\beta)_{jl} + (\kappa\gamma)_{kl} + e_{ijkl} \quad (9)$$

โดย

$$i = 1, 2, 3 \quad j = 1, 2 \quad k = 1, 2, 3 \quad l = 0, 10, 20, \dots, 60$$

เมื่อ

μ	= ค่าเฉลี่ยโดยรวม (Overall mean)
α_i	= อิทธิพลจากระดับความเข้มข้นเมื่อสิ่นสุดการรnm
β_j	= อิทธิพลจากปัจจัยของวิธีการตรวจวัด
γ_k	= อิทธิพลจากการทดลองช้า
d_{ijk}	= ค่าความคลาดเคลื่อนจากการสุ่มตรวจวัดภายในระดับความเข้มข้นเมื่อสิ่นสุดการรnmต่างๆ
κ_l	= อิทธิพลจากปัจจัยเวลา
$(\kappa\alpha)_{il}$	= อิทธิพลร่วมระหว่างระดับความเข้มข้นเมื่อสิ่นสุดการรnmกับเวลา
$(\kappa\beta)_{jl}$	= อิทธิพลร่วมระหว่างเวลา กับวิธีการตรวจวัด
$(\kappa\gamma)_{kl}$	= อิทธิพลร่วมระหว่างเวลา กับการทดลองช้า
e_{ijkl}	= ค่าความคลาดเคลื่อนจากการทดลอง

ในการทดลองจะทำการทดสอบอุปกรณ์ภาคสนามที่ระดับความเข้มข้นเมื่อสิ่นสุดการรnmอยู่ 3 ระดับ คือ 6,000 ppm 8,000 ppm และ 12,000 ppm โดยทำซ้ำเป็นจำนวน 3 ครั้ง ในทุกระดับความเข้มข้น สุ่มตัวอย่าง SO_2 จากห้องรnm ทุก 10 นาที ตลอดระยะเวลาในการรnm 60 นาที ทำการปล่อย SO_2 ในหน่วยตรวจวัดทึบทุกครั้งหลังจากการตรวจวัด โดยพัฒนาที่อยู่ภายในกระบวนการจะทำการพัฒนา SO_2 ออกมาน เมื่อค่าที่วัดได้เป็นศูนย์จึงทำการตรวจวัดในครั้งต่อไป และทำการเปรียบเทียบข้อมูลที่ประมวลผลได้จากอุปกรณ์ตรวจวัด SO_2 กับ การ ไฟเกรต ใช้กราฟให้เห็นแนวโน้มพร้อมทั้งแสดงความสัมพันธ์ทางสถิติ ด้วยโปรแกรม StatView 5.0 ที่ระดับความเชื่อมั่น $\alpha = 0.05$ โดยจะมีความแตกต่างกันอย่างมีนัยสำคัญเมื่อค่า p น้อยกว่า 0.05 และจะไม่แตกต่างกันอย่างมีนัยสำคัญเมื่อค่า p มากกว่าหรือเท่ากับ 0.05 แล้วคำนวณหาความคลาดเคลื่อนของอุปกรณ์ตรวจวัด และความไม่แน่นอน (uncertainty)

สถานที่ดำเนินการวิจัย

การศึกษาและพัฒนาในภาคปฏิบัติได้ดำเนินการที่ ภาควิชาเทคโนโลยีหลังการเก็บเกี่ยว คณะวิศวกรรมและอุตสาหกรรมเกษตร มหาวิทยาลัยแม่โจ้ ส่วนการทดสอบในภาคสนามได้ทดลองที่ บริษัท ไทยผลไม้ จำกัด โรงงานรnm SO_2 กับผลลำไยส่วนต้นอุตสาหกรรมในอีสาน จอมทอง จังหวัดเชียงใหม่ โดยใช้ห้องรnm SO_2 กับผลลำไยสด ด้วยระบบการหมุนเวียนอากาศแบบบังคับระดับอุตสาหกรรม

ระยะเวลาในการดำเนินงาน

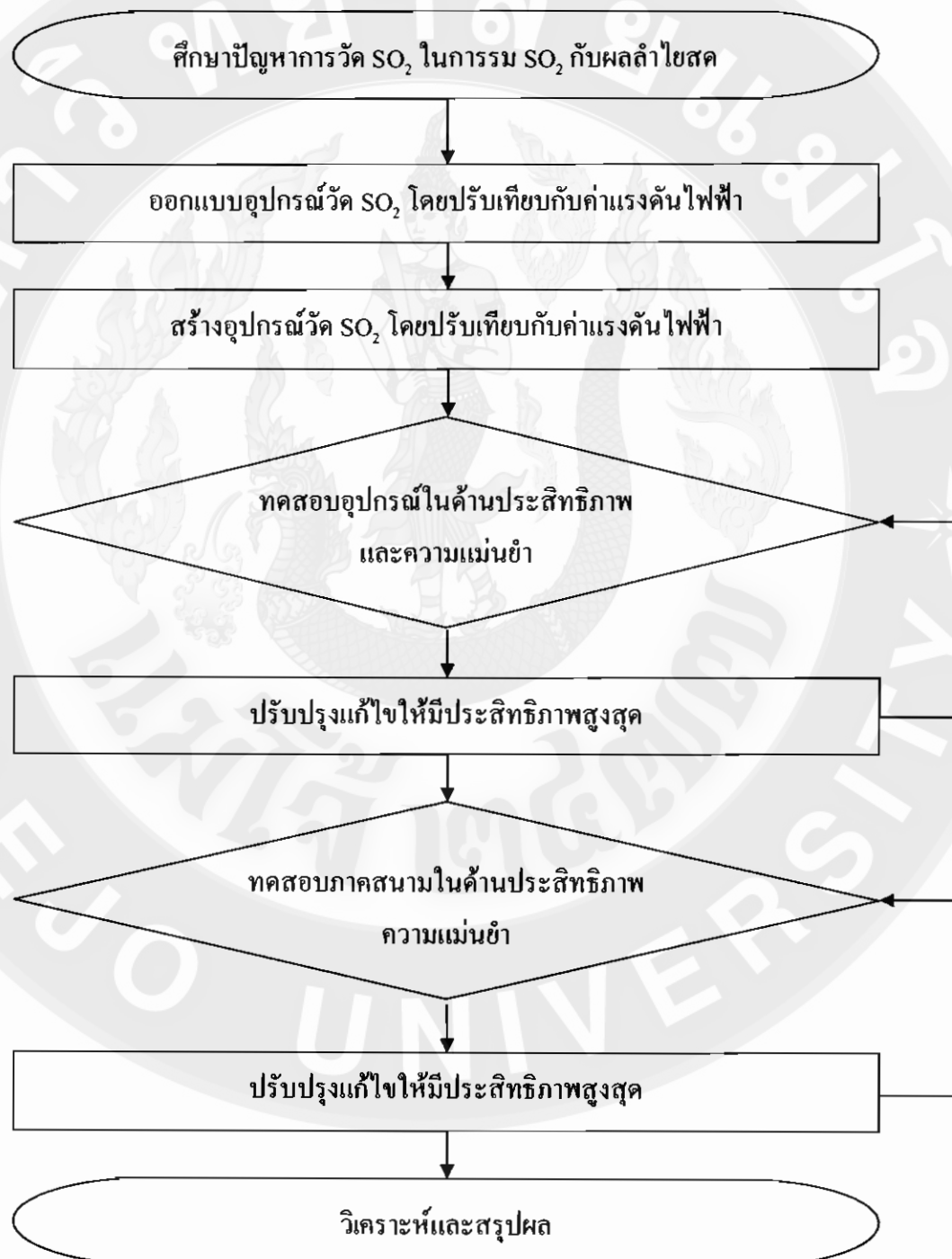
การศึกษาครั้งนี้ใช้ระยะเวลา 1 ปี โดยมีรายละเอียดดังตาราง 4

ตาราง 4 รายละเอียดขั้นตอนการดำเนินงานของการทำวิจัย

ขั้นตอนการดำเนินงาน	ระยะเวลา (เดือน)											
	1	2	3	4	5	6	7	8	9	10	11	12
1. สืบยานปัญหาการตรวจวัด SO_2 ในการรับ SO_2 กับผลคำใบ้สด	■											
2. ออกแบบระบบและอุปกรณ์ตรวจวัด SO_2		■										
3. สร้างระบบและอุปกรณ์ตรวจวัด SO_2			■									
4. ทดสอบระบบและอุปกรณ์ตรวจวัด SO_2				■								
5. ทดสอบและเก็บข้อมูลภาคสนาม					■							
6. วิเคราะห์และประเมินประสิทธิภาพ						■						
7. นำเสนอผลงานทางวิชาการ							■					
8. สรุปผลการทดลองและเขียนเล่นรายงาน								■				

แผนภูมิการดำเนินงาน

แผนการดำเนินงานของงานวิจัยตั้งแต่เริ่มต้นจนสิ้นสุดการศึกษา แสดงดังภาพ 33



ภาพ 33 แผนผังการดำเนินงาน

งบประมาณที่ใช้ในการวิจัย

การวิจัยครั้งนี้คาดว่าจะใช้งบประมาณดังรายละเอียดด่อไปนี้

1. หมวดค่าใช้จ่าย	
ค่าจัดทำปกและเข้าเล่น	5,000 บาท
2. หมวดวัสดุอุปกรณ์	
ค่าอุปกรณ์อิเล็กทรอนิกส์	2,000 บาท
ค่าสารเคมี	8,000 บาท
ค่าวัสดุ	10,000 บาท
ค่าอุปกรณ์ตรวจวัด	15,000 บาท
3. ค่าใช้จ่ายเบ็ดเตล็ด	5,000 บาท
งบประมาณทั้งสิ้น	45,000 บาท

บทที่ 4

ผลการวิจัยและวิจารณ์

ผลการออกแบบและสร้างอุปกรณ์ตรวจวัด SO_2

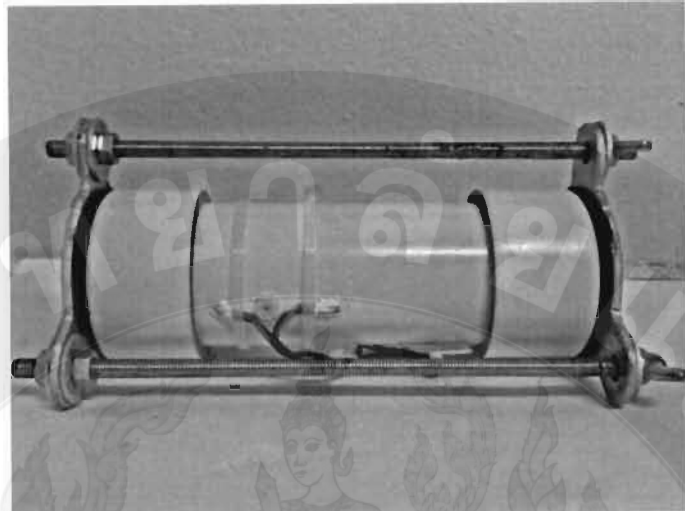
อุปกรณ์ตรวจวัด SO_2 ประกอบด้วยสองส่วน คือ หน่วยตรวจวัด SO_2 และหน่วยประมวลผล มีรายละเอียดดังต่อไปนี้

หน่วยตรวจวัด SO_2

หน่วยตรวจวัด SO_2 ที่สร้างขึ้นประกอบด้วย เซนเซอร์วัด SO_2 รุ่น SO2-AE Transmitter board และพัดลมไอล่าอากาศ เพื่อตรวจวัด SO_2 และส่งสัญญาณแรงดันไฟฟ้าไปยังหน่วยประมวลผล ติดตั้งอยู่ภายในทรงกระบอกปริมาตร 200 มิลลิลิตร (ภาพ 34) มีปริมาตรที่วัดได้จริง 210 มิลลิลิตร ใช้ PVC เป็นวัสดุในการสร้างองค์ประกอบภายนอก เนื่องจากเป็นวัสดุที่ทนต่อการกัดกร่อนของ SO_2 และสามารถนำมาใช้งานร่วมกับ SO_2 ได้ในช่วงอุณหภูมิไม่เกิน 60°C (Plastic Pipe Institute, 2007) มีฝาปิดทั้งสองด้าน เพื่อป้องกันการรั่วไหลของ SO_2 และมีรูปลอยแก๊สที่ทำจากซิลิโคนความยืดหยุ่นสูงสำหรับปล่อย SO_2 เข้าสู่หน่วยตรวจวัด SO_2 (ภาพ 35)



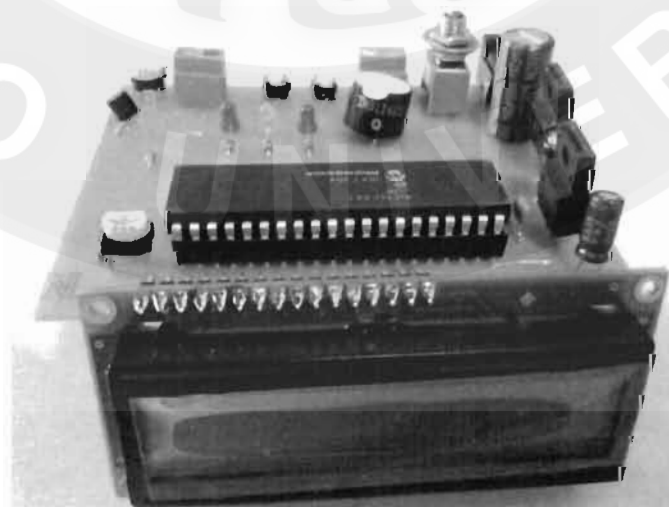
ภาพ 34 การติดตั้งเซนเซอร์ SO_2 และพัดลมไอล่าอากาศในระบบอุปกรณ์ตรวจวัด



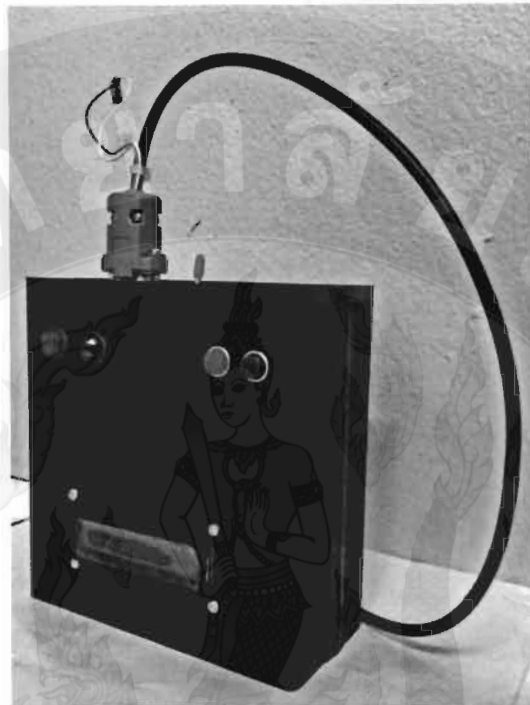
ภาพ 35 องค์ประกอบภายนอกของอุปกรณ์ตรวจวัด SO_2

หน่วยประมวลผล

หน่วยประมวลผลที่สร้างขึ้นเพื่อรับค่าแรงดันไฟฟ้าตอบสนองจากหน่วยตรวจวัด SO_2 เพื่อแปลงสัญญาณแรงดันไฟฟ้าเป็นสัญญาณแบบดิจิตอล ประมวลผล และแสดงค่าความเข้มข้นของ SO_2 เป็นตัวเลขในหน่วย ppm ประกอบไปด้วยบอร์ดอิเล็กทรอนิกส์ที่มีไมโครคอนโทรลเลอร์รุ่น PIC16F887 อุปกรณ์แปลงสัญญาณ MCP3551 และจอแสดงผลแบบ LCD 16 × 2 ดังภาพ 36 และมีองค์ประกอบภายนอกเป็นทรงสี่เหลี่ยมพื้นผ้าขนาด กว้าง 16 เซนติเมตร สูง 4 เซนติเมตร ยาว 18 เซนติเมตร มีสัญญาณไฟแสดงสถานะและมีปุ่มกดเพื่อควบคุมการทำงาน ดังภาพ 37

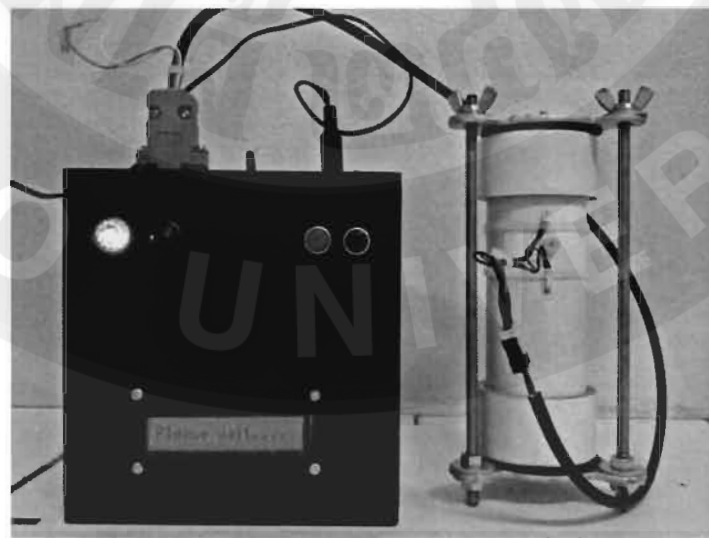


ภาพ 36 หน่วยประมวลผลของอุปกรณ์ตรวจวัด SO_2



ภาพ 37 ลักษณะภายนอกของหน่วยประมวลผลอุปกรณ์ตรวจวัด SO_2

ในการทำงานของอุปกรณ์จะต้องทำการเชื่อมต่อหน่วยตรวจวัด SO_2 และหน่วยประมวลผลเข้าด้วยกัน โดยจ่ายไฟฟ้ากระแสตรง 15 Volt เข้าไปที่หน่วยประมวลผล ดังภาพ 38



ภาพ 38 การเชื่อมต่อระหว่างระบบอุปกรณ์ตรวจวัด SO_2 และหน่วยประมวลผล

ผลการทดสอบอุปกรณ์ในห้องปฏิบัติการและวิจารณ์

ในการทดสอบอุปกรณ์ตรวจวัด SO_2 ในห้องปฏิบัติการ ได้ทำการสร้างถังผสม ลักษณะเป็นทรงกระบอกที่มีฝาปิดทั้งสองด้าน ปริมาตร 2,000 มิลลิลิตร โดยมีปริมาตรจริงที่วัดได้ 2,120 มิลลิลิตร มีรูที่ทำจากยางความยืดหยุ่นสูงเพื่อปล่อย SO_2 เข้าสู่ถังผสม (ภาพ 39) เพื่อปรับความเข้มข้นของ SO_2 จากถังอัดความดันที่มีความเข้มข้น 99% หรือ 990,000 ppm ให้อยู่ในช่วงความเข้มข้น 2,000 ถึง 20,000 ppm



ภาพ 39 ถังผสมทรงกระบอกปริมาตร 2,000 มิลลิลิตร

ทำการเปรียบเทียบความเข้มข้นที่วัดได้จากการไหเทเรตด้วยสารลายไฮโดรเจน เปอร์ออกไซด์ 3% กับค่าความเข้มข้นที่คำนวณได้จากการ 9 ได้ผลการทดสอบดังตาราง 5

$$N_1 V_1 = N_2 V_2 \quad (9)$$

เมื่อ

- N_1 = ความเข้มข้นของ SO_2 ในถังอัดความดัน
- V_1 = ปริมาตรสุ่มของ SO_2 จากถังอัดความดัน
- N_2 = ความเข้มข้นของ SO_2 ในทรงกระบอก
- V_2 = ปริมาตรสุ่มของ SO_2 จากทรงกระบอก

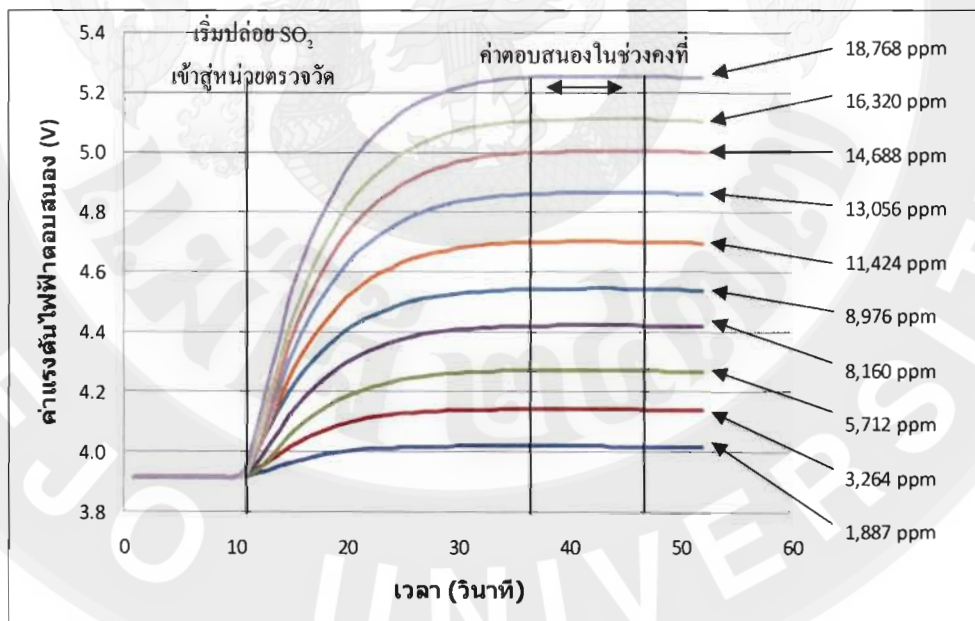
ตาราง 5 ผลการทดสอบค่าความเข้มข้นจากทรงกระบอกปริมาตร 2,120 มิลลิลิตร

ระดับความเข้มข้น SO ₂ (ppm)	ระดับความเข้มข้น SO ₂ จากการคำนวณ (ppm)	ระดับความเข้มข้น SO ₂ จากการไหเทรต (ppm)
2,000	1,887	-
4,000	3,773	3,264
6,000	5,660	5,712
8,000	7,546	8,160
10,000	9,433	8,976
12,000	11,320	11,424
14,000	13,206	13,056
16,000	15,093	14,688
18,000	16,979	16,320
20,000	18,866	18,768

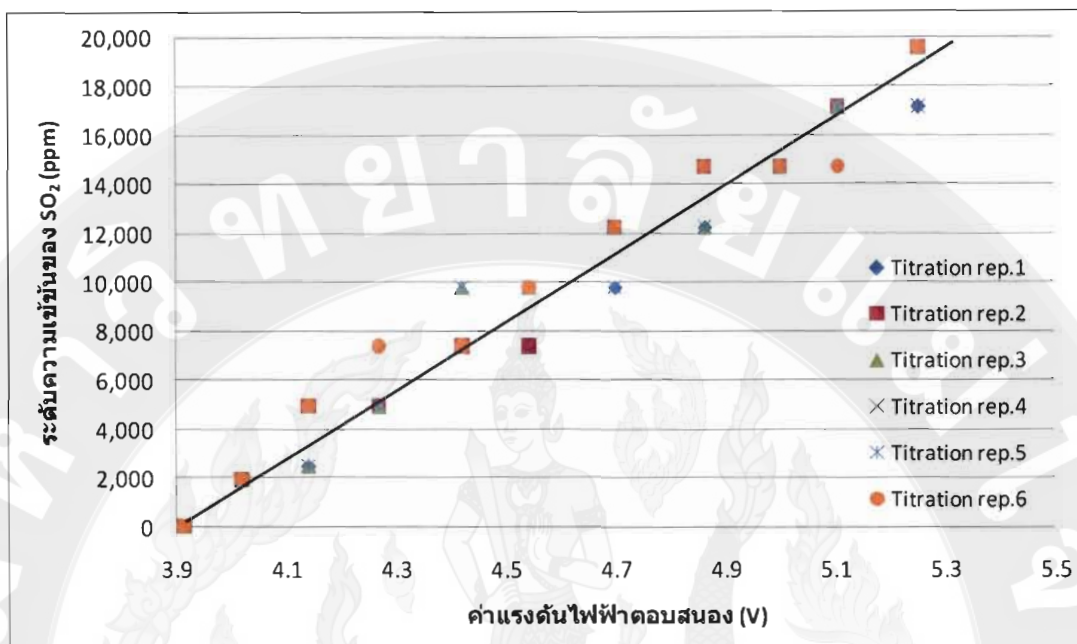
จากตาราง 5 ที่ระดับความเข้มข้น 2,000 ppm ไม่สามารถทำการไหเทรตได้เนื่องจากระดับความเข้มข้นค่าสูงที่วิธีการไหเทรตจะสามารถตรวจวัดได้ คือ ไม่ต่ำกว่า 4,000 ppm ซึ่งเป็นข้อจำกัดในการใช้วิธีวิเคราะห์ SO₂ ด้วยวิธีนี้ และเมื่อทำการวิเคราะห์ทางสถิติเพื่อเปรียบเทียบค่าความเข้มข้นที่วัดได้จากวิธีการไหเทรตกับวิธีการคำนวณพบว่าไม่มีความแตกต่างทางสถิติที่ระดับนัยสำคัญ 0.05 ด้วยเหตุนี้จึงนำค่าความเข้มข้นที่ระดับต่ำกว่า 4,000 ppm ที่ได้จากการคำนวณมาใช้ทดแทนค่าที่ไม่สามารถหาได้จากการไหเทรตได้ คือที่ระดับความเข้มข้นที่ 2,000 ppm จะใช้ค่าที่คำนวณได้คือ 1,887 ppm ในการปรับเทียบ

เมื่อทำการปรับความเข้มข้นให้อยู่ในช่วง 2,000 ถึง 20,000 ppm จากนั้นทำการสุ่ม SO₂ โดยใช้ทรงกระบอกเชิงเส้นมา 2 มิลลิลิตร ปล่อยเข้าสู่ห้องตรวจวัด SO₂ ที่สร้างขึ้นโดยเชื่อมต่ออยู่กับ Data logger Agilent รุ่น 34970A เพื่อเก็บข้อมูลแรงดันไฟฟ้าที่ตอบสนองจากหน่วยตรวจวัด SO₂ โดยเก็บข้อมูลทุก 1 วินาที เป็นเวลา 60 วินาที จำนวน 3 ครั้ง เทียบกับการไหเทรต 6 ครั้ง ที่ระดับความเข้มข้นเดิมกัน ได้ทำการตอบสนองดังภาพ 40 ซึ่งแสดงให้เห็นว่าหน่วยตรวจวัดเริ่มนีกการตอบสนองหลังจากมีการปล่อย SO₂ เข้าสู่ระบบ ประมาณ 25 วินาที จากนั้นค่าที่วัดได้จะเริ่มคงที่ ประมาณ 10 วินาที โดยสามารถตอบสนองได้ในช่วงความเข้มข้น 2,000 ถึง 20,000 ppm มีลักษณะเป็นแบบเส้นตรง มีค่าสัมประสิทธิ์การตัดสินใจ (R^2_{adj}) เท่ากับ 0.99 (ภาพ 41) ความคลาดเคลื่อนใน

การวัด $\pm 121 \text{ ppm}$ หรือร้อยละ 0.67 ตลอดช่วงการวัด(ตาราง 6) เมื่อปรับเทียบกับวิธีการไทยเหตุได้สมการเส้นตรงที่นำไปใช้ในการประมาณผลค่าความเข้มข้น SO_2 ได้ดังสมการ 10 ซึ่งสอดคล้องกับงานวิจัยของ Syu and Liu (1998) ที่พบว่าเซนเซอร์ วัด SO_2 มีค่าตอบสนองเป็นกระแสไฟฟ้า โดยมีลักษณะการตอบสนองเป็นแบบเส้นตรง โดยเมื่อความเข้มข้นของ SO_2 เพิ่มมากขึ้นค่ากระแสไฟฟ้าตอบสนองก็เพิ่มมากขึ้น ทำให้ได้สมการที่ใช้ในการคำนวณความเข้มข้นของ SO_2 นอกจากนี้ยังสอดคล้องกับงานวิจัยของ Suganuma *et al.* (1999) ที่มีผลการวิจัยไปในทิศทางเดียวกัน โดยพบว่าเซนเซอร์ วัด SO_2 มีค่าตอบสนองเป็นแรงดันไฟฟ้า ระยะเวลาในการตอบสนองต่อการวัดในแต่ละครั้ง 40 วินาที และมีลักษณะการตอบสนองเป็นแบบเส้นตรง โดยเมื่อความเข้มข้นของ SO_2 เพิ่มมากขึ้นค่าแรงดันไฟฟ้าตอบสนองก็เพิ่มมากขึ้น ทำให้ได้สมการในการคำนวณความเข้มข้นของ SO_2 เมื่อมีการตอบสนองของเซนเซอร์ตรวจวัดต่อปริมาณความเข้มข้นของ SO_2 จะได้ค่าแรงดันไฟฟ้าตอบสนอง เพื่อใช้ในการคำนวณปรับเทียบอุณหภูมิเป็นตัวเลขแสดงค่าความเข้มข้นของ SO_2 ในหน่วย ppm



ภาพ 40 การตอบสนองของหน่วยตรวจวัด SO_2



ภาพ 41 การตอบสนองของหน่วยตรวจวัด SO₂ ปรับเทียบกับความเข้มข้น SO₂ ด้วยวิธีไทเกรต

จากการ 41 ลักษณะแรงดันไฟฟ้าตอบสนองของอุปกรณ์ตรวจวัด SO₂ ที่สร้างขึ้น มีแนวโน้มเป็นแบบเส้นตรง ในช่วง 2,000 ถึง 20,000 ppm صدقถือกับงานวิจัยของ Zhiykov (2000) ที่พบว่าอุปกรณ์ตรวจวัด SO₂ มีลักษณะการตอบสนองเป็นแรงดันไฟฟ้า โดยเมื่อความเข้มข้น SO₂ เพิ่มมากขึ้น ค่าแรงดันไฟฟ้าตอบสนองก็มีแนวโน้มเพิ่มขึ้น โดยมีลักษณะเป็นแบบเส้นตรง (ภาพ 23)

$$C = (13,465 \times V) - 52,204 \quad ; R^2_{adj} = 0.99 \quad (10)$$

เมื่อ

C = ค่าความเข้มข้น SO₂

V = ค่าแรงดันไฟฟ้าตอบสนอง

จากสมการ 10 สร้างโปรแกรมในไมโครคอนโทรลเลอร์ PIC16F887 สำหรับประมวลเมื่อทราบค่าแรงดันไฟฟ้าตอบสนอง (V) จากหน่วยตรวจวัด หน่วยประมวลผลจะสามารถคำนวณความเข้มข้น SO₂ (V) และแสดงผลเป็นตัวเลขในหน่วย ppm ได้แบบอัตโนมัติ

ตาราง 6 การเปรียบเทียบความเข้มข้น SO₂ จากการใช้อุปกรณ์ตรวจวัดกับการไทยเกรตในการทดสอบระดับห้องปฏิบัติการ

ระดับความเข้มข้น SO ₂ (ppm)	ระดับความเข้มข้น SO ₂ จากอุปกรณ์ (ppm)	ระดับความเข้มข้น SO ₂ จากการไทยเกรต (ppm)
2,000	1,922 ±126.47	1,887 (จากการคำนวณ)
4,000	3,556 ±85.11	3,264 ±1,264.14
6,000	5,281 ±109.16	5,712 ±1,264.14
8,000	7,330 ±104.19	8,160 ±1,264.14
10,000	8,966 ±95.85	8,976 ±1,264.14
12,000	11,092 ±86.76	11,424 ±1,264.14
14,000	13,299 ±127.02	13,056 ±1,264.14
16,000	15,154 ±163.21	14,688 ±0
18,000	16,582 ±157.80	16,320 ±1,264.14
20,000	18,547 ±150.76	18,768 ±1,264.14

*ค่าเฉลี่ย ± ค่าเบี่ยงเบนมาตรฐาน จากการทดลอง 3 ครั้ง

จากการ 6 พบว่าค่าความคลาดเคลื่อนที่ได้จากการไทยเกรตมีเพียงค่าเดียว คือ ±1,264 ppm และที่ระดับความเข้มข้น 16,000 ppm ค่าความคลาดเคลื่อนของการไทยเกรตค่า ±0 เนื่องจากกระบวนการของวิธีการไทยเกรตที่ใช้สารละลายไฮโดรเจนเปอร์ออกไซด์ในการดักจับ SO₂ และใช้ปริมาณสารละลายมาตรฐานโซเดียมไฮดรอกไซด์ในการไทยเกรตมาคำนวณเป็นความเข้มข้น (สมการ 2) โดย ±0.1 ml ของสารละลายมาตรฐานโซเดียมไฮดรอกไซด์ ทำให้เกิดความคลาดเคลื่อน ±2,448 ppm จึงทำให้การไทยเกรตมีความละเอียดค่าและทำให้เกิดค่าความคลาดเคลื่อนดังตาราง 6 และเมื่อเปรียบเทียบค่าความคลาดเคลื่อนเฉลี่ย พบว่าค่าที่ได้จากการไทยเกรตเฉลี่ยอยู่ที่ ±1,444 ppm หรือร้อยละ 8.02 ตลอดช่วงการวัด ซึ่งมีค่าสูงกว่าค่าที่ได้จากอุปกรณ์ตรวจวัดที่มีความคลาดเคลื่อนเฉลี่ย ±121 ppm หรือร้อยละ 0.67 ตลอดช่วงการวัด ดังนั้นอุปกรณ์ตรวจวัดจึงมีความความคลาดเคลื่อนในการตรวจวัดค่ากว่าการไทยเกรต นำข้อมูลจากห้องปฏิบัติการไปสร้างโปรแกรมและบรรจุลงในหน่วยประมวลผล เพื่อใช้ประมวลผลค่าความเข้มข้น SO₂ ด้วยไมโครคอนโทรลเลอร์ PIC16F887 และแสดงผลเป็นตัวเลขในหน่วย ppm ทำการทดสอบเบื้องต้นกับห้องรน SO₂ กับผลลัพธ์ส่วนตัวที่ทดสอบระดับอุคสาวกรณ์ โดยสุ่มตัวอย่าง SO₂ ด้วยกระบวนการฉีดยาจากห้องรน 2 มิลลิลิตร ทุกๆ 10 นาที ตลอดระยะเวลาในการรน 60 นาที จำนวน 2 ครั้ง ได้ผลการทดสอบเบื้องต้นดังตาราง 7

ตาราง 7 การเปรียบเทียบความเข้มข้น SO_2 จากการใช้อุปกรณ์ตรวจวัดกับการไทยเทรตทุกๆ 10 นาที ในการทดสอบเบื้องต้น ครั้งที่ 1

เวลา (นาที)	การทดสอบอุปกรณ์เบื้องต้นกับห้องร่ม SO_2 กับผลลัพธ์ ครั้งที่ 1		
	ความเข้มข้น SO_2 จาก อุปกรณ์ (ppm)	ความเข้มข้น SO_2 จาก การไทยเทรต (ppm)	% คลาดเคลื่อน (%)
0	23,393	23,664	1.06
10	21,672	23,664	8.34
20	17,630	19,584	9.98
30	11,941	13,056	8.54
40	8,639	9,792	11.77
50	6,045	7,344	17.69
60	4,564	4,896	6.78

* ในแต่ละช่วงเวลาของแต่ละครั้งในการทดสอบสามารถเก็บข้อมูลได้เพียงครั้งเดียว

ตาราง 8 การเปรียบเทียบความเข้มข้น SO_2 จากการใช้อุปกรณ์ตรวจวัดกับการไทยเทรตทุกๆ 10 นาที ในการทดสอบเบื้องต้น ครั้งที่ 2

เวลา (นาที)	การทดสอบอุปกรณ์เบื้องต้นกับห้องร่ม SO_2 กับผลลัพธ์ ครั้งที่ 2		
	ความเข้มข้น SO_2 จาก อุปกรณ์ (ppm)	ความเข้มข้น SO_2 จาก การไทยเทรต (ppm)	% คลาดเคลื่อน (%)
0	10,330	9,792	5.49
10	11,509	12,240	5.97
20	10,698	11,424	6.36
30	11,046	10,608	4.13
40	10,072	9,792	2.86
50	9,085	9,792	7.22
60	8,027	8,160	1.63

* ในแต่ละช่วงเวลาของแต่ละครั้งในการทดสอบสามารถเก็บข้อมูลได้เพียงครั้งเดียว

จากการ 7 และ 8 เป็นผลจากการทดสอบอุปกรณ์เบื้องต้น โดยในการทดสอบครั้งที่ 1 และครั้งที่ 2 พบว่าปริมาณ SO_2 ที่ตรวจวัดได้จากอุปกรณ์เมื่อเปรียบเทียบกับการไทยเกรดแล้วพบว่ามีร้อยละความคลาดเคลื่อนเฉลี่ย 9.16 และ 4.81 ตามลำดับ โดยความคลาดเคลื่อนที่เกิดขึ้นสามารถยอมรับได้ เมื่อจากมีค่าไม่เกินช่วงความคลาดเคลื่อนจากความละเอียดของการไทยเกรดที่มีความคลาดเคลื่อน $\pm 2,448 \text{ ppm}$ หรือร้อยละ 26.23 ตลอดช่วงการวัด 2,000 ถึง 20,000 ppm และเมื่อเปรียบเทียบในด้านของเวลาที่ใช้ในการตรวจวัดพบว่า อุปกรณ์ตรวจวัดสามารถตรวจวัด SO_2 ได้เร็วกว่าการตรวจด้วยวิธีการไทยเกรด โดยเวลาในการตรวจวัดเฉลี่ยตั้งแต่สูงตัวอย่าง SO_2 จนถึงสุดกระบวนการตรวจวัดด้วยการทำความสะอาดอุปกรณ์ของอุปกรณ์เท่ากับ 5 นาที ซึ่งใช้เวลาอ่อนข้อกว่าการไทยเกรดที่ใช้เวลาในการตรวจวัดเฉลี่ย 12.3 นาที ดังตาราง 9 ซึ่งในการตรวจวัดและประเมินผลอุปกรณ์ตรวจวัด SO_2 เป็นแบบอัตโนมัติ ในขณะที่การตรวจวัดด้วยวิธีการไทยเกรดต้องปฏิบัติโดยผู้วิจัย โดยในการตรวจด้วยการไทยเกรดจะต้องมีการเตรียมอุปกรณ์และสารเคมีที่ใช้เวลามากกว่า 1 ชั่วโมง ซึ่งในการใช้อุปกรณ์ตรวจวัด SO_2 ไม่จำเป็นต้องมีขั้นตอนดังกล่าว อุปกรณ์ตรวจวัด SO_2 ที่พัฒนาขึ้นจึงมีความสะดวกและรวดเร็วในการตรวจวัดมากกว่าการไทยเกรด

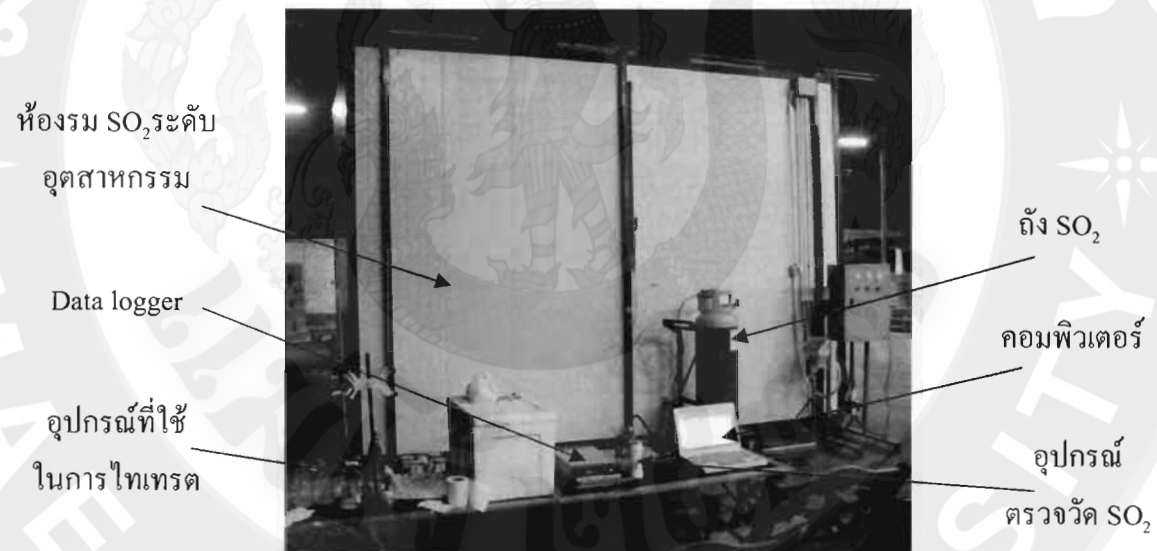
ตาราง 9 ระยะเวลาที่ใช้ในการตรวจวัดด้วยอุปกรณ์กับการไทยเกรด

ขั้นตอนการตรวจวัด	ระยะเวลาการใช้อุปกรณ์	ระยะเวลาการไทยเกรด
	ตรวจวัด (นาที)	(นาที)
-สู่นตัวอย่าง SO_2	0.1	0.3
-ตรวจวัดและประเมินผล	0.4 (อัตโนมัติ)	7 (ปฏิบัติโดยผู้วิจัย)
-ทำความสะอาดอุปกรณ์	4.5	5
หลังจากตรวจวัดในแต่ละครั้ง	(เปิดฝ้าและใช้พัดลมไล่อากาศ)	(ล้างทำความสะอาดด้วยน้ำ)
รวม	5	12.3

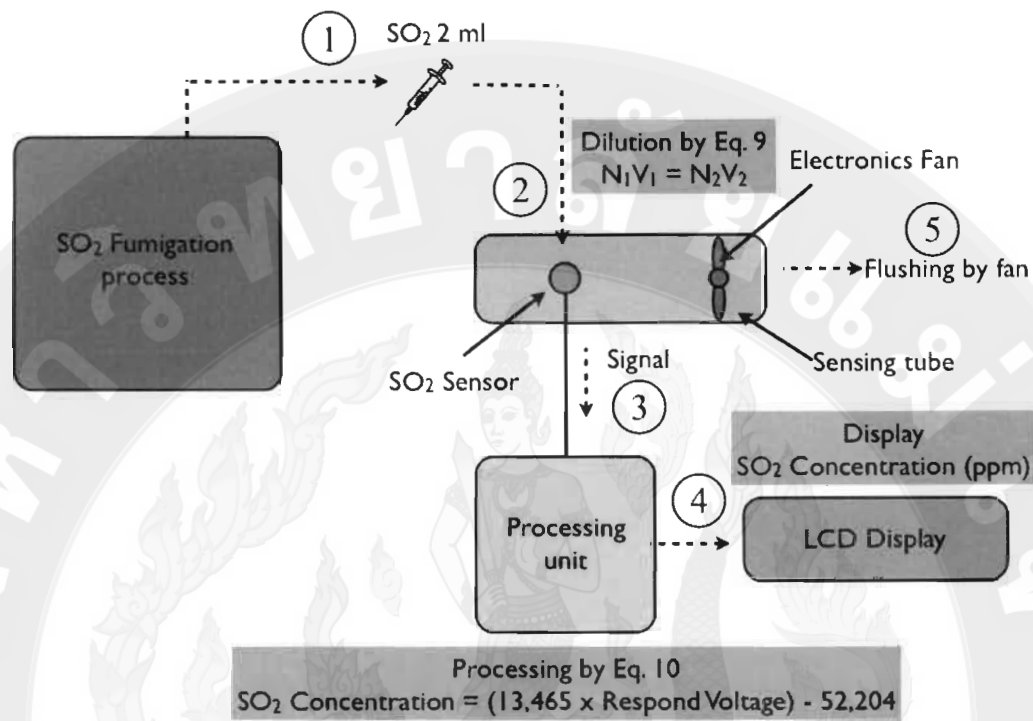
ผลการทดสอบ การเก็บข้อมูลภาคสนาม และวิเคราะห์

ผลการทดสอบภาคสนามของอุปกรณ์ตรวจวัด SO_2 ความเข้มข้นสูงกับห้องร่ม SO_2 กับผลคำไวยสค์แบบบังคับระดับอุตสาหกรรม ที่อ้ากออก omnithong จังหวัดเชียงใหม่ (ภาพ 42) ในระหว่างการร่ม SO_2 กับคำไวยสค์พันธุ์ดอ ประมาณ 4,500 กิโลกรัม ใช้ SO_2 จากถังอัดความดัน โดย

สูมตัวอย่าง SO_2 ด้วยกรอบอกนีดจากห้องรน 2 มิลลิลิตร ทุกๆ 10 นาที ตลอดระยะเวลาในการรน 60 นาที และปล่อย SO_2 เข้าสู่ห้องน้ำยตรวจวัด SO_2 ส่งค่าการตอบสนองเป็นแรงดันไฟฟ้าไปยังหน่วยประมวลผลและแสดงค่าความเข้มข้นเป็นตัวเลขในหน่วย ppm ผ่านจอแสดงผลแบบ LCD 16×2 นำค่าความเข้มข้นที่ได้จากอุปกรณ์ตรวจวัดเปรียบเทียบที่ได้จากอุปกรณ์ตรวจวัดกับการไทเกรตโดยมีขั้นตอนการทำงาน การประมวลผล และการแสดงผล ของอุปกรณ์ตรวจวัด SO_2 ดังภาพ 43 ซึ่งทำการทดสอบจำนวน 3 ครั้ง ใช้ความเข้มข้นเมื่อสิ้นสุดการรนที่ 6,000 ppm 8,000 ppm และ 12,000 ppm ได้ผลการทดสอบภาคสนามดังตาราง 10 ถึง 12 ตามลำดับ ซึ่งในการทดสอบภาคสนามสามารถเก็บข้อมูลในแต่ละช่วงเวลาได้เพียงค่าเดียวเท่านั้น เนื่องจากระยะเวลาในการตรวจวัดด้วยอุปกรณ์ตรวจวัด SO_2 1 ครั้ง จะใช้เวลา 5 นาที ซึ่งในการสูมตัวอย่าง SO_2 จะสูมทุกๆ 10 นาที จึงทำให้ตรวจวัดค่าความเข้มข้นของ SO_2 ได้เพียงครั้งเดียวเท่านั้น



ภาพ 42 การเก็บข้อมูลภาคสนามกับห้องรน SO_2 กับผลลำไyiสคระดับอุตสาหกรรม



ภาพ 43 ขั้นตอนการทำงานและการประมวลผลของอุปกรณ์ตรวจวัด SO₂

จากภาพ 43 ทำการสูมตัวอย่าง โดยใช้ระบบอกนิคยาสูมตัวอย่าง SO₂ ในอากาศ จากห้องร่ม SO₂ ในระหว่างกระบวนการรرم SO₂ กับผลลัพธ์ 2 มิลลิลิตร (ตำแหน่งที่ 1 ใน ภาพ 43) และปล่อยเข้าไปในหน่วยตรวจวัด SO₂ (ตำแหน่งที่ 2 ใน ภาพ 43) โดยทำการเจือจางความเข้มข้นของ SO₂ (Dilute) ด้วยสมการ 9 เพื่อให้เซนเซอร์ SO₂ ที่บรรจุอยู่ภายในสามารถตรวจวัด SO₂ ได้ จากนั้นอุปกรณ์ตรวจวัดจะคำนวณ SO₂ และส่งค่าตอบสนองไปยังหน่วยประมวลผล (ตำแหน่งที่ 3 ใน ภาพ 43) โดยนำค่าแรงดันไฟฟ้าตอบสนองมาประมวลผลโดยใช้สมการ 10 เพื่อคำนวณค่าความเข้มข้นของ SO₂ จากค่าแรงดันไฟฟ้าตอบสนอง และแสดงผลเป็นตัวเลขความเข้มข้นในหน่วย ppm ผ่านจอแบบ LCD 16 × 2 (ตำแหน่งที่ 4 ใน ภาพ 43) และหลังจากการตรวจวัดในแต่ละครั้งจะทำการปล่อย SO₂ ในหน่วยตรวจวัดทิ้ง โดยพัดลมที่อยู่ภายในระบบจะทำการไล่ SO₂ ออกมานา (ตำแหน่งที่ 5 ใน ภาพ 43) เมื่อค่าที่วัดได้เป็นศูนย์จะทำการตรวจวัดในครั้งต่อไป

ตาราง 10 ความเข้มข้น SO₂ จากการใช้อุปกรณ์ตรวจวัดกับการไทยเกรตทุกๆ 10 นาที ความเข้มข้นเมื่อสิ้นสุดการรั่ว 6,000 ppm

เวลา (นาที)	ความเข้มข้น SO ₂ จากอุปกรณ์ (ppm)			ความเข้มข้น SO ₂ จากการไทยเกรต (ppm)		
	ครั้งที่ 1	ครั้งที่ 2	ครั้งที่ 3	ครั้งที่ 1	ครั้งที่ 2	ครั้งที่ 3
0	17,284	24,863	25,776	18,768	26,112	25,296
10	17,294	25,209	24,543	18,360	25,296	24,480
20	13,919	20,835	21,584	12,240	22,848	22,848
30	11,137	13,712	14,086	11,424	14,688	13,056
40	6,035	9,968	10,586	7,344	11,424	11,404
50	8,017	8,529	8,736	8,538	9,792	9,732
60	5,932	6,257	6,561	7,344	7,344	7,344

*ในแต่ละช่วงเวลาของแต่ละครั้งในการทดสอบสามารถเก็บข้อมูลได้เพียงครั้งเดียว

ตาราง 11 ความเข้มข้น SO₂ จากการใช้อุปกรณ์ตรวจวัดกับการไทยเกรตทุกๆ 10 นาที ความเข้มข้นเมื่อสิ้นสุดการรั่ว 8,000 ppm

เวลา (นาที)	ความเข้มข้น SO ₂ จากอุปกรณ์ (ppm)			ความเข้มข้น SO ₂ จากการไทยเกรต (ppm)		
	ครั้งที่ 1	ครั้งที่ 2	ครั้งที่ 3	ครั้งที่ 1	ครั้งที่ 2	ครั้งที่ 3
0	19,713	23,639	22,675	24,480	25,296	25,296
10	31,170	23,274	24,270	32,640	26,928	28,560
20	25,695	19,681	21,795	26,928	22,032	21,216
30	16,962	15,597	18,247	20,400	17,952	18,768
40	14,646	11,224	14,945	17,136	13,872	17,136
50	10,845	9,686	12,629	13,056	12,240	13,056
60	8,317	8,272	8,987	10,608	9,792	9,792

*ในแต่ละช่วงเวลาของแต่ละครั้งในการทดสอบสามารถเก็บข้อมูลได้เพียงครั้งเดียว

ตาราง 12 ความเข้มข้น SO_2 จากการใช้อุปกรณ์ตรวจวัดกับการไทยเทรตทุกๆ 10 นาที ความเข้มข้นเมื่อสิ้นสุดการรบ 12,000 ppm

เวลา (นาที)	ความเข้มข้น SO_2 จากอุปกรณ์ (ppm)			ความเข้มข้น SO_2 จากการไทยเทรต (ppm)		
	ครั้งที่ 1	ครั้งที่ 2	ครั้งที่ 3	ครั้งที่ 1	ครั้งที่ 2	ครั้งที่ 3
0	26,749	27,510	27,719	31,008	29,376	29,376
10	30,223	24,852	35,127	35,904	26,112	36,720
20	25,045	22,819	30,386	26,112	26,928	29,376
30	18,865	18,686	23,664	22,848	21,216	24,480
40	14,267	13,893	19,572	15,504	17,136	19,584
50	12,179	10,568	14,723	13,872	15,504	15,912
60	11,536	8,940	12,209	11,424	11,424	11,424

*ในแต่ละช่วงเวลาของแต่ละครั้งในการทดสอบสามารถเก็บข้อมูลได้เพียงครั้งเดียว

จากตาราง 10 ถึง 12 พบว่า ความเข้มข้นเริ่มต้นในกระบวนการรบ SO_2 กับผลลำไยสด มีค่ามากกว่า 20,000 ppm เนื่องจากปริมาณความเข้มข้นที่ใช้ในกระบวนการรบจะเข้มข้นอยู่กับปริมาณลำไย ที่ต้องการจะรบ แต่อุปกรณ์ตรวจวัดยังสามารถตรวจวัดได้จนสิ้นสุดการรบ โดยความเข้มข้น SO_2 ที่ได้จากอุปกรณ์ตรวจวัดเมื่อเปรียบเทียบกับการไทยเทรตแล้วพบว่ามีแนวโน้มไปในทิศทางเดียวกัน และค่าความเข้มข้นสุดท้ายจากอุปกรณ์ตรวจวัดใกล้เคียงกับความเข้มข้นสุดท้ายที่ต้องการมากกว่าการไทยเทรต ซึ่งในการรบแต่ละครั้ง อาจจะเกิดความคลาดเคลื่อน เนื่องจากลำไยที่เข้าร่มมีลักษณะที่แตกต่างกันออกไปในแต่ละรอบ แต่เมื่อพิจารณาในด้านของการตรวจวัด เปรียบเทียบระหว่างค่าความเข้มข้น SO_2 ที่ได้จากอุปกรณ์ตรวจวัดกับการไทยเทรต โดยการวิเคราะห์ทางสถิติแบบ Repeated measurement พบร่วมกับความแตกต่างกันทางสถิติที่ระดับนัยสำคัญ 0.05 (ตาราง 13) และทำให้ทราบถึงแนวโน้มของการตรวจวัดได้ ดังภาพ 44

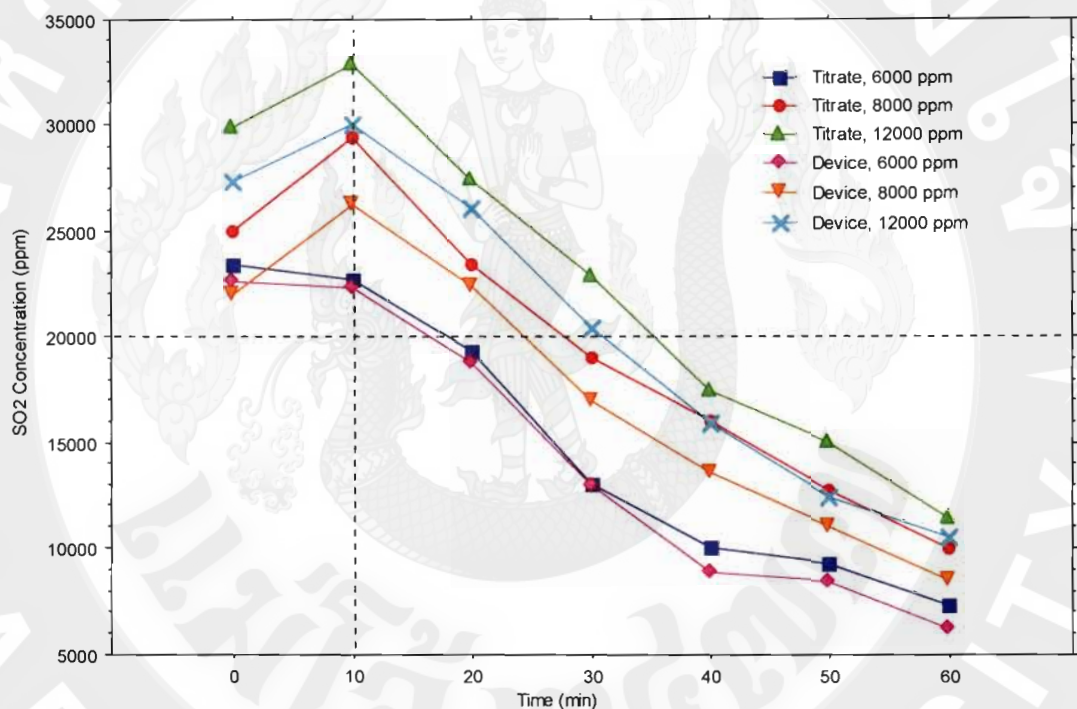
ตาราง 13 ผลการวิเคราะห์ทางสถิติแบบ Repeated measurement ของอุปกรณ์ตรวจวัดในการทดสอบภาคสนาม

แหล่งความแปรปรวน	DF	Sum of Squares	Mean Square	F-value	P-value
ความแปรปรวนระหว่างกลุ่ม					
อิทธิพลจากปัจจัยของวิธีการตรวจวัด	1	83288593.12	83288593.1	3.673	0.0794
อิทธิพลจากระดับความเข้มข้นเมื่อสิ้นสุดการรرم	2	956995490.11	478497745.0	21.101	0.0001*
อิทธิพลจากการทดลองช้า	2	96981986.73	48490993.3	2.138	0.1606
ความแปรปรวนภายในกลุ่ม					
อิทธิพลจากปัจจัยเวลา	6	5420350969.98	903391828.3	278.567	<0.0001*
อิทธิพลร่วมระหว่างเวลา กับวิธีการตรวจวัด	6	5182130.87	863688.4	0.266	0.9508
อิทธิพลร่วมระหว่าง ระดับความเข้มข้นเมื่อ สิ้นสุดการรرمกับเวลา	12	100214466.44	8351205.5	2.575	0.0067*
อิทธิพลร่วมระหว่างเวลา กับการทดลองช้า	12	62859596.82	5238299.7	1.615	0.1065

* = ค่าทางสถิติเด็กต่างกันอย่างมีนัยสำคัญเมื่อ $p < 0.05$

จากตาราง 13 เมื่อวิเคราะห์ทางสถิติโดยพิจารณาจากอิทธิพลร่วมต่างๆพบว่า อิทธิพลของระดับความเข้มข้นเมื่อสิ้นสุดการรرمมีความแตกต่างทางสถิติ ($p < 0.05$) เนื่องจาก ต้องการใช้ระดับความเข้มข้นเมื่อสิ้นสุดการรرمที่แตกต่างกันที่ 6,000 ppm 8,000 ppm และ 12,000 ppm อิทธิพลจากการทดลองช้าไม่มีความแตกต่างทางสถิติ ($p \geq 0.05$) จากการทดลองรرم SO_2 กับ ลำไยสดจำนวน 3 ครั้ง ในแต่ละระดับความเข้มข้นสุดท้ายเมื่อสิ้นสุดการรرم อิทธิพลจากปัจจัยเวลา มีความแตกต่างทางสถิติ ($p < 0.05$) เนื่องจากระดับความเข้มข้นจะมีแนวโน้มลดลงตั้งแต่เริ่มต้นจน สิ้นสุดกระบวนการ (ภาพ 44) ค่าความเข้มข้นในแต่ช่วงเวลาจึงมีความแตกต่างกัน อิทธิพลร่วม ระหว่างเวลา กับวิธีการตรวจวัด ไม่มีความแตกต่างทางสถิติ ($p \geq 0.05$) แสดงว่าค่าความเข้มข้นในการ ตรวจวัดจากอุปกรณ์กับการ ไฟเทอร์ตในแต่ละช่วงเวลาและระดับความเข้มข้นเมื่อสิ้นสุดการรرم ไม่นี

ความแตกต่างกัน อิทธิพลร่วมระหว่างระดับความเข้มข้นเมื่อสิ้นสุดการรมกับเวลา มีความแตกต่างทางสถิติ ($p<0.05$) เนื่องจากต้องการใช้ระดับความเข้มข้นเมื่อสิ้นสุดการรมที่แตกต่างกันที่ 6,000 ppm 8,000 ppm และ 12,000 ppm โดยที่ใช้เวลาในการรม 60 นาทีเท่ากัน ทำให้มีระดับความเข้มข้นที่แตกต่างกันในแต่ละช่วงเวลาตั้งแต่เริ่มต้นจนสิ้นสุดกระบวนการ อิทธิพลร่วมระหว่างเวลา กับการทดลองซ้ำไม่มีความแตกต่างทางสถิติ ($p\geq0.05$) แสดงว่าในการทดลองซ้ำจำนวน 3 ครั้งในแต่ละช่วงเวลาของการตรวจวัดและระดับความเข้มข้นเมื่อสิ้นสุดการรมไม่มีความแตกต่างกัน



ภาพ 44 แนวโน้มของการตรวจวัดความเข้ม SO₂ ที่ได้จากอุปกรณ์ตรวจวัดเปรียบเทียบกับการไทเรต

จากการ 44 พบว่าในช่วง 10 นาทีแรกของกระบวนการ ค่าความเข้มข้น SO₂ มีแนวโน้มเพิ่มมากขึ้น เนื่องจากหลังจากมีการปล่อย SO₂ เข้าสู่ห้องรม SO₂ ยังกระจายตัวได้ไม่ทั่วทั้งห้องรม แต่หลังจากนั้น ค่าความเข้มข้นของ SO₂ มีแนวโน้มลดลงเรื่อยๆ จนสิ้นสุดกระบวนการ เมื่อเปรียบเทียบค่าที่ได้จากอุปกรณ์ตรวจวัดกับค่าที่ได้จากการไทเรตแล้ว พบว่า มีแนวโน้มไปในทิศทางเดียวกัน ทั้ง 3 สภาพ คือ ความเข้มข้นเมื่อสิ้นสุดการรม ที่ 6,000 ppm 8,000 ppm และ 12,000 ppm และเมื่อหารูปแบบ SO₂ ตกค้างในเปลือกและเนื้อ ตามวิธี Modified Monier-Williams Method ได้ผลดังตาราง 14

ตาราง 14 ปริมาณ SO_2 ตกค้างในเปลือกและเนื้อ ตามวิธี Modified Monier-Williams

ระดับความเข้มข้น SO_2 เมื่อสิ้นสุดการรرم (ppm)	ระดับความเข้มข้น SO_2 เมื่อสิ้นสุดการรرمที่วัด ได้จากอุปกรณ์ (ppm)	ปริมาณ SO_2 ตกค้างในเนื้อ (ppm)	ปริมาณ SO_2 ตกค้างในเปลือก (ppm)
6,000	6,250 \pm 314.56	43.50 \pm 1.78	1,863.90 \pm 140.20
8,000	8,525 \pm 400.45	72.80 \pm 31.73	1,926.20 \pm 10.41
12,000	10,895 \pm 1,726.20	92.50 \pm 22.53	2,143.10 \pm 137.62

จากตาราง 14 พบร่วมกันว่า ความเข้มข้นของ SO_2 หลังสิ้นสุดการรرمที่ระดับสูง จะส่งผลให้มีค่าปริมาณการตกค้างของ SO_2 ในเปลือกและเนื้อสูง ส่วนกรณีความเข้มข้นของ SO_2 หลังสิ้นสุดการรرمที่ระดับต่ำ ค่าปริมาณการตกค้างของ SO_2 ในเปลือกและเนื้อก็จะมีค่าลดลงตามไปด้วย ซึ่งมีความสอดคล้องกับค่าความเข้มข้นที่ตรวจวัดได้จากอุปกรณ์ โดยที่ความเข้มข้น 12,000 ppm พบร่วมกับค่าที่ได้จากอุปกรณ์มีความคลาดเคลื่อนสูง ซึ่งอาจจะเกิดจากความผิดพลาดในการสุ่มตัวอย่างและการบันทึกการณ์ได้ แต่มีอิทธิพลจากค่าความคลาดเคลื่อนแล้วค่าที่ตรวจวัดได้ก็ยังคงอยู่ในช่วงที่ยอมรับได้ โดยช่วงความคลาดเคลื่อนบังอยู่ในช่วงของระดับของความละเอียดในการไฟเกรดที่ $\pm 2,448$ ppm และบังคับมีความสอดคล้องกับปริมาณ SO_2 ตกค้างในเนื้อและในเปลือกอย่างเหมาะสม โดยสอดคล้องกับงานวิจัยของ จักรพงษ์ และคณะ (2553) พบร่วมกับการใช้ SO_2 จากถังอัดความดันโดยตรงที่ระดับความเข้มข้นของ SO_2 หลังสิ้นสุดการรرمสูง ทำให้มีปริมาณ SO_2 ตกค้างในเปลือกถูกมากกว่าระดับความเข้มข้นของ SO_2 หลังสิ้นสุดการรرمต่ำ เมื่อจากการใช้ความเข้มข้นของ SO_2 ที่สูงย่อมทำให้มีปริมาณ SO_2 ตกค้างสูงกว่าการใช้ความเข้มข้นของ SO_2 ที่ต่ำ

ผลการคำนวณค่าความไม่แน่นอนในการวัด

ในการคำนวณค่าความไม่แน่นอนของอุปกรณ์ตรวจวัดได้ทำการคำนวณจากแหล่งความไม่แน่นอนต่างๆ ที่อาจจะเกิดขึ้น ได้แก่ การใช้งานอุปกรณ์ตรวจวัด SO_2 ความเข้มข้นสูงในระหว่างการรرم SO_2 กับผลลัพธ์สอดคล้องกับผลลัพธ์ที่มาของความไม่แน่นอนโดยรวม รายละเอียดดังต่อไปนี้

ความไม่แน่นอนจากการทดลองช้า

ความไม่แน่นอนจากการทดลองช้าสามารถคำนวณได้จากค่าส่วนเบี่ยงเบนมาตรฐาน ± 0.00868 VDC คำนวณเป็นค่าความเข้มข้นได้เท่ากับ 121 ppm กับจำนวนข้อมูลทั้งหมด 330 ข้อมูล ดังนี้

$$U_A = \frac{121}{\sqrt{330}}$$

$$U_A = 6.66 \text{ ppm}$$

ความไม่แน่นอนจากในส่วนเทียบของโซเดียม SO_2

ค่าความเข้มข้น SO_2 ที่ไม่แน่นอนจากในส่วนเทียบของโซเดียม SO_2 เท่ากับ $\pm 5 \text{ ppm}$ สามารถคำนวณเป็นค่าความไม่แน่นอนได้จาก

$$U_{B1} = \frac{U_{certificate}}{2}$$

$$U_{B1} = \frac{5}{2}$$

$$U_{B1} = 2.5 \text{ ppm}$$

ความไม่แน่นอนจากความละเอียด (Resolution) ของโซเดียม SO_2

ค่าความเข้มข้น SO_2 ที่ไม่แน่นอนจากความละเอียดของโซเดียม SO_2 เท่ากับ $\pm 2 \text{ ppm}$ สามารถคำนวณเป็นค่าความไม่แน่นอนได้จาก

$$U_{B2} = \frac{resolution}{2\sqrt{3}}$$

$$U_{B2} = \frac{2}{2\sqrt{3}}$$

$$U_{B2} = 0.58 \text{ ppm}$$

ความไม่แน่นอนจากกระบวนการอุดมคุณภาพ

ในการใช้กระบวนการอุดมคุณภาพเป็นอุปกรณ์ที่ใช้ในการสุ่มตัวอย่าง SO_2 จากห้องรวมอาจมีความไม่แน่นอนจากการสุ่ม ± 0.2 มิลลิลิตร ตามมาตรฐานการวัดของกระบวนการอุดมคุณภาพ สามารถคำนวณเป็นความไม่แน่นอนในหน่วย ppm ที่ระดับความเข้มข้นค่าๆ ได้ดังตาราง 15

ตาราง 15 ค่าความเข้มข้น SO_2 ที่ไม่แน่นอนจากกระบวนการอุดมคุณภาพที่ระดับความเข้มข้น SO_2 2,000 ถึง 20,000 ppm เมื่อมีความคลาดเคลื่อนไป ± 0.2 มิลลิลิตร

ระดับความเข้มข้น SO_2 (ppm)	ความเข้มข้น SO_2 ที่ไม่แน่นอน (ppm)
1,928	± 1.836
3,264	± 3.109
5,712	± 5.440
8,160	± 7.771
8,976	± 8.549
11,424	± 10.880
13,056	± 12.434
14,688	± 13.989
16,320	± 15.543
18,768	± 17.874
รวม	± 97.425

นำค่าความเข้มข้นที่ไม่แน่นอนรวมคำนวณเป็นค่าความไม่แน่นอนได้จาก

$$U_{B3} = \frac{U_{es}}{\sqrt{3}}$$

$$U_{B3} = \frac{97.425}{\sqrt{3}}$$

$$U_{B3} = 56.25 \text{ ppm}$$

ความไม่แน่นอนจากความต้านทานอ้างอิง

ทำการสุ่มตรวจวัดค่าความต้านทานอ้างอิง 1,000 โอห์ม จากร้านขายอุปกรณ์ อิเล็กทรอนิกส์ 3 แห่ง ในจังหวัดเชียงใหม่ พบว่ามีความแตกต่างกัน ± 0.001 โอห์ม สามารถคำนวณ เป็นค่าความเข้มข้นได้ดังนี้

ที่ความต้านทาน 3.972 โอห์ม แรงดันไฟฟ้าตอบสนอง 4.100 V ได้ความเข้มข้น เท่ากับ $(13,465 \times 4.1) - 52,204 = 3,002$ ppm

ที่ความต้านทาน 3.971 โอห์ม แรงดันไฟฟ้าตอบสนอง 4.099 V ได้ความเข้มข้น เท่ากับ $(13,465 \times 4.099) - 52,204 = 2,988$ ppm

ที่ความต้านทาน 3.973 โอห์ม แรงดันไฟฟ้าตอบสนอง 4.101 V ได้ความเข้มข้น เท่ากับ $(13,465 \times 4.101) - 52,204 = 3,016$ ppm

ดังนั้นที่ค่าความต้านทาน ± 0.001 โอห์ม สามารถคำนวณเป็นค่าความเข้มข้นไม่ แน่นอนได้เท่ากับ ± 14 ppm คำนวณเป็นค่าความไม่แน่นอนได้จาก

$$U_{B4} = \frac{U_{es}}{\sqrt{3}}$$

$$U_{B4} = \frac{14}{\sqrt{3}}$$

$$U_{B4} = 8.08 \text{ ppm}$$

ความไม่แน่นอนจากพัดลมกรวนอากาศ

ความเข้มข้นไม่แน่นอนที่เกิดจากพัดลมกรวนอากาศ กำหนดให้เท่ากับ ± 50 ppm คำนวณเป็นค่าความไม่แน่นอนได้จาก

$$U_{B5} = \frac{50}{\sqrt{3}}$$

$$U_{B5} = 28.87 \text{ ppm}$$

ความไม่แน่นอนจากศูนย์จัย

ความเข้มข้นไม่แน่นอนที่เกิดจากศูนย์จัย กำหนดให้เท่ากับ ± 48.71 ppm อ้างอิงจาก การสุ่มตัวอย่างโดยการใช้ระบบอกนิจชา คำนวณเป็นค่าความไม่แน่นอนได้จาก

$$U_{B6} = \frac{48.71}{\sqrt{3}}$$

$$U_{B6} = 28.12 \text{ ppm}$$

ความไม่แน่นอนจากความละเอียด (Resolution) ของการไฟเกรต

ค่าความเข้มข้น SO_2 ที่ไม่แน่นอนจากความละเอียดของการไฟเกรตเท่ากับ $\pm 2,448 \text{ ppm}$ สามารถคำนวณเป็นค่าความไม่แน่นอนได้จาก

$$U_{B7} = \frac{\text{resolution}}{2\sqrt{3}}$$

$$U_{B7} = \frac{2,448}{2\sqrt{3}}$$

$$U_{B7} = 706.68 \text{ ppm}$$

ความไม่แน่นอนรวมในการวัด

รวมความไม่แน่นอนในการวัดทั้งระบบแสดงได้ดังตาราง 16

ตาราง 16 ค่าความไม่แน่นอนจากแหล่งความไม่แน่นอนในการใช้อุปกรณ์ตรวจวัด

แหล่งที่มาของความไม่แน่นอน	ค่าความเข้มข้น (ppm)	ค่าความไม่แน่นอน (ppm)
การทดลองช้า	± 121	± 6.66
ใบสอบเทียบของเซนเซอร์ SO_2	± 5	± 2.50
ความละเอียดของเซนเซอร์ SO_2	± 2	± 0.58
กระบวนการฉีดยา	± 97.42	± 56.25
ความด้านท่านอ้างอิง	± 14	± 8.08
พัดลมกวนอากาศ	± 50	± 28.87
ผู้วิจัย	± 48.71	± 28.12
ความละเอียดของการไฟเกรต	$\pm 2,448$	± 706.68

จากตาราง 13 สามารถคำนวณความไม่แน่นอนรวมทั้งระบบได้จาก

$$U_c = \sqrt{U_A^2 + U_{B1}^2 + U_{B2}^2 + U_{B3}^2 + U_{B4}^2 + U_{B5}^2 + U_{B6}^2 + U_{B7}^2}$$

$$U_c = \sqrt{(6.66)^2 + (2.5)^2 + (0.58)^2 + (56.25)^2 + (8.08)^2 + (28.87)^2 + (28.12)^2 + (706.68)^2}$$

$$U_c = 710.14 \text{ ppm}$$

ขยายค่าความไม่แน่นอนในการวัดที่ระดับความเชื่อมั่น 95%

$$U_{95\%} = 2 \times U_c$$

$$U_{95\%} = 2 \times 710.14$$

$$U_{95\%} = 1,420.28 \text{ ppm}$$

ดังนั้นค่าความไม่แน่นอนของการใช้อุปกรณ์ตรวจวัด SO_2 ที่ระดับความเชื่อมั่น 95% มีค่าเท่ากับ $\pm 1,420 \text{ ppm}$ หรือคิดเป็นร้อยละ 7.89 ของช่วงการวัด ซึ่งเป็นค่าความไม่แน่นอนที่ยอมรับได้เนื่องจากความไม่แน่นอนที่เกิดขึ้นมีค่าต่ำกว่าความคลาดเคลื่อนเนื่องจากความละเอียดของการไฟเกรต ($\pm 2,448 \text{ ppm}$) และพบว่าค่าความไม่แน่นอนที่มากที่สุดเกิดขึ้นและมีอิทธิพลต่อความไม่แน่นอนโดยรวมคือค่าความไม่แน่นอนจากความละเอียดของการไฟเกรต ซึ่งเป็นวิธีการที่นำมาใช้ในการปรับเทียบของอุปกรณ์ตรวจวัด โดยมีความไม่แน่นอน ± 706.68 หรือร้อยละ 49.79 ของความไม่แน่นอนรวม ดังนั้นการใช้วิธีการหรือเครื่องมือในการปรับเทียบที่มีความละเอียดในการวัดที่สูงขึ้น จะทำให้ค่าความไม่แน่นอนโดยรวมของระบบตรวจวัดลดลงไปด้วย ซึ่งจะส่งผลทำให้ระบบตรวจวัดมีความแม่นยำและมีประสิทธิภาพที่ดีมากขึ้น

การวิเคราะห์เครย์สูคาสตร์ใน การใช้อุปกรณ์ตรวจวัด SO_2 กดแทนการไฟเกรต

หลังจากการทดสอบอุปกรณ์ตรวจวัด SO_2 เพื่อกดแทนการไฟเกรตแล้ว ขั้นตอนต่อไปเป็นการวิเคราะห์ทางเครย์สูคาสตร์เพรียบเทียบระหว่างอุปกรณ์ตรวจวัด SO_2 กับการไฟเกรต (ตาราง 17) โดยมีข้อกำหนดจำนวนครั้งในการตรวจวัดตามอายุการใช้งานของเซนเซอร์ SO_2 ที่สามารถใช้ตรวจวัดได้ทั้งหมด 50 ครั้ง

ตาราง 17 เมรีบันเทียบต้นทุนระหว่างการตรวจด้วยอุปกรณ์ตรวจวัด SO_2 กับการไทยเกรต

อุปกรณ์ตรวจวัด SO_2		การไทยเกรต	
รายการอุปกรณ์	ราคา (บาท)	รายการอุปกรณ์และสารเคมี	ราคา (บาท)
- เชนเชอร์ SO_2	3,000	- NaOH เข้มข้น 10%	2,500
- วงจรแปลงสัญญาณของ เช็นเชอร์ SO_2	6,000	- H_2O_2 เข้มข้น 30 %	7,000
- แพงวงจรหน่วยประมวลผล และแสดงผล	1,000	- อินดิเคเตอร์ (Methylene blue และ Methyl red)	1,500
- ระบบอิกนิคยาที่ใช้ในการสูม ตัวอย่าง SO_2	1,000	- ชุดเครื่องแก้ว เช่น ขวดรูป ชมพู่, ระบบอกรด, ขวดวัสดุ ปริมาตร	9,500
- องค์ประกอบบนภายนอกของ อุปกรณ์ตรวจวัด SO_2	1,000	- ระบบอิกนิคยาที่ใช้ในการสูม ตัวอย่าง SO_2	1,500
รวม	12,000	รวม	22,000

จากตาราง 17 เมื่อเปรียบเทียบต้นทุนในการใช้อุปกรณ์ตรวจวัด SO_2 กับการไทยเกรต โดยใช้อาบุกการใช้งานของ เช็นเชอร์ SO_2 ที่ 50 ครั้ง เป็นข้อกำหนดพบว่า การใช้อุปกรณ์ ตรวจวัด SO_2 มีต้นทุนที่ต่ำกว่า ประมาณ 10,000 บาท และเมื่อตรวจนครम 50 ครั้งแล้วทำการเปลี่ยน เช็นเชอร์ ตรวจวัด SO_2 ในราคา 3,000 บาท เปรียบเทียบกับการซื้อสารเคมีที่ราคา 11,000 บาท การใช้อุปกรณ์ ตรวจวัด SO_2 จะช่วยลดต้นทุนในการตรวจวัดได้ถึง 8,000 บาท และมีจุดศูนย์ทุน เมื่อทำการตรวจทั้งหมด 75 ครั้ง นอกจากนี้ในการตรวจค่า SO_2 ตัวอุปกรณ์ ตรวจวัด SO_2 ใช้ระยะเวลาในการตรวจวัด 5 นาที ในขณะที่ระยะเวลาในการตรวจด้วยวิธีการไทยเกรต ใช้เวลาในการตรวจวัด 12.3 นาที และต้องเตรียมสารเคมีโดยใช้เวลาถึง 2 ชั่วโมง ดังนั้นอุปกรณ์ที่สร้างขึ้นจึงลดระยะเวลาในการตรวจลงได้ถึง 59.35 และเวลาในการเตรียมการ ได้ถึงร้อยละ 91.67

บทที่ 5

สรุปและข้อเสนอแนะ

จากการวิเคราะห์ผลการทดสอบการพัฒนาอุปกรณ์ตรวจวัด SO_2 ความเข้มข้นสูงในกระบวนการรرم SO_2 กับผลลัพธ์สุด เป็นการพัฒนาเพื่อให้ได้อุปกรณ์ตรวจวัด SO_2 ในช่วงความเข้มข้น 2,000 ถึง 20,000 ppm ที่เหมาะสมกับการตรวจวัดในการรرم SO_2 กับผลลัพธ์สุด สามารถสรุปผลการทดสอบพร้อมกับปัญหาที่พบระหว่างการสร้าง และข้อเสนอแนะเพื่อเป็นแนวทางในการศึกษาต่อไป ได้ดังนี้

สรุปผลการทดสอบ

อุปกรณ์ตรวจวัด SO_2 ประกอบไปด้วยสองส่วนคือ หน่วยตรวจวัด SO_2 ประกอบไปด้วย เซนเซอร์วัด SO_2 เชื่อมต่ออยู่กับ Transmitter board บรรจุอยู่ภายในทรงกระบอกปรินามาตร 210 มิลลิเมตร ทำจาก PVC ทนต่อการกัดกร่อนของ SO_2 เมื่อทำการสูมด้าวข้าง SO_2 ด้วยระบบอกนิคยา 2 มิลลิลิตร เข้าสู่หัวนับตรวจวัด SO_2 จะส่งสัญญาณเป็นแรงดันไฟฟ้าไปสู่ส่วนที่สอง คือ หน่วยประมวลผล ที่ประกอบไปด้วย อุปกรณ์แปลงสัญญาณแรงดันไฟฟ้าเป็นดิจิตอลเพื่อส่งเข้าสู่ไมโครคอนโทรลเลอร์ PIC16F887 เพื่อประมวลผลความเข้มข้นของ SO_2 ที่ปรับเทียบระหว่างแรงดันไฟฟ้ากับค่าความเข้มข้นของ SO_2 จากการไฟแทรด และแสดงผลผ่านจอ LCD 16x2 เป็นตัวเลขในหน่วย ppm มีความคลาดเคลื่อนจากการตรวจวัด ± 121 ppm หรือร้อยละ 0.67 มีค่าสัมประสิทธิ์การตัดสินใจ (R^2_{adj}) เท่ากับ 0.99 ตลอดช่วงการวัด 2,000 ถึง 20,000 ppm มีความไม่แน่นอนในการใช้อุปกรณ์ตรวจวัด SO_2 ในระหว่างการรرم SO_2 กับผลลัพธ์สุด $\pm 1,420$ ppm หรือร้อยละ 7.68 ที่ระดับความเชื่อมั่น 95% และเมื่อทำการเปรียบเทียบค่าความเข้มข้นที่ได้จากอุปกรณ์กับการไฟแทรดในระหว่างการรرم SO_2 กับผลลัพธ์สุด ด้วยระบบหมุนเวียนอากาศแบบบังคับระดับอุดสาหกรรม โดยการวิเคราะห์ทางสถิติ พบว่าไม่มีความแตกต่างกันทางสถิติที่ระดับนัยสำคัญ 0.05

ดังนั้นอุปกรณ์ที่สร้างขึ้นจึงเหมาะสมกับใช้ในการตรวจวัดแบบความละเอียดค่อนข้างจากอุปกรณ์ที่สร้างขึ้นมีความไม่แน่นอนสูง ($\pm 1,420$ ppm) ซึ่งปรับเทียบจากการไฟแทรดที่มีความละเอียดในการตรวจวัดค่อนข้าง ($\pm 2,448$ ppm) อุปกรณ์ตรวจวัด SO_2 สามารถใช้ทดสอบการตรวจวัดด้วยการไฟแทรดและการใช้หลอดตรวจวัดได้ เป็นการเพิ่มประสิทธิภาพในการรرم SO_2 กับผลลัพธ์สุด โดยอุปกรณ์ตรวจวัด SO_2 สามารถตรวจวัด ประมวลผล และแสดงผลได้แบบอัตโนมัติ ซึ่งรวดเร็วกว่าการไฟแทรด ที่จะต้องจัดเตรียมสารเคมีและทำการไฟแทรดโดยผู้วิจัย ซึ่งใช้วลามนาน และมีขั้นตอนที่ยุ่งยาก

ข้อจำกัดของการศึกษา

การทำงานวิจัยนี้ปัญหา และอุปสรรคเกิดขึ้นตลอดเวลา ปัญหางานปัญหาสามารถแก้ไขได้ แต่บางปัญหาไม่สามารถแก้ไขได้ จึงได้รวบรวมปัญหาที่พร้อมคำแนะนำในการแก้ปัญหาดังนี้

1. ในการปรับเทียบและการทดสอบไม่สามารถเปรียบเทียบกับเครื่องมือสอนเทียบมาตรฐานได้เนื่องจากมีราคาสูง จึงใช้วิธีการปรับเทียบกับวิธีที่นิยมใช้คือ การไทยเกรตคัลเบอร์ไซร์ 3%
2. การทดสอบภาคสนามไม่สามารถทดสอบได้จำนวนหลายครั้ง เนื่องจากลำไยสดในช่วงการวิจัยมีปริมาณน้อยและมีราคาสูง

ข้อเสนอแนะเพื่อเป็นแนวทางในการศึกษาต่อไป

จากผลการศึกษาที่ผ่านมาพบว่า ยังมีประเด็นที่เห็นควรศึกษาและพัฒนาต่อไปเพื่อเป็นแนวทางในการทำวิจัยในอนาคตต่อไป

1. ลดความคลาดเคลื่อนในการไทยเกรตคัลเบอร์เจ็อจ (Dilute) สารละลายโซเดียมไฮดรอกไซด์เพื่อเพิ่มความละเอียดในการไทยเกรตให้สูงขึ้น
2. ความมีการสอนเทียบกับเครื่องมือมาตรฐานเพื่อเพิ่มประสิทธิภาพความแม่นยำให้อุปกรณ์ตรวจวัดมากขึ้น เช่น เครื่องแยกสารเนื้อเดียวประเกตแกรฟฟิก (Gas Chromatography)
3. งานวิจัยนี้สามารถนำไปประยุกต์ใช้กับการรnm SO₂ กับผลไม้ชนิดอื่นๆ ได้
4. ความมีการออกแบบระบบการทำความสะอาดหลังจากใช้อุปกรณ์ตรวจวัดแล้วเพื่อป้องกันการตกค้างของ SO₂ ที่อาจทำให้การตรวจวัดผิดพลาดได้ โดยใช้ ไนโตรเจน (N₂) ในการพัดออก SO₂ ที่อยู่ในหน่วยตรวจวัดออกไป

แนวทางในการพัฒนาต่อในอนาคต

จากการพัฒนาอุปกรณ์ตรวจวัด SO₂ ความเข้มข้นสูงในกระบวนการรnm SO₂ กับผลลัมไยสด พบว่ายังสามารถพัฒนาต่อไปเพื่อนำไปใช้เป็นเครื่องมือตรวจวัดมาตรฐานสำหรับการรnm SO₂ กับผลไม้สด เพื่อเป็นการเพิ่มประสิทธิภาพและมาตรฐานการรnm SO₂ สร้างความน่าเชื่อถือให้กับผู้ประกอบการ เพื่อการส่งออกผลผลิตไปยังต่างประเทศ โดยการสอนเทียบเทียบเครื่องมือและปรับปรุงองค์ประกอบภายนอกให้ได้ตามหลักมาตรฐานสากล

บรรณานุกรม

- จักรพงษ์ พิมพ์พิมล. 2542. เอกสารประกอบการสอนวิชาเทคโนโลยีหลังการเก็บเกี่ยวผักและผลไม้.
เชียงใหม่: คณะวิศวกรรมและอุตสาหกรรมเกษตร มหาวิทยาลัยแม่โจ้. 189 หน้า.
- จักรพงษ์ พิมพ์พิมล ชาตุพงศ์ วาฤทธิ์ และ สมเกียรติ ชาตุรงค์ล้ำเลิศ. 2550. การรวมชั้ลเพอร์ไಡ
ออกไซด์กับผลิตไบสลดด้วยระบบหมุนเวียนอากาศแบบ forced-air. รายงานวิจัยฉบับ
สมบูรณ์ สำนักงานกองทุนสนับสนุนงานวิจัย. 87 หน้า.
- _____. 2552. การออกแบบห้องรวมชั้ลเพอร์ไಡออกไซด์กับผลิตไบสลดด้วยระบบหมุนเวียน
อากาศแบบ forced-air ในระดับอุตสาหกรรม. รายงานวิจัยฉบับสมบูรณ์ สำนักงาน
กองทุนสนับสนุนงานวิจัย. 32 หน้า.
- ณัฐพงศ์ วิริโย พิชัย จิตตะยิโคธร และพิพัฒน์ ลินปิรุษารณ์. 2545. เครื่องกำจัดก้าชชัลเพอร์ไಡ
ออกไซด์แบบแพคทาวเวอร์. โครงการวิศวกรรมเกษตร. มหาวิทยาลัยแม่โจ้. 111 หน้า.
- ดิตรณ์ นันธีรานุภาพ. 2547. ความไม่แน่นอนในการวัดสำหรับการสอนเกี่ยวกับเครื่องมือวัดทาง
ไฟฟ้า. โครงการฟิสิกส์และวิศวกรรม. 2 มีนาคม 2547. 4 หน้า.
- ธีรนุช เจริญกิจ จักรพงษ์ พิมพิมล และ สุชาดา ทองศรี. 2548. สถานการณ์ตอกตั้งของชัลเพอร์ไಡ
ออกไซด์บนผลิตไบสลดที่จังหวัดเชียงใหม่และลำพูน. เอกสารประกอบการสัมมนาวิชาการ
พืชสวนแห่งชาติ ครั้งที่ 5. 26-29 เมษายน 2548. ชลบุรี.
- พาวิน มะโนซัย และวินัย วิริยะอลงกรณ์. 2543. พันธุ์จำไยในการผลิตจำไย. สิรินาฏการพิมพ์.
เชียงใหม่.
- พิทยา สรวนสิริ และ พาวิน มะโนซัย. 2545. การผลิตจำไยนอกฤดูอย่างมืออาชีพ. ชนบรรณาการ
พิมพ์. เชียงใหม่. 64 หน้า.
- นานัส แจ่มจารุณ. 2545. การวิเคราะห์ชัลเพอร์ไಡออกไซด์ในอากาศ. ภูมิการตรวจสอบโรงงาน
ชัลเพอร์ไಡออกไซด์จำไยสลดสำหรับพนักงานตรวจสอบประเมิน. สถาบันวิจัยวิทยาศาสตร์และ
เทคโนโลยีแห่งชาติ. กรุงเทพฯ.
- รัตน์ อัตตปัญญา. 2535. ชัลเพอร์ไಡออกไซด์และการควบคุมการใช้กับจำไยสลด. รายงานการ
ประชุมสัมมนาเรื่องเทคโนโลยีหลังการเก็บเกี่ยวจำไยเพื่อการส่งออก. คณะเกษตรศาสตร์
มหาวิทยาลัยเชียงใหม่. 26-27 มิถุนายน 2535. เชียงใหม่. หน้า 20-28.
- ศูนย์เทคโนโลยีความปลอดภัยและสิ่งแวดล้อม. 2552. **Tube and pump.** [ระบบออนไลน์].
- แหล่งข้อมูล: <http://www.safetechthailand.net>. (15 ตุลาคม 2553)

สศศรี เนียมเปรม. 2535. เอกสารประกอบการฝึกอบรม เรื่องชัลเฟอร์ไดออกไซด์และการวิเคราะห์หาปริมาณผลตาก้างในลำไส้สด. สถาบันวิจัยวิทยาศาสตร์และเทคโนโลยีแห่งประเทศไทย. กรุงเทพฯ. 78 หน้า.

สุภาพัฒน์ คำวงศ์. มปป. สำนักงานบริการสนับสนุนวิชาการ. กรมส่งเสริมการเกษตร. กรุงเทพมหานคร.

สถาบันอาหาร. 2541. คู่มือการอบรมควัน-อบแห้งลำไย พร้อมวิธีการผลิตและแบบแปลน. กรุงเทพฯ: 74 หน้า.

สวัสดิ์ สินะวิวัฒน์. 2548. ชัลเฟอร์ไดออกไซด์ในอาหาร. โครงการวิทยาศาสตร์ชีวภาพ. กรุงเทพฯ.

สำนักงานมาตรฐานสินค้าเกษตรและอาหารแห่งชาติ. 2546. มาตรฐานลำไย. [ระบบออนไลน์]. แหล่งข้อมูล: <http://www.acfs.go.th/standard/download/longans.pdf>. (11 ธันวาคม 2552)

สำนักงานเศรษฐกิจการเกษตร. 2553ก. นำเข้า-ส่งออกสินค้าเกษตรที่สำคัญ. [ระบบออนไลน์]. แหล่งที่มา http://www.oae.go.th/oae_report/export_import/export_result.php. (11 มกราคม 2553)

_____. 2553ข. สถิติการส่งออกลำไยสดแซ่บแข็ง. [ระบบออนไลน์]. แหล่งข้อมูล: <http://www.oae.go.th/statistic/export/>. (20 มกราคม 2553)

อารีย์ แก้วเสียว. 2552. การตรวจวัดแก๊สโดยใช้หลอดตรวจแก๊ส หรือหลอดชี้บุบ. สำนักงานสิ่งแวดล้อมภาคที่ 6. นนทบุรี.

อิศราศ โภสีบัว. 2547. ความไม่แน่นอนในการวัด. [ระบบออนไลน์]. แหล่งข้อมูล: <http://202.129.59.198/rdi/html/uncer.html>. (26 กันยายน 2553)

Agilent Inc, USA. 2009. **34970A Data Acquisition / Data Logger Switch Unit**. [ระบบออนไลน์]. แหล่งข้อมูล: <http://www.home.agilent.com/agilent/product.jspx?cc=US&lc=eng&ckey=1000001313:epsg:pro&nid=-33640.536881544.00&id=1000001313:epsg:pro>. (19 October 2010)

Alphasense Ltd part, UK. 2009a. **Sulfur dioxide sensors**. [ระบบออนไลน์]. แหล่งข้อมูล: http://www.alphasense.com/alphasense_sensors/sulfur_dioxide_sensors.html.

_____. 2009b. **Transmitter board**. [ระบบออนไลน์]. แหล่งข้อมูล: http://www.alphasense.com/alphasense_sensors/sulfur_dioxide_sensors.html. (19 October 2010)

- Chou J. C. and W. L. Hsia. 2009. Study on the characteristics of the measurement system for pH array sensors. World academy of science. **Engineering and technology** (53).
- Ebarvia S. Benilda, Christina A. Binag and Fortunato Sevilla III. 2001. Surface and potentiometric properties of SO₂ sensor based on a hydrogel coated pH-FET. **Sensors and actuators** (B76). 644-652.
- Electronicsorce Co Ltd, THA. 2008. MCP3551.[ระบบออนไลน์]. แหล่งข้อมูล:
<http://www.es.co.th/detail.asp?Prod=AT89C51AC2%2DRLTUM>. (19 December 2010)
- Getino J., J. Gutierrez, L. Ares, J.I. Robla, M. C. Horrillo, I. Sayago and J. A. Agapito. 1996. Integrated sensor array for gas analysis in combustion atmosprteres. **Sensors and actuators** (B33). 128-133.
- Han D. M., Z. X. Wu, and Z. L. Ji. 2001. Effect of SO₂ treatment on the overall quality of longan fruits (cv.Shixia) during cold storage. **Acta Horticulturae** 558: 375-379.
- Jing-Shan D., and Po-Jen C. 2007. Amperometric sensor array for NO_x, CO, O₂ and SO₂ detection. **Sensors and actuators** (B122). 165-173.
- Lin H. T., S. J. Chen and Q. Z. Hong. 2001. A study of the shelf-life of cold-stored longan fruit. **Acta horticulturae** 558: 353-357.
- Agar, T., S. Paydas and F. Ekinci. 2006. Effect of harvest dates and forced air cooling on Post-harvest quality of apricot cv.Precocia Tyrinthe. **Acta Horticulturae** 701: 577-580.
- Li H., Q. Wang, J. Xu, W. Zhang and L. Jin. 2002. A novel nano-Au-assembled amperometric SO₂ gas sensor: preparation, characterization and sensing behavior. **Sensors and actuators** (B87). 18-24.
- Marzouk A.M. A., Al-Marzouqi H. M. and Baomran M.S.M. S. 2009. Simple analyzer for continuous monitoring of sulfur dioxide in gas streams. **Microchemical: article in press**.
- Microchip Inc, USA. 2009. PIC16F887. [ระบบออนไลน์]. แหล่งข้อมูล: <http://www.microchip.com/wwwproducts/Devices.aspx?dDocName=en010241>. (19 August 2010)
- Pichmaier J. 1995. Compensatio of the influence of humidity on the measurement of an SO₂ sensor by signal processing. **Sensors and actuators** (B26-27). 286-288.

- Plastic Pipe Institute. 2007. Chemical resistance data for thermoplastic piping in non-pressure applications and data table. **Chemical resistance of thermoplastics piping materials** 44:43.
- Professional equipment Inc,USA. 2009. Bacharach PCA 2 Gas Combustion Analyzer. [ระบบออนไลน์]. แหล่งข้อมูล: <http://www.professionalequipment.com/bacharach-pca-2-combustion-gas-analyzer-o2-co-so2-24-8353/sulfur-dioxide-detectors>. (19 April 2010)
- Ravi S. D. and S. Sriman . 1999. Chemically modified sensor for amperometric determination of sulphur dioxide. **Sensors and actuators** (B55). 191-194.
- Ravi S. D., N. Uehera and T. Kato. 2002. Determination of sulfur dioxide based on silver dispersed functional self-assembled electrochemical sensor. **Sensors and actuators** (B87). 442-447.
- Ruan C., K. G. Ong, C. Mungle, M. Paulose, N. J. Nickl and C. A. Grimes. 2003. A wireless pH sensor based on the use of salt-independent micro-scale polymer spheres. . **Sensors and actuators** (B96). 61-69.
- Sriyudthsak M., "Fabrication of Surphur Dioxide Gas Sensor", Proceeding of the 18th Conference on Electrical Engineering, Ambassador City Hotel, Chomtien, Cholburi, 22-24 November 1995.
- Suganuma Shigeaki, Misa Watanabe, Tuyoshi Kobayashi and Shin-ichi Wakabayashi. 1999. SO₂ gas sensor utilizing stabilized zirconia and sulfate salts with a new working mechanism. **Solid state ionics** (126). 175-179
- Syu Mei-Jywan and Jwo-Ying Liu. 1998. Neural network signal detection of an SO₂ electrode. **Sensors and actuators** (B49). 186-194.
- Zhuiykov S. 2000. Development of dual sulfur oxides and oxygen solid state sensor for "in situ" measurements. **Fuel** (79). 1255-1265.





ผลการทดสอบอุปกรณ์ระดับห้องปฏิบัติการ

การทดสอบอุปกรณ์ตรวจวัด SO_2 ระดับห้องปฏิบัติการ ทำโดยการสร้างถังผสม ทรงกระบอกปริมาตร 2,000 มิลลิลิตร สร้างจาก PVC ที่ทนต่อการกัดกร่อนของ SO_2 มีฝาปิดทึบสอง ด้าน มีพัดลมวนอากาศอยู่ภายใน มีรูสำหรับปล่อย SO_2 เข้าสู่ภายใน สร้างขึ้นเพื่อปรับความเข้มข้น SO_2 ให้อยู่ในช่วง 2,000 ถึง 20,000 ppm โดยมีปริมาตรจริง 2,120 มิลลิลิตร โดยการสูบ SO_2 จากถัง อัดความดัน มีปริมาตรในการสูบ SO_2 ด้วยกระบอกฉีดยา เพื่อให้ได้ความเข้มข้นที่ระดับต่างๆ ในช่วง 2,000 ถึง 20,000 ppm ดังตารางผนวก 1

ตารางผนวก 1 ค่าความเข้มข้นที่ปรับได้จากการสูบ SO_2 จากถังอัดความดันในทรงกระบอก

ปริมาตร 2,000 มิลลิลิตร

ปริมาตรในการสูบ SO_2 จาก ถังอัดความดัน(ml)	ค่าความเข้มข้น SO_2 จากการ คำนวณ ((ppm))	ค่าความเข้มข้น SO_2 จากการ ไหเทเรต (ppm)
4	1,887	-
8	3,773	3,264
12	5,660	5,712
16	7,546	8,160
20	9,433	8,976
24	11,320	11,424
28	13,206	13,056
32	15,093	14,688
36	16,979	16,320
40	18,866	18,768

จากนั้นทำการสูบ SO_2 ด้วยกระบอกฉีดยาปริมาตร 2 มิลลิลิตรปล่อยเข้าสู่ห้องวัด ตรวจวัดทรงกระบอกปริมาตร 200 มิลลิลิตร โดยภายในบรรจุเซนเซอร์ SO_2 เชื่อมต่อกับ Data logger Agilent เพื่อบันทึกค่า แรงดันไฟฟ้าตอบสนองของเซนเซอร์ ทุกๆ 1 วินาที และเปรียบเทียบ กับการไหเทเรต โดยได้ผลการทดสอบที่ระดับความเข้มข้นต่างๆ ดังต่อไปนี้

ระดับความเข้มข้น 2,000 ppm ทำการทดสอบจำนวน 3 ครั้ง ได้ผลการทดสอบ
เฉลี่ย ดังตารางผนวก 2 3 และ 4 ตามลำดับ และมีแนวโน้มตั้งภาพผนวก 1 ค่าตอบสนองจะเริ่มคงที่
ในวินาที 31 – 40 ทั้ง 3 ครั้ง

ตารางผนวก 2 ผลการทดสอบแรงดันไฟฟ้าตอบสนองที่ความเข้มข้น 2,000 ppm ครั้งที่ 1

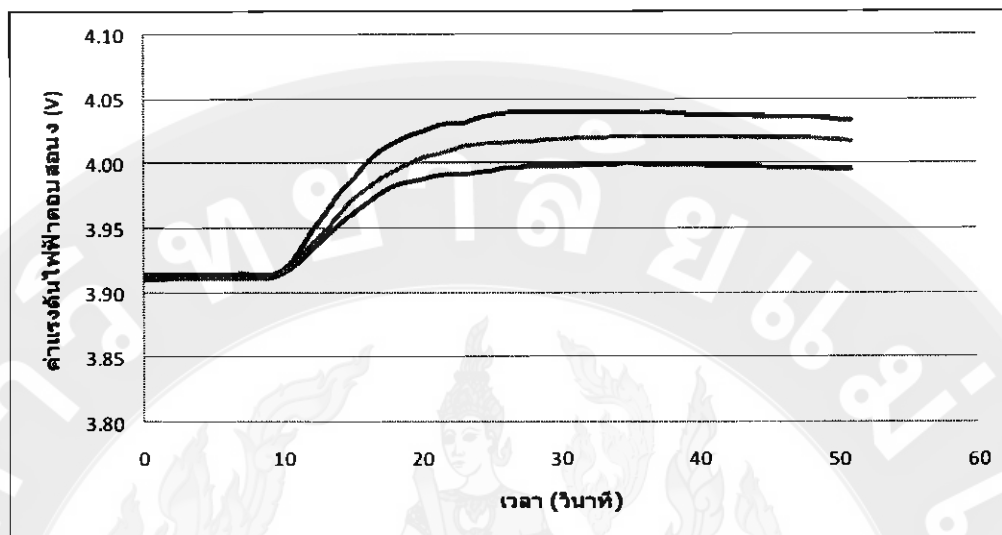
เวลา (s)	ค่าแรงดันไฟฟ้า ตอบสนอง (V)	เวลา (s)	ค่าแรงดันไฟฟ้า ตอบสนอง (V)	เวลา (s)	ค่าแรงดันไฟฟ้า ตอบสนอง (V)
1	3.913202	19	3.994300	37	4.020854
2	3.912948	20	3.999532	38	4.021001
3	3.912937	21	4.004395	39	4.020864
4	3.912589	22	4.007207	40	4.020684
5	3.912314	23	4.009490	41	4.020758
6	3.912472	24	4.013063	42	4.020420
7	3.912874	25	4.014384	43	4.020452
8	3.912758	26	4.015706	44	4.020251
9	3.912441	27	4.016361	45	4.020188
10	3.912811	28	4.017302	46	4.019659
11	3.916003	29	4.017619	47	4.019807
12	3.925400	30	4.018232	48	4.019437
13	3.936278	31	4.018644	49	4.019268
14	3.948117	32	4.019574	50	4.018792
15	3.960854	33	4.019796	51	4.018211
16	3.972852	34	4.020082	52	4.017133
17	3.980611	35	4.020399		
18	3.988581	36	4.020832		

ตารางที่ 3 ผลการทดสอบแรงดันไฟฟ้าตอบสนองที่ความเข้มข้น 2,000 ppm ครั้งที่ 2

เวลา (s)	ค่าแรงดันไฟฟ้า ตอบสนอง (V)	เวลา (s)	ค่าแรงดันไฟฟ้า ตอบสนอง (V)	เวลา (s)	ค่าแรงดันไฟฟ้า ตอบสนอง (V)
1	3.910390	19	3.982662	37	4.000061
2	3.910506	20	3.986182	38	3.999945
3	3.910834	21	3.988148	39	4.000029
4	3.911384	22	3.990981	40	3.999871
5	3.911341	23	3.991953	41	3.999332
6	3.911680	24	3.991964	42	3.998750
7	3.910771	25	3.993602	43	3.998655
8	3.910971	26	3.994723	44	3.998222
9	3.911606	27	3.996382	45	3.998095
10	3.911130	28	3.997144	46	3.997291
11	3.915104	29	3.998179	47	3.997144
12	3.922240	30	3.998201	48	3.996879
13	3.932430	31	3.998518	49	3.996382
14	3.942060	32	3.998444	50	3.996171
15	3.952334	33	3.999226	51	3.996055
16	3.961626	34	3.999490	52	3.995748
17	3.969723	35	3.999786		
18	3.976605	36	4.000114		

ตารางผนวก 4 ผลการทดสอบแรงดันไฟฟ้าตอบสนองที่ความเข้มข้น 2,000 ppm ครั้งที่ 3

เวลา (s)	ค่าแรงดันไฟฟ้า ตอบสนอง (V)	เวลา (s)	ค่าแรงดันไฟฟ้า ตอบสนอง (V)	เวลา (s)	ค่าแรงดันไฟฟ้า ตอบสนอง (V)
1	3.914269	19	4.016012	37	4.039056
2	3.913910	20	4.021414	38	4.039585
3	3.914502	21	4.024553	39	4.039046
4	3.914238	22	4.028972	40	4.038507
5	3.914248	23	4.030674	41	4.037788
6	3.914280	24	4.031435	42	4.037851
7	3.914206	25	4.034828	43	4.037629
8	3.914386	26	4.037862	44	4.037301
9	3.91409	27	4.038496	45	4.036593
10	3.914206	28	4.039458	46	4.036445
11	3.917874	29	4.039564	47	4.036223
12	3.929533	30	4.039976	48	4.035663
13	3.946869	31	4.039997	49	4.035462
14	3.962081	32	4.040103	50	4.034521
15	3.976393	33	4.040293	51	4.033982
16	3.988687	34	4.040325	52	4.033337
17	4.000399	35	4.040293		
18	4.009427	36	4.039796		



ภาพพนวก 1 ผลการทดสอบค่าแรงดันไฟฟ้าตอบสนองที่ระดับความเข้มข้น 2,000 ppm

ทำการไหเทรตจำนวน 6 ครั้ง ที่ระดับความเข้มข้น 2,000 ppm ได้ผลการทดสอบค้างค้างพนวก 5

ตารางพนวก 5 ค่าจากการไหเทรตที่ระดับความเข้มข้น 2,000 ppm

ความเข้มข้น SO_2 จากการไหเทรต					
ครั้งที่ 1	ครั้งที่ 2	ครั้งที่ 3	ครั้งที่ 4	ครั้งที่ 5	ครั้งที่ 6
-	-	-	-	-	-

ที่ระดับความเข้มข้น 2,000 ppm ไม่สามารถทราบค่าได้ เมื่อจากเป็นข้อจำกัดของ การไหเทรต ที่ไม่สามารถวิเคราะห์ความเข้มข้นของ SO_2 ที่ระดับความเข้มข้นต่ำกว่า 4,000 ppm ได้

ระดับความเข้มข้น 4,000 ppm ทำการทดสอบจำนวน 3 ครั้ง ได้ผลการทดสอบเฉลี่ย ค้างาระนวน 6.7 และ 8 ตามลำดับ และมีแนวโน้มคังภาพนวน 2 ค่าตอบสนองจะเริ่มคงที่ในวินาที 31 – 40 ทั้ง 3 ครั้ง

ตารางนวน 6 ผลการทดสอบแรงดันไฟฟ้าตอบสนองที่ความเข้มข้น 4,000 ppm ครั้งที่ 1

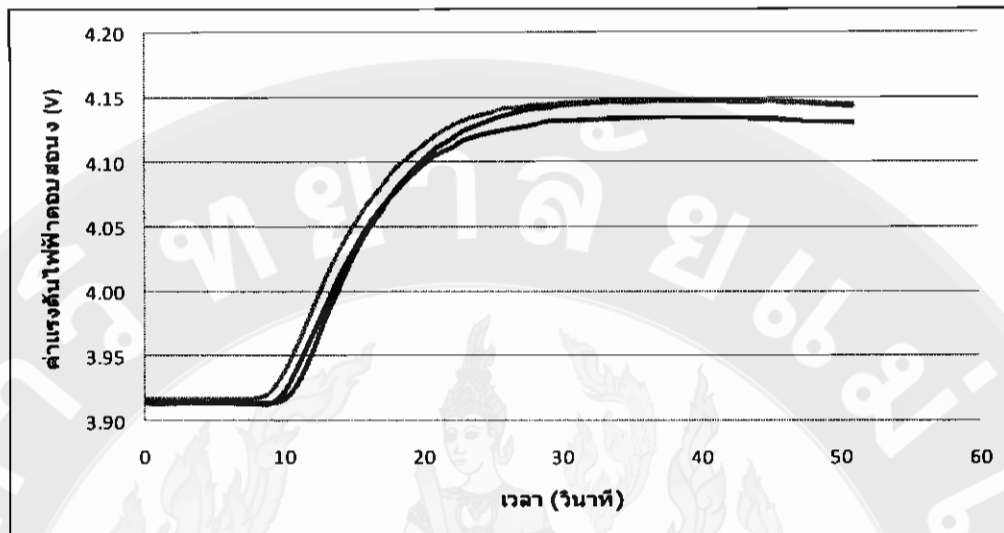
เวลา (s)	ค่าแรงดันไฟฟ้า ตอบสนอง (V)	เวลา (s)	ค่าแรงดันไฟฟ้า ตอบสนอง (V)	เวลา (s)	ค่าแรงดันไฟฟ้า ตอบสนอง (V)
1	3.913815	19	4.078062	37	4.146475
2	3.913307	20	4.090461	38	4.147078
3	3.913730	21	4.101455	39	4.147057
4	3.913794	22	4.110736	40	4.147025
5	3.913762	23	4.116825	41	4.147036
6	3.913910	24	4.123748	42	4.146930
7	3.913995	25	4.128156	43	4.146285
8	3.914217	26	4.132258	44	4.146285
9	3.914100	27	4.135693	45	4.145915
10	3.914111	28	4.138230	46	4.146592
11	3.916246	29	4.140767	47	4.145577
12	3.928170	30	4.141380	48	4.145482
13	3.950231	31	4.143368	49	4.144826
14	3.977672	32	4.144129	50	4.144150
15	4.001604	33	4.144911	51	4.143220
16	4.025843	34	4.145735	52	4.142786
17	4.045451	35	4.146306		
18	4.061054	36	4.145809		

ตารางผนวก 7 ผลการทดสอบแรงดันไฟฟ้าตอบสนองที่ความเรื้อนขึ้น 4,000 ppm ครั้งที่ 2

เวลา (s)	ค่าแรงดันไฟฟ้า ตอบสนอง (V)	เวลา (s)	ค่าแรงดันไฟฟ้า ตอบสนอง (V)	เวลา (s)	ค่าแรงดันไฟฟ้า ตอบสนอง (V)
1	3.913117	19	4.076223	37	4.133812
2	3.913001	20	4.087660	38	4.134002
3	3.913276	21	4.097047	39	4.134266
4	3.913381	22	4.105292	40	4.134340
5	3.913276	23	4.109933	41	4.133907
6	3.913773	24	4.116381	42	4.133970
7	3.913350	25	4.119816	43	4.133484
8	3.912800	26	4.122321	44	4.133262
9	3.912853	27	4.124404	45	4.132438
10	3.912694	28	4.126190	46	4.132078
11	3.920781	29	4.128082	47	4.131941
12	3.940368	30	4.130746	48	4.131454
13	3.963455	31	4.131412	49	4.130905
14	3.986552	32	4.131528	50	4.130482
15	4.010537	33	4.131962	51	4.130281
16	4.030261	34	4.132459	52	4.129679
17	4.048644	35	4.132829		
18	4.064109	36	4.133241		

ตารางผนวก 8 ผลการทดสอบแรงดันไฟฟ้าตอบสนองที่ความเข้มข้น 4,000 ppm ครั้งที่ 3

เวลา (s)	ค่าแรงดันไฟฟ้า ตอบสนอง (V)	เวลา (s)	ค่าแรงดันไฟฟ้า ตอบสนอง (V)	เวลา (s)	ค่าแรงดันไฟฟ้า ตอบสนอง (V)
1	3.916426	19	4.094034	37	4.147934
2	3.916595	20	4.103537	38	4.147670
3	3.916637	21	4.112036	39	4.147839
4	3.916648	22	4.120080	40	4.147786
5	3.916785	23	4.126592	41	4.148146
6	3.916553	24	4.131655	42	4.147522
7	3.916616	25	4.135038	43	4.147184
8	3.916722	26	4.137755	44	4.147046
9	3.917071	27	4.141296	45	4.146824
10	3.921077	28	4.141454	46	4.146349
11	3.935886	29	4.143801	47	4.146084
12	3.957303	30	4.143938	48	4.145979
13	3.982704	31	4.144837	49	4.145556
14	4.008274	32	4.145418	50	4.144953
15	4.030483	33	4.146137	51	4.144541
16	4.049257	34	4.146814	52	4.144298
17	4.066212	35	4.146856		
18	4.080018	36	4.147564		



ภาพพนวก 2 ผลการทดสอบค่าแรงดันไฟฟ้าตอบสนองที่ระดับความเข้มข้น 4,000 ppm

ทำการไหเกรตจำนวน 6 ครั้ง ที่ระดับความเข้มข้น 4,000 ppm ได้ผลการทดสอบดังตารางพนวก 9

ตารางพนวก 9 ค่าจากการไหเกรตที่ระดับความเข้มข้น 4,000 ppm

ความเข้มข้น SO ₂ จากการไหเกรต					
ครั้งที่ 1	ครั้งที่ 2	ครั้งที่ 3	ครั้งที่ 4	ครั้งที่ 5	ครั้งที่ 6
2,448	4,896	2,448	2,448	2,448	4,896

ระดับความเข้มข้น 6,000 ppm ทำการทดสอบจำนวน 3 ครั้ง ได้ผลการทดสอบ เนลี่ย คั่งตารางผนวก 10 11 และ 12 ตามลำดับ และมีแนวโน้มคั่งตารางผนวก 3 ค่าตอบสนองจะเริ่ม คงที่ในวินาที 31 – 40 ทั้ง 3 ครั้ง

ตารางผนวก 10 ผลการทดสอบแรงดันไฟฟ้าตอบสนองที่ความเข้มข้น 6,000 ppm ครั้งที่ 1

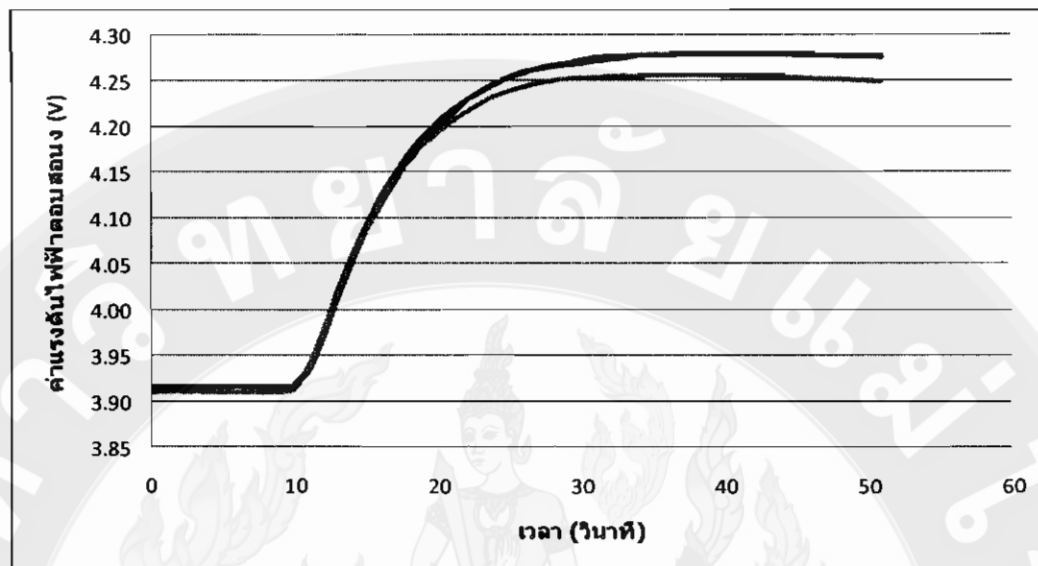
เวลา (s)	ค่าแรงดันไฟฟ้า ตอบสนอง (V)	เวลา (s)	ค่าแรงดันไฟฟ้า ตอบสนอง (V)	เวลา (s)	ค่าแรงดันไฟฟ้า ตอบสนอง (V)
1	3.915168	19	4.164319	37	4.278302
2	3.915422	20	4.184160	38	4.278863
3	3.915464	21	4.200703	39	4.279243
4	3.915094	22	4.213356	40	4.279106
5	3.915316	23	4.228419	41	4.279423
6	3.915210	24	4.237161	42	4.279603
7	3.915252	25	4.246051	43	4.279021
8	3.915390	26	4.254307	44	4.279254
9	3.915474	27	4.260438	45	4.279106
10	3.915654	28	4.262647	46	4.278482
11	3.916521	29	4.265734	47	4.278059
12	3.932366	30	4.267732	48	4.277774
13	3.968233	31	4.269201	49	4.277615
14	4.011879	32	4.271484	50	4.277541
15	4.050620	33	4.273419	51	4.276918
16	4.086127	34	4.274867	52	4.276558
17	4.113992	35	4.277932		
18	4.139869	36	4.278302		

ตารางผนวก 11 ผลการทดสอบแรงดันไฟฟ้าตอบสนองที่ความเข้มข้น 6,000 ppm ครั้งที่ 2

เวลา (s)	ค่าแรงดันไฟฟ้า ตอบสนอง (V)	เวลา (s)	ค่าแรงดันไฟฟ้า ตอบสนอง (V)	เวลา (s)	ค่าแรงดันไฟฟ้า ตอบสนอง (V)
1	3.915591	19	4.171919	37	4.278968
2	3.915897	20	4.189995	38	4.279877
3	3.915422	21	4.205978	39	4.279951
4	3.915971	22	4.218821	40	4.280226
5	3.915739	23	4.229307	41	4.280237
6	3.916109	24	4.239191	42	4.279603
7	3.916405	25	4.247869	43	4.280004
8	3.916236	26	4.255026	44	4.279846
9	3.915601	27	4.259275	45	4.279951
10	3.915485	28	4.264455	46	4.279560
11	3.918878	29	4.267732	47	4.278789
12	3.939301	30	4.269772	48	4.278461
13	3.977038	31	4.273271	49	4.277784
14	4.021763	32	4.276252	50	4.277647
15	4.060356	33	4.277383	51	4.277467
16	4.093136	34	4.278059	52	4.276579
17	4.124668	35	4.278588		
18	4.148896	36	4.279212		

ตารางผนวก 12 ผลการทดสอบแรงดันไฟฟ้าตอบสนองที่ความเข้มข้น 6,000 ppm ครั้งที่ 3

เวลา (s)	ค่าแรงดันไฟฟ้า ตอบสนอง (V)	เวลา (s)	ค่าแรงดันไฟฟ้า ตอบสนอง (V)	เวลา (s)	ค่าแรงดันไฟฟ้า ตอบสนอง (V)
1	3.909365	19	4.161835	37	4.256294
2	3.909819	20	4.179847	38	4.256506
3	3.909935	21	4.192711	39	4.256537
4	3.909682	22	4.205365	40	4.256220
5	3.909502	23	4.215481	41	4.255512
6	3.909322	24	4.225026	42	4.255607
7	3.909491	25	4.233071	43	4.255216
8	3.909544	26	4.238599	44	4.254318
9	3.909195	27	4.243240	45	4.254296
10	3.909365	28	4.247119	46	4.252975
11	3.913033	29	4.249793	47	4.252573
12	3.937144	30	4.25233	48	4.251685
13	3.978063	31	4.252943	49	4.251421
14	4.018591	32	4.253324	50	4.250903
15	4.056899	33	4.254571	51	4.249994
16	4.087502	34	4.255258	52	4.249254
17	4.117543	35	4.255005		
18	4.14212	36	4.256051		



ภาพผนวก 3 ผลการทดสอบค่าแรงดันไฟฟ้าตอบสนองที่ระดับความเข้มข้น 6,000 ppm

ทำการไห่雷ครั้งที่ 6 ที่ระดับความเข้มข้น 6,000 ppm ได้ผลการทดสอบ
ดังตารางผนวก 13

ตารางผนวก 13 ค่าจากการไห่雷ที่ระดับความเข้มข้น 6,000 ppm

ความเข้มข้น SO ₂ จากการไห่雷					
ครั้งที่ 1	ครั้งที่ 2	ครั้งที่ 3	ครั้งที่ 4	ครั้งที่ 5	ครั้งที่ 6
7,344	4,896	4,896	4,896	4,896	7,344

ระดับความเข้มข้น 8,000 ppm ทำการทดสอบจำนวน 3 ครั้ง ได้ผลการทดสอบ เนลี่ย คั่งตารางผนวก 14 15 และ 16 ตามลำดับ และมีแนวโน้มคั่งภาพผนวก 4 ค่าตอบสนองจะเริ่ม คงที่ในวินาที 31 – 40 ทั้ง 3 ครั้ง

ตารางผนวก 14 ผลการทดสอบแรงดันไฟฟ้าตอบสนองที่ความเข้มข้น 8,000 ppm ครั้งที่ 1

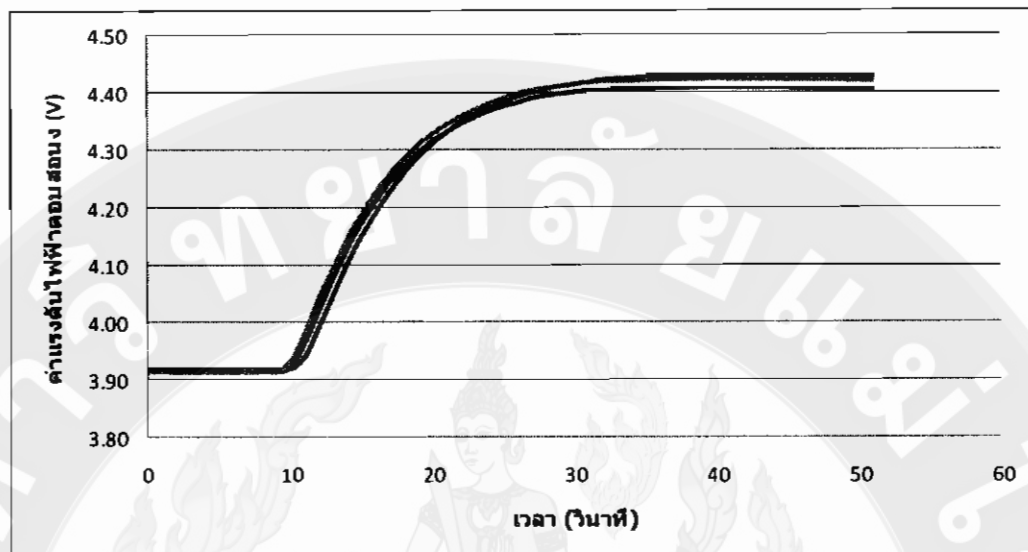
เวลา (s)	ค่าแรงดันไฟฟ้า ตอบสนอง (V)	เวลา (s)	ค่าแรงดันไฟฟ้า ตอบสนอง (V)	เวลา (s)	ค่าแรงดันไฟฟ้า ตอบสนอง (V)
1	3.912705	19	4.269275	37	4.409537
2	3.912747	20	4.293334	38	4.409569
3	3.912483	21	4.315501	39	4.409981
4	3.912335	22	4.330807	40	4.410711
5	3.912198	23	4.346420	41	4.410626
6	3.912398	24	4.358164	42	4.410616
7	3.912155	25	4.368661	43	4.410584
8	3.912113	26	4.377688	44	4.410520
9	3.912578	27	4.383671	45	4.410288
10	3.912314	28	4.391620	46	4.410129
11	3.920104	29	4.395996	47	4.408988
12	3.961615	30	4.399210	48	4.409231
13	4.019056	31	4.402476	49	4.408470
14	4.075282	32	4.404633	50	4.407751
15	4.126190	33	4.404781	51	4.407370
16	4.171475	34	4.406504	52	4.406863
17	4.208663	35	4.407614		
18	4.243557	36	4.408628		

ตารางผนวก 15 ผลการทดสอบแรงดันไฟฟ้าตอบสนองที่ความเข้มข้น 8,000 ppm ครั้งที่ 2

เวลา (s)	ค่าแรงดันไฟฟ้า ตอบสนอง (V)	เวลา (s)	ค่าแรงดันไฟฟ้า ตอบสนอง (V)	เวลา (s)	ค่าแรงดันไฟฟ้า ตอบสนอง (V)
1	3.918022	19	4.257489	37	4.428290
2	3.918043	20	4.286622	38	4.429484
3	3.918149	21	4.310258	39	4.429675
4	3.917990	22	4.329993	40	4.430298
5	3.918318	23	4.348354	41	4.430552
6	3.917916	24	4.362868	42	4.430488
7	3.917758	25	4.375278	43	4.430330
8	3.917726	26	4.385130	44	4.430552
9	3.917821	27	4.394104	45	4.430140
10	3.917589	28	4.401303	46	4.429844
11	3.919016	29	4.406937	47	4.430161
12	3.938592	30	4.411768	48	4.429474
13	3.990325	31	4.415045	49	4.428543
14	4.045790	32	4.418808	50	4.428861
15	4.100958	33	4.422286	51	4.428089
16	4.148019	34	4.424590	52	4.427656
17	4.188504	35	4.425404		
18	4.225597	36	4.427508		

ตารางผนวก 16 ผลการทดสอบแรงดันไฟฟ้าต่ออบสนองที่ความเข้มข้น 8,000 ppm ครั้งที่ 3

เวลา (s)	ค่าแรงดันไฟฟ้า ตอบสนอง (V)	เวลา (s)	ค่าแรงดันไฟฟ้า ตอบสนอง (V)	เวลา (s)	ค่าแรงดันไฟฟ้า ตอบสนอง (V)
1	3.916415	19	4.284412	37	4.424273
2	3.915485	20	4.308482	38	4.424484
3	3.915908	21	4.328312	39	4.424886
4	3.916172	22	4.344951	40	4.424971
5	3.916426	23	4.359464	41	4.425531
6	3.916257	24	4.371398	42	4.425023
7	3.916077	25	4.382180	43	4.424897
8	3.916035	26	4.391557	44	4.425023
9	3.915696	27	4.400214	45	4.425119
10	3.916436	28	4.405341	46	4.424548
11	3.932768	29	4.409358	47	4.424505
12	3.981605	30	4.412740	48	4.423903
13	4.043232	31	4.416694	49	4.423322
14	4.094764	32	4.419484	50	4.423216
15	4.145101	33	4.421102	51	4.422455
16	4.187807	34	4.421556	52	4.421461
17	4.225016	35	4.422328		
18	4.256981	36	4.423068		



ภาพพนวก 4 ผลการทดสอบค่าแรงดันไฟฟ้าตอบสนองที่ระดับความเข้มข้น 8,000 ppm

ทำการไหเทรตจำนวน 6 ครั้ง ที่ระดับความเข้มข้น 8,000 ppm ได้ผลการทดสอบดังตารางพนวก 17

ตารางพนวก 17 ค่าจากการไหเทรตที่ระดับความเข้มข้น 8,000 ppm

ความเข้มข้น SO ₂ จากการไหเทรต					
ครั้งที่ 1	ครั้งที่ 2	ครั้งที่ 3	ครั้งที่ 4	ครั้งที่ 5	ครั้งที่ 6
7,344	7,344	9,792	7,344	9,792	7,344

ระดับความเข้มข้น 10,000 ppm ทำการทดสอบจำนวน 3 ครั้ง ได้ผลการทดสอบ เนลี่ย คั่งตารางผนวก 18 19 และ 20 ตามลำดับ และมีแนวโน้มคั่งภาพผนวก 5 ค่าตอบสนองจะเริ่มคงที่ในวินาที 31 – 40 ทั้ง 3 ครั้ง

ตารางผนวก 18 ผลการทดสอบแรงดันไฟฟ้าตอบสนองที่ความเข้มข้น 10,000 ppm ครั้งที่ 1

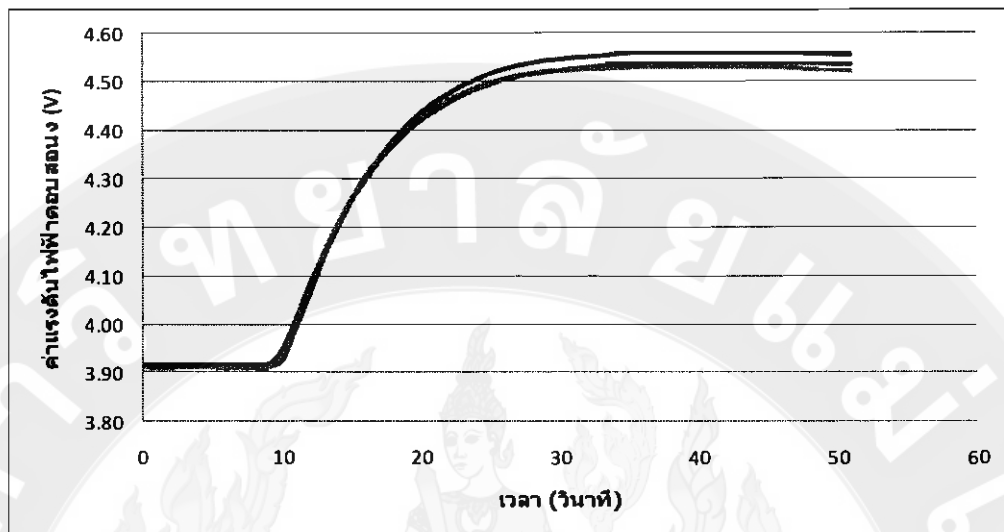
เวลา (s)	ค่าแรงดันไฟฟ้า ตอบสนอง (V)	เวลา (s)	ค่าแรงดันไฟฟ้า ตอบสนอง (V)	เวลา (s)	ค่าแรงดันไฟฟ้า ตอบสนอง (V)
1	3.914365	19	4.366990	37	4.538077
2	3.914428	20	4.395003	38	4.538870
3	3.914417	21	4.419992	39	4.539250
4	3.914343	22	4.438649	40	4.539916
5	3.914386	23	4.455742	41	4.540350
6	3.914269	24	4.471418	42	4.540772
7	3.914058	25	4.484695	43	4.541290
8	3.914217	26	4.494240	44	4.541481
9	3.914343	27	4.503701	45	4.540572
10	3.916066	28	4.511016	46	4.540202
11	3.946288	29	4.516100	47	4.539895
12	4.009871	30	4.519652	48	4.539705
13	4.081931	31	4.523553	49	4.539113
14	4.145661	32	4.527136	50	4.538235
15	4.201232	33	4.529969	51	4.536227
16	4.252975	34	4.533331		
17	4.296114	35	4.535540		
18	4.335902	36	4.536121		

ตารางผนวก 19 ผลการทดสอบแรงดันไฟฟ้าตอบสนองที่ความเข้มข้น 10,000 ppm ครั้งที่ 2

เวลา (s)	ค่าแรงดันไฟฟ้า ตอบสนอง (V)	เวลา (s)	ค่าแรงดันไฟฟ้า ตอบสนอง (V)	เวลา (s)	ค่าแรงดันไฟฟ้า ตอบสนอง (V)
1	3.913635	19	4.377815	37	4.560392
2	3.914206	20	4.409062	38	4.560434
3	3.913508	21	4.435319	39	4.561301
4	3.913318	22	4.457116	40	4.560994
5	3.913307	23	4.474663	41	4.560899
6	3.913064	24	4.491376	42	4.560645
7	3.913138	25	4.503838	43	4.560709
8	3.913043	26	4.516333	44	4.560709
9	3.913233	27	4.525487	45	4.560476
10	3.913424	28	4.533320	46	4.560064
11	3.924935	29	4.539007	47	4.559440
12	3.992598	30	4.544018	48	4.558975
13	4.061223	31	4.546819	49	4.55777
14	4.136708	32	4.549810	50	4.557379
15	4.196274	33	4.551692	51	4.556322
16	4.253377	34	4.553732	52	4.555550
17	4.301093	35	4.556946		
18	4.341684	36	4.559366		

ตารางผนวก 20 ผลการทดสอบแรงดันไฟฟ้าตอบสนองที่ความเข้มข้น 10,000 ppm ครั้งที่ 3

เวลา (s)	ค่าแรงดันไฟฟ้า ตอบสนอง (V)	เวลา (s)	ค่าแรงดันไฟฟ้า ตอบสนอง (V)	เวลา (s)	ค่าแรงดันไฟฟ้า ตอบสนอง (V)
1	3.911288	19	4.375574	37	4.529874
2	3.911204	20	4.405003	38	4.530371
3	3.911151	21	4.427053	39	4.530424
4	3.911479	22	4.444695	40	4.530561
5	3.911384	23	4.461714	41	4.530519
6	3.911320	24	4.475657	42	4.530794
7	3.910570	25	4.487781	43	4.530857
8	3.910749	26	4.497094	44	4.530741
9	3.910612	27	4.505741	45	4.530191
10	3.910813	28	4.512760	46	4.529377
11	3.937768	29	4.517274	47	4.528701
12	4.004099	30	4.521608	48	4.527771
13	4.079500	31	4.522263	49	4.524821
14	4.147987	32	4.523310	50	4.523997
15	4.206063	33	4.525561	51	4.523415
16	4.258091	34	4.526100	52	4.521502
17	4.305205	35	4.527749		
18	4.342583	36	4.528701		



ภาพนูน 5 ผลการทดสอบค่าแรงดันไฟฟ้าตอบสนองที่ระดับความเข้มข้น 10,000 ppm

ทำการไทยเกรตจำนวน 6 ครั้ง ที่ระดับความเข้มข้น 10,000 ppm ได้ผลการทดสอบดังตารางนูน 21

ตารางนูน 21 ค่าจาก การไทยเกรตที่ระดับความเข้มข้น 10,000 ppm

ความเข้มข้น SO_2 จากการไทยเกรต					
ครั้งที่ 1	ครั้งที่ 2	ครั้งที่ 3	ครั้งที่ 4	ครั้งที่ 5	ครั้งที่ 6
9,792	7,344	9,792	7,344	9,792	9,792

ระดับความเข้มข้น 12,000 ppm ทำการทดสอบจำนวน 3 ครั้ง ได้ผลการทดสอบ เนลี่ย ดังตารางผนวก 22 23 และ 24 ตามลำดับ และมีแนวโน้มดังภาพผนวก 6 ค่าตอบสนองจะเริ่มคงที่ในวินาที 31 – 40 ทั้ง 3 ครั้ง

ตารางผนวก 22 ผลการทดสอบแรงดันไฟฟ้าตอบสนองที่ความเข้มข้น 12,000 ppm ครั้งที่ 1

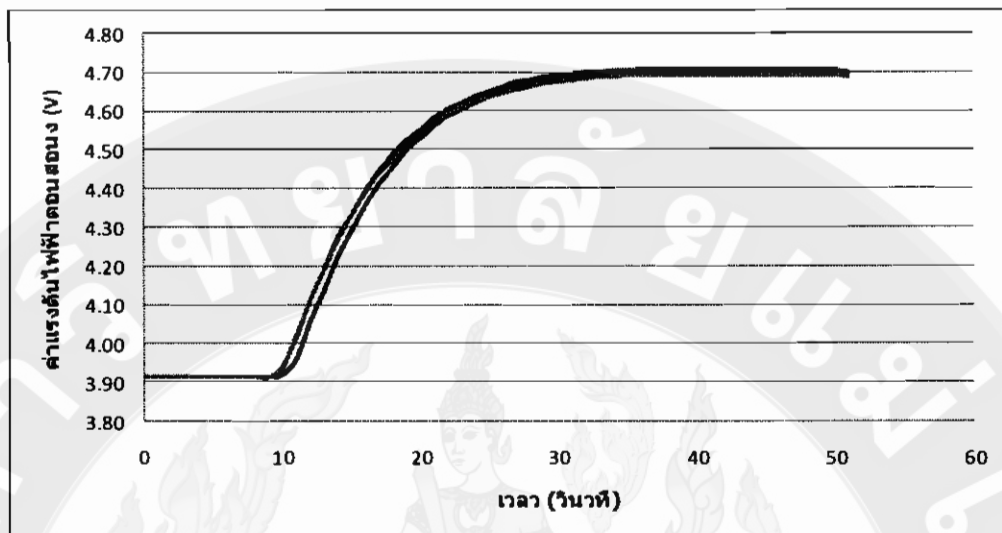
เวลา (s)	ค่าแรงดันไฟฟ้า ตอบสนอง (V)	เวลา (s)	ค่าแรงดันไฟฟ้า ตอบสนอง (V)	เวลา (s)	ค่าแรงดันไฟฟ้า ตอบสนอง (V)
1	3.915094	19	4.488469	37	4.706087
2	3.915052	20	4.523828	38	4.707366
3	3.915009	21	4.553975	39	4.707831
4	3.915231	22	4.580867	40	4.708233
5	3.914935	23	4.604175	41	4.708540
6	3.914692	24	4.622505	42	4.708751
7	3.914809	25	4.636923	43	4.708741
8	3.914502	26	4.651722	44	4.708392
9	3.915052	27	4.663287	45	4.708233
10	3.914502	28	4.673857	46	4.707715
11	3.934280	29	4.680136	47	4.707620
12	4.019670	30	4.685993	48	4.707007
13	4.106635	31	4.691574	49	4.705897
14	4.192035	32	4.697060	50	4.704607
15	4.269656	33	4.699618	51	4.703328
16	4.336557	34	4.701574	52	4.701880
17	4.395404	35	4.702863		
18	4.443216	36	4.705802		

ตารางผนวก 23 ผลการทดสอบแรงดันไฟฟ้าตอบสนองที่ความเข้มข้น 12,000 ppm ครั้งที่ 2

เวลา (s)	ค่าแรงดันไฟฟ้า ตอบสนอง (V)	เวลา (s)	ค่าแรงดันไฟฟ้า ตอบสนอง (V)	เวลา (s)	ค่าแรงดันไฟฟ้า ตอบสนอง (V)
1	3.914724	19	4.456947	37	4.700020
2	3.914978	20	4.499145	38	4.700675
3	3.915559	21	4.533214	39	4.701161
4	3.915221	22	4.561565	40	4.701658
5	3.915411	23	4.584778	41	4.702187
6	3.915496	24	4.603488	42	4.702451
7	3.915337	25	4.621543	43	4.702832
8	3.915506	26	4.638245	44	4.702684
9	3.915443	27	4.650126	45	4.701933
10	3.915622	28	4.662674	46	4.701701
11	3.918128	29	4.671172	47	4.701098
12	3.960146	30	4.678847	48	4.701405
13	4.051012	31	4.684058	49	4.700221
14	4.136676	32	4.689079	50	4.699512
15	4.222056	33	4.692028	51	4.699142
16	4.291177	34	4.694586	52	4.697842
17	4.355236	35	4.696997		
18	4.409897	36	4.699047		

ตารางผนวก 24 ผลการทดสอบแรงดันไฟฟ้าตอบสนองที่ความเข้มข้น 12,000 ppm ครั้งที่ 3

เวลา (s)	ค่าแรงดันไฟฟ้า ตอบสนอง (V)	เวลา (s)	ค่าแรงดันไฟฟ้า ตอบสนอง (V)	เวลา (s)	ค่าแรงดันไฟฟ้า ตอบสนอง (V)
1	3.913307	19	4.478511	37	4.691310
2	3.913307	20	4.513627	38	4.692028
3	3.913297	21	4.542622	39	4.692176
4	3.913276	22	4.569028	40	4.693307
5	3.912916	23	4.592643	41	4.693371
6	3.912800	24	4.610264	42	4.692694
7	3.912800	25	4.625253	43	4.692906
8	3.913096	26	4.637843	44	4.693096
9	3.913001	27	4.647494	45	4.692261
10	3.913128	28	4.655655	46	4.692451
11	3.937208	29	4.663139	47	4.692303
12	4.014575	30	4.672927	48	4.692007
13	4.106783	31	4.676902	49	4.691627
14	4.189688	32	4.680633	50	4.690718
15	4.263387	33	4.685168	51	4.690147
16	4.334782	34	4.687335	52	4.688307
17	4.388586	35	4.688635		
18	4.438660	36	4.690707		



ภาพพนวก 6 ผลการทดสอบค่าเร่งดันไฟฟ้าตอบสนองที่ระดับความเข้มข้น 12,000 ppm

ทำการ ไฟเกรดจำนวน 6 ครั้ง ที่ระดับความเข้มข้น 12,000 ppm ได้ผลการทดสอบดังตารางพนวก 25

ตารางพนวก 25 ค่าจาก การ ไฟเกรดที่ระดับความเข้มข้น 12,000 ppm

ความเข้มข้น SO_2 จากการ ไฟเกรด					
ครั้งที่ 1	ครั้งที่ 2	ครั้งที่ 3	ครั้งที่ 4	ครั้งที่ 5	ครั้งที่ 6
9,792	12,240	12,240	12,240	9,792	12,240

ระดับความเข้มข้น 14,000 ppm ทำการทดสอบจำนวน 3 ครั้ง ได้ผลการทดสอบ เกลือบ ดังตารางน้ำก 26 27 และ 28 ตามลำดับ และมีแนวโน้มดังภาพน้ำก 7 ค่าตอบสนองจะเริ่มคงที่ในวินาที 31 – 40 ทั้ง 3 ครั้ง

ตารางน้ำก 26 ผลการทดสอบแรงดันไฟฟ้าตอบสนองที่ความเข้มข้น 14,000 ppm ครั้งที่ 1

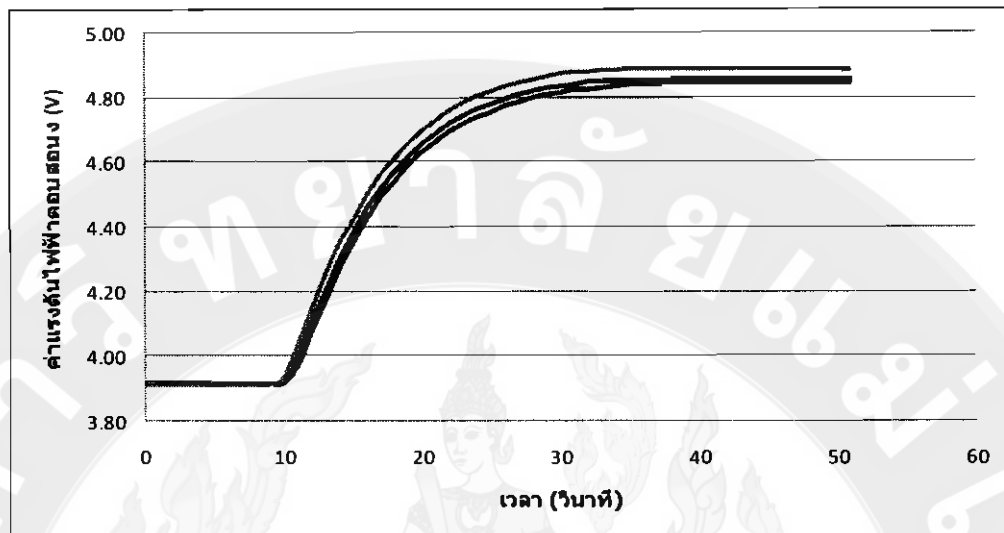
เวลา (s)	ค่าแรงดันไฟฟ้า ตอบสนอง (V)	เวลา (s)	ค่าแรงดันไฟฟ้า ตอบสนอง (V)	เวลา (s)	ค่าแรงดันไฟฟ้า ตอบสนอง (V)
1	3.912356	19	4.571110	37	4.856783
2	3.912642	20	4.615528	38	4.856931
3	3.912388	21	4.656204	39	4.857174
4	3.912642	22	4.691024	40	4.857861
5	3.912821	23	4.716891	41	4.858495
6	3.912779	24	4.742662	42	4.858390
7	3.912726	25	4.762884	43	4.859542
8	3.913170	26	4.780790	44	4.859404
9	3.913255	27	4.796467	45	4.859457
10	3.913107	28	4.809077	46	4.858749
11	3.918783	29	4.820631	47	4.859130
12	4.001636	30	4.831456	48	4.858506
13	4.101994	31	4.837111	49	4.858326
14	4.202141	32	4.842470	50	4.856223
15	4.300490	33	4.847830	51	4.855969
16	4.383713	34	4.849373	52	4.855345
17	4.459632	35	4.851128		
18	4.518405	36	4.854669		

ตารางผนวก 27 ผลการทดสอบแรงดันไฟฟ้าตอบสนองที่ความเข้มข้น 14,000 ppm ครั้งที่ 2

เวลา (s)	ค่าแรงดันไฟฟ้า ตอบสนอง (V)	เวลา (s)	ค่าแรงดันไฟฟ้า ตอบสนอง (V)	เวลา (s)	ค่าแรงดันไฟฟ้า ตอบสนอง (V)
1	3.916214	19	4.543436	37	4.840166
2	3.916183	20	4.591438	38	4.841741
3	3.915918	21	4.631617	39	4.842914
4	3.916204	22	4.663805	40	4.843104
5	3.916014	23	4.692853	41	4.843432
6	3.915908	24	4.717451	42	4.844362
7	3.916151	25	4.739385	43	4.844098
8	3.916236	26	4.756488	44	4.844521
9	3.916204	27	4.773148	45	4.844310
10	3.916415	28	4.786329	46	4.844743
11	3.918054	29	4.797756	47	4.844384
12	3.973930	30	4.807967	48	4.844088
13	4.071730	31	4.815769	49	4.843961
14	4.173335	32	4.822756	50	4.843326
15	4.267964	33	4.827418	51	4.843443
16	4.356726	34	4.832386	52	4.842650
17	4.426842	35	4.834373		
18	4.492359	36	4.838654		

ตารางผนวก 28 ผลการทดสอบแรงดันไฟฟ้าตอบสนองที่ความเข้มข้น 14,000 ppm ครั้งที่ 3

เวลา (s)	ค่าแรงดันไฟฟ้า ตอบสนอง (V)	เวลา (s)	ค่าแรงดันไฟฟ้า ตอบสนอง (V)	เวลา (s)	ค่าแรงดันไฟฟ้า ตอบสนอง (V)
1	3.913783	19	4.615032	37	4.889256
2	3.913815	20	4.658319	38	4.890144
3	3.913413	21	4.699216	39	4.890408
4	3.913794	22	4.731341	40	4.890905
5	3.913995	23	4.759226	41	4.891687
6	3.914396	24	4.784395	42	4.891624
7	3.913815	25	4.804384	43	4.891772
8	3.913582	26	4.821487	44	4.891793
9	3.914005	27	4.835790	45	4.892078
10	3.914111	28	4.847544	46	4.891222
11	3.932208	29	4.857671	47	4.891444
12	4.035737	30	4.865398	48	4.889869
13	4.143294	31	4.873527	49	4.890292
14	4.257468	32	4.879637	50	4.889267
15	4.352519	33	4.882015	51	4.886983
16	4.425668	34	4.885704	52	4.886571
17	4.499938	35	4.887121		
18	4.560910	36	4.888569		



ภาพพนวก 7 ผลการทดสอบค่าแรงดันไฟฟ้าตอบสนองที่ระดับความเข้มข้น 14,000 ppm

ทำการไหเทรตจำนวน 6 ครั้ง ที่ระดับความเข้มข้น 14,000 ppm ได้ผลการทดสอบดังตารางพนวก 29

ตารางพนวก 29 ค่าจากการไหเทรตที่ระดับความเข้มข้น 14,000 ppm

ความเข้มข้น SO ₂ จากการไหเทรต					
ครั้งที่ 1	ครั้งที่ 2	ครั้งที่ 3	ครั้งที่ 4	ครั้งที่ 5	ครั้งที่ 6
12,240	14,688	12,240	12,240	12,240	14,688

ระดับความเข้มข้น 16,000 ppm ทำการทดสอบจำนวน 3 ครั้ง ได้ผลการทดสอบ เนื่องด้วย คั่งตารางผนวก 30 31 และ 32 ตามลำดับ และมีแนวโน้มคั่งภาพผนวก 8 ค่าตอบสนองจะเริ่มคงที่ในวินาที 31 – 40 ทั้ง 3 ครั้ง

ตารางผนวก 30 ผลการทดสอบแรงดันไฟฟ้าตอบสนองที่ความเข้มข้น 16,000 ppm ครั้งที่ 1

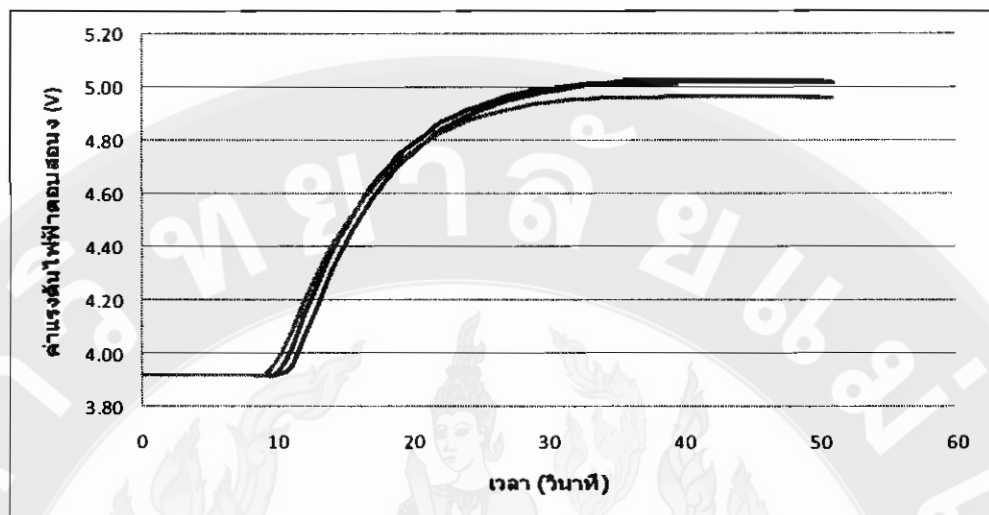
เวลา (s)	ค่าแรงดันไฟฟ้า ตอบสนอง (V)	เวลา (s)	ค่าแรงดันไฟฟ้า ตอบสนอง (V)	เวลา (s)	ค่าแรงดันไฟฟ้า ตอบสนอง (V)
1	3.917377	19	4.646596	37	5.011104
2	3.916817	20	4.705929	38	5.012383
3	3.917409	21	4.755918	39	5.013979
4	3.917409	22	4.797978	40	5.015713
5	3.917694	23	4.835652	41	5.016548
6	3.917800	24	4.864077	42	5.017140
7	3.917663	25	4.891878	43	5.017595
8	3.917747	26	4.913833	44	5.018208
9	3.917779	27	4.933135	45	5.018134
10	3.917737	28	4.947870	46	5.017626
11	3.918424	29	4.962046	47	5.017785
12	3.947451	30	4.974509	48	5.018165
13	4.060990	31	4.984371	49	5.018134
14	4.183674	32	4.991379	50	5.017806
15	4.305152	33	4.999434	51	5.017415
16	4.413100	34	5.004624	52	5.016601
17	4.502284	35	5.009223		
18	4.578193	36	5.010586		

ตารางผนวก 31 ผลการทดสอบแรงดันไฟฟ้าตอบสนองที่ความเข้มข้น 16,000 ppm ครั้งที่ 2

เวลา (s)	ค่าแรงดันไฟฟ้า ตอบสนอง (V)	เวลา (s)	ค่าแรงดันไฟฟ้า ตอบสนอง (V)	เวลา (s)	ค่าแรงดันไฟฟ้า ตอบสนอง (V)
1	3.917007	19	4.692049	37	5.022637
2	3.916997	20	4.746520	38	5.023081
3	3.916891	21	4.789205	39	5.023673
4	3.916933	22	4.827893	40	5.023990
5	3.917028	23	4.863538	41	5.024349
6	3.916912	24	4.888897	42	5.024212
7	3.916828	25	4.913537	43	5.024423
8	3.916669	26	4.932902	44	5.025047
9	3.916595	27	4.949974	45	5.026315
10	3.917187	28	4.963970	46	5.025216
11	3.924216	29	4.977320	47	5.024931
12	4.010505	30	4.988102	48	5.024138
13	4.139456	31	4.995840	49	5.023916
14	4.266294	32	5.002214	50	5.022415
15	4.378946	33	5.008039	51	5.020967
16	4.472665	34	5.013715	52	5.019508
17	4.554927	35	5.016083		
18	4.630084	36	5.019561		

ตารางผนวก 32 ผลการทดสอบแรงดันไฟฟ้าตอบสนองที่ความเข้มข้น 16,000 ppm ครั้งที่ 3

เวลา (s)	ค่าแรงดันไฟฟ้า ตอบสนอง (V)	เวลา (s)	ค่าแรงดันไฟฟ้า ตอบสนอง (V)	เวลา (s)	ค่าแรงดันไฟฟ้า ตอบสนอง (V)
1	3.917737	19	4.676341	37	4.961189
2	3.917261	20	4.722113	38	4.961771
3	3.917515	21	4.759321	39	4.963282
4	3.917229	22	4.794268	40	4.964678
5	3.917652	23	4.822164	41	4.965196
6	3.917356	24	4.849457	42	4.965196
7	3.917462	25	4.870250	43	4.965122
8	3.917028	26	4.886835	44	4.965830
9	3.917018	27	4.903294	45	4.965809
10	3.917726	28	4.915630	46	4.965502
11	3.971774	29	4.927363	47	4.965090
12	4.074531	30	4.935904	48	4.964657
13	4.195132	31	4.943515	49	4.964699
14	4.309412	32	4.950302	50	4.963018
15	4.403058	33	4.953769	51	4.961274
16	4.482845	34	4.956517	52	4.959794
17	4.556798	35	4.958420		
18	4.620972	36	4.960756		



ภาพนวนก 8 ผลการทดสอบค่าแรงดันไฟฟ้าต่ำสุดที่ระดับความเข้มข้น 16,000 ppm

ทำการไทยเกรตจำนวน 6 ครั้ง ที่ระดับความเข้มข้น 16,000 ppm ได้ผลการทดสอบค้างตารางผนวก 33

ตารางผนวก 33 ค่าจาก การไทยเกรตที่ระดับความเข้มข้น 16,000 ppm

ความเข้มข้น SO ₂ จากการไทยเกรต					
ครั้งที่ 1	ครั้งที่ 2	ครั้งที่ 3	ครั้งที่ 4	ครั้งที่ 5	ครั้งที่ 6
14,688	14,688	14,688	14,688	14,688	14,688

ระดับความเข้มข้น 18,000 ppm ทำการทดสอบจำนวน 3 ครั้ง ได้ผลการทดสอบเฉลี่ย คั่งตารางผนวก 34 35 และ 36 ตามลำดับ และมีแนวโน้มคั่งภาพผนวก 9 ค่าตอบสนองจะเริ่มคงที่ในวินาที 31 – 40 ห้อง 3 ครั้ง

ตารางผนวก 34 ผลการทดสอบแรงดันไฟฟ้าตอบสนองที่ความเข้มข้น 18,000 ppm ครั้งที่ 1

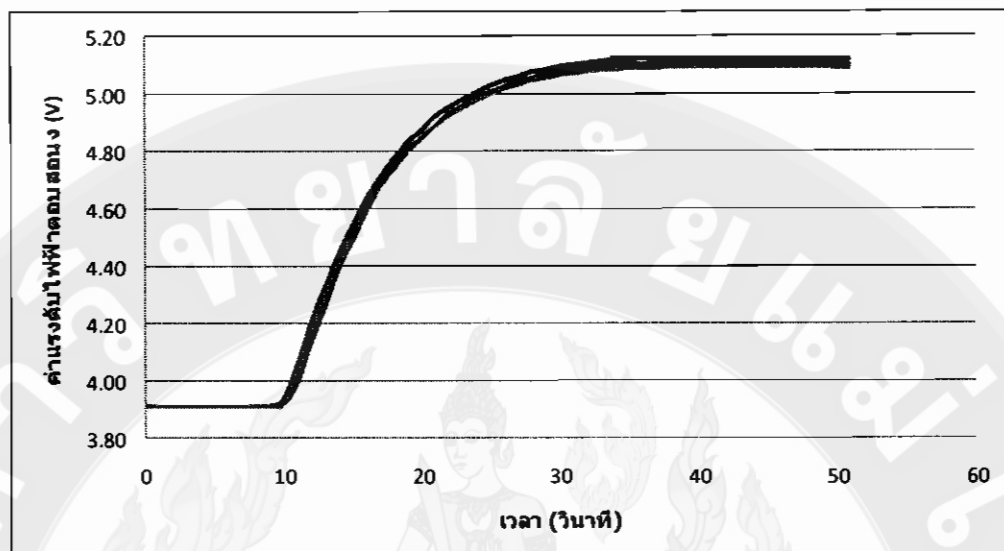
เวลา (s)	ค่าแรงดันไฟฟ้า ตอบสนอง (V)	เวลา (s)	ค่าแรงดันไฟฟ้า ตอบสนอง (V)	เวลา (s)	ค่าแรงดันไฟฟ้า ตอบสนอง (V)
1	3.913128	19	4.776340	37	5.122456
2	3.913170	20	4.832597	38	5.122614
3	3.913561	21	4.877671	39	5.123069
4	3.913741	22	4.922976	40	5.123735
5	3.914111	23	4.954583	41	5.124697
6	3.914079	24	4.984276	42	5.125289
7	3.914343	25	5.008715	43	5.125416
8	3.914100	26	5.030914	44	5.125490
9	3.913498	27	5.048387	45	5.124855
10	3.913318	28	5.061759	46	5.124454
11	3.936013	29	5.075966	47	5.124084
12	4.058580	30	5.085458	48	5.123544
13	4.203198	31	5.095818	49	5.122255
14	4.332794	32	5.103587	50	5.121378
15	4.444505	33	5.110310	51	5.119739
16	4.546132	34	5.114982	52	5.117276
17	4.636458	35	5.117287		
18	4.708265	36	5.120585		

ตารางผนวก 35 ผลการทดสอบแรงดันไฟฟ้าต่อนสนองที่ความเข้มข้น 18,000 ppm ครั้งที่ 2

เวลา (s)	ค่าแรงดันไฟฟ้า ต่อนสนอง (V)	เวลา (s)	ค่าแรงดันไฟฟ้า ต่อนสนอง (V)	เวลา (s)	ค่าแรงดันไฟฟ้า ต่อนสนอง (V)
1	3.912853	19	4.740210	37	5.102646
2	3.912684	20	4.800483	38	5.104898
3	3.91280	21	4.849775	39	5.105596
4	3.912599	22	4.891634	40	5.106399
5	3.913001	23	4.928357	41	5.106589
6	3.913022	24	4.959424	42	5.107297
7	3.913223	25	4.986940	43	5.106304
8	3.913360	26	5.006929	44	5.106674
9	3.913043	27	5.025290	45	5.106864
10	3.913064	28	5.041865	46	5.106663
11	3.915506	29	5.056283	47	5.106779
12	4.000642	30	5.067731	48	5.105870
13	4.134679	31	5.075617	49	5.105120
14	4.266928	32	5.085110	50	5.104316
15	4.396261	33	5.090797	51	5.103407
16	4.497200	34	5.095511	52	5.100585
17	4.594397	35	5.099613		
18	4.676289	36	5.100870		

ตารางผนวก 36 ผลการทดสอบแรงดันไฟฟ้าตอบสนองที่ความเข้มข้น 18,000 ppm ครั้งที่ 3

เวลา (s)	ค่าแรงดันไฟฟ้า ตอบสนอง (V)	เวลา (s)	ค่าแรงดันไฟฟ้า ตอบสนอง (V)	เวลา (s)	ค่าแรงดันไฟฟ้า ตอบสนอง (V)
1	3.913434	19	4.748486	37	5.090469
2	3.913181	20	4.805219	38	5.092604
3	3.913519	21	4.849225	39	5.093957
4	3.913455	22	4.890588	40	5.094274
5	3.913424	23	4.924784	41	5.094623
6	3.913540	24	4.953378	42	5.095310
7	3.913445	25	4.978821	43	5.094697
8	3.913508	26	4.999572	44	5.094634
9	3.913128	27	5.019529	45	5.094909
10	3.912980	28	5.033525	46	5.095194
11	3.920326	29	5.046675	47	5.094782
12	4.039035	30	5.057330	48	5.094264
13	4.168526	31	5.066368	49	5.093577
14	4.302456	32	5.072583	50	5.093312
15	4.410425	33	5.078957	51	5.091907
16	4.512284	34	5.083027	52	5.090025
17	4.605465	35	5.086526		
18	4.679016	36	5.088756		



ภาพผนวก 9 ผลการทดสอบค่าแรงดันไฟฟ้าต่อนสูงที่ระดับความเข้มข้น 18,000 ppm

ทำการไหเกรตจำนวน 6 ครั้ง ที่ระดับความเข้มข้น 18,000 ppm ได้ผลการทดสอบดังตารางผนวก 37

ตารางผนวก 37 ค่าจากการไหเกรตที่ระดับความเข้มข้น 18,000 ppm

ความเข้มข้น SO_2 จากการไหเกรต					
ครั้งที่ 1	ครั้งที่ 2	ครั้งที่ 3	ครั้งที่ 4	ครั้งที่ 5	ครั้งที่ 6
14,688	17,136	17,136	17,136	17,136	14,688

ระดับความเข้มข้น 20,000 ppm ทำการทดสอบจำนวน 3 ครั้ง ได้ผลการทดสอบเฉลี่ย คั่งตารางผนวก 38 39 และ 40 ตามลำดับ และมีแนวโน้มคั่งภาพผนวก 10 ค่าตอบสนองจะเริ่มคงที่ในวินาที 31 – 40 ทั้ง 3 ครั้ง

ตารางผนวก 38 ผลการทดสอบแรงดันไฟฟ้าตอบสนองที่ความเข้มข้น 20,000 ppm ครั้งที่ 1

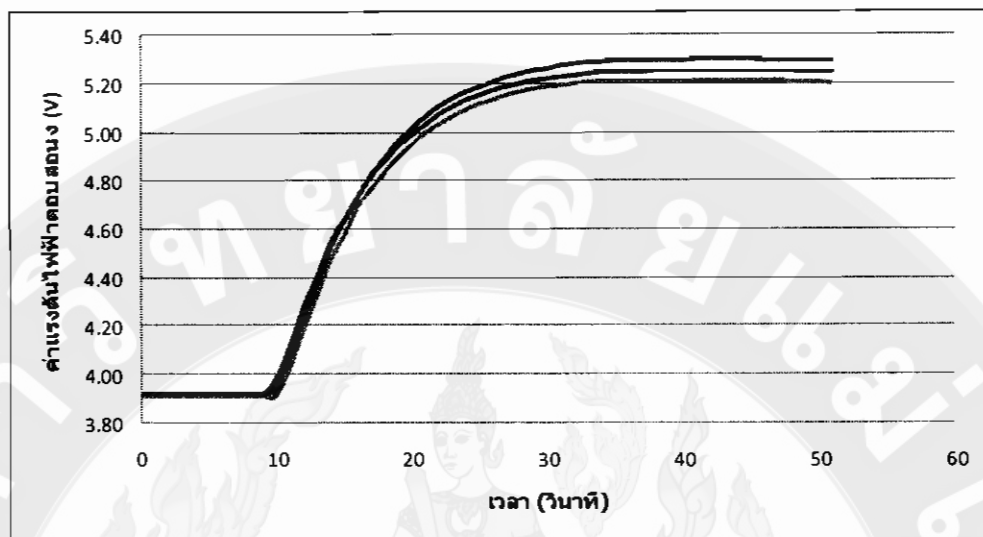
เวลา (s)	ค่าแรงดันไฟฟ้า ตอบสนอง (V)	เวลา (s)	ค่าแรงดันไฟฟ้า ตอบสนอง (V)	เวลา (s)	ค่าแรงดันไฟฟ้า ตอบสนอง (V)
1	3.919248	19	4.882005	37	5.246534
2	3.919301	20	4.944255	38	5.248881
3	3.919290	21	4.992415	39	5.251524
4	3.919660	22	5.034687	40	5.252391
5	3.920094	23	5.072985	41	5.252126
6	3.920305	24	5.104644	42	5.252422
7	3.920041	25	5.129887	43	5.252369
8	3.920453	26	5.152529	44	5.252422
9	3.919882	27	5.172275	45	5.252443
10	3.920252	28	5.188396	46	5.252084
11	3.981858	29	5.200594	47	5.251503
12	4.122808	30	5.211281	48	5.250699
13	4.276854	31	5.220414	49	5.250477
14	4.415700	32	5.228998	50	5.249801
15	4.547231	33	5.235467	51	5.248596
16	4.648213	34	5.241386	52	5.244685
17	4.738360	35	5.245076		
18	4.819669	36	5.246016		

ตารางที่ 39 ผลการทดสอบแรงดันไฟฟ้าตอบสนองที่ความเข้มข้น 20,000 ppm ครั้งที่ 2

เวลา (s)	ค่าแรงดันไฟฟ้า ตอบสนอง (V)	เวลา (s)	ค่าแรงดันไฟฟ้า ตอบสนอง (V)	เวลา (s)	ค่าแรงดันไฟฟ้า ตอบสนอง (V)
1	3.914565	19	4.896645	37	5.295054
2	3.914195	20	4.964149	38	5.295413
3	3.914174	21	5.019550	39	5.296058
4	3.914132	22	5.066960	40	5.296787
5	3.913984	23	5.104856	41	5.297580
6	3.914365	24	5.137878	42	5.297876
7	3.914565	25	5.166895	43	5.298701
8	3.914502	26	5.189484	44	5.298616
9	3.914491	27	5.209738	45	5.298373
10	3.914809	28	5.228110	46	5.297834
11	3.949501	29	5.243120	47	5.297369
12	4.083421	30	5.255139	48	5.296734
13	4.238958	31	5.263743	49	5.296650
14	4.381884	32	5.271957	50	5.295466
15	4.524515	33	5.279652	51	5.293542
16	4.643118	34	5.285308	52	5.292781
17	4.739195	35	5.288320		
18	4.825790	36	5.291671		

ตารางผนวก 40 ผลการทดสอบแรงดันไฟฟ้าตอบสนองที่ความเข้มข้น 20,000 ppm ครั้งที่ 3

เวลา (s)	ค่าแรงดันไฟฟ้า ตอบสนอง (V)	เวลา (s)	ค่าแรงดันไฟฟ้า ตอบสนอง (V)	เวลา (s)	ค่าแรงดันไฟฟ้า ตอบสนอง (V)
1	3.907388	19	4.839521	37	5.212740
2	3.907472	20	4.897787	38	5.213860
3	3.907631	21	4.949593	39	5.214304
4	3.907758	22	4.996527	40	5.214389
5	3.908202	23	5.034000	41	5.214516
6	3.908022	24	5.066209	42	5.214082
7	3.908191	25	5.094095	43	5.214029
8	3.907969	26	5.116769	44	5.214220
9	3.908128	27	5.136007	45	5.213575
10	3.908191	28	5.153386	46	5.211683
11	3.912885	29	5.166631	47	5.211154
12	4.038200	30	5.177043	48	5.210330
13	4.184974	31	5.186725	49	5.208934
14	4.332667	32	5.194368	50	5.206218
15	4.472221	33	5.201524	51	5.204918
16	4.581681	34	5.205668	52	5.201598
17	4.694724	35	5.208004		
18	4.765103	36	5.211641		



ภาพพนวก 10 ผลการทดสอบค่าแรงดันไฟฟ้าตอบสนองที่ระดับความเข้มข้น 20,000 ppm

ทำการไทยгерตจำนวน 6 ครั้ง ที่ระดับความเข้มข้น 20,000 ppm ได้ผลการทดสอบดังตารางพนวก 41

ตารางพนวก 41 ค่าจาก การไทยгерตที่ระดับความเข้มข้น 20,000 ppm

ความเข้มข้น SO ₂ จากการไทยгерต					
ครั้งที่ 1	ครั้งที่ 2	ครั้งที่ 3	ครั้งที่ 4	ครั้งที่ 5	ครั้งที่ 6
17,136	19,584	19,584	17,136	19,584	19,584



ผลการทดสอบอุปกรณ์ตรวจวัด SO_2 กับห้องรnm SO_2 กับผลลัพธ์สครับดับอุตสาหกรรม

ผลการทดสอบอุปกรณ์ตรวจวัด SO₂ กับห้องรน SO₂ กับผลลัพธ์ส่วนตัวอุตสาหกรรม

ทดสอบอุปกรณ์ตรวจวัด SO₂ ที่ประกอบด้วยหน่วยตรวจวัด SO₂ และหน่วยประมวลผล ในระหว่างการรน SO₂ กับผลลัพธ์ส่วนตัวอุตสาหกรรมโดยการสูมด้วยหัว SO₂ จากห้องรน ตัวยกระดับออกซิเดชันบีบริมาร์ 2 มิลลิลิตร สูมด้วยหัว SO₂ ทุก 10 นาที ตลอดระยะเวลาในการรน 60 นาที ปล่อยเข้าสู่หน่วยตรวจวัด SO₂ ส่งสัญญาณเป็นแรงดันไฟฟ้าไปยังหน่วยประมวลผล เพื่อแปลงสัญญาณแรงดันไฟฟ้าเป็นค่าจดอัลและคำนวณค่าความเข้มข้น SO₂ แสดงผลความเข้มข้นเป็นตัวเลขในหน่วย ppm ทำการทดสอบจำนวน 3 ครั้ง ที่ระดับความเข้มข้นเมื่อสิ้นสุดการรน 6,000 ppm 8,000 ppm และ 12,000 ppm ได้ผลการทดสอบดังตารางหน้า 42 - 50 ตามลำดับ

ตารางหน้า 42 ผลการทดสอบอุปกรณ์ ภาคสนาม ทุก 10 นาที ตลอดระยะเวลาในการรน 60 นาที ที่ความเข้มข้นเมื่อสิ้นสุดการรน 6,000 ppm ครั้งที่ 1

เวลา (นาที)	ค่าความเข้มข้น SO ₂ จากอุปกรณ์ (ppm)	ค่าความเข้มข้น SO ₂ จากการไฟเกรต (ppm)				เฉลี่ย
		ครั้งที่ 1	ครั้งที่ 2	ครั้งที่ 3	เฉลี่ย	
0	17,284	19,584	19,584	17,136	18,768	±1,413.35
10	17,294	19,584	17,136	-	18,360	±1,730.99
20	13,919	12,240	12,240	-	12,240	±0.00
30	11,137	9,792	12,240	12,240	11,424	±1,413.35
40	6,035	7,344	7,344	-	7,344	±0.00
50	8,017	9,732	7,344	-	8,538	±1,688.57
60	5,932	7,344	7,344	7,344	7,344	±0.00

ตารางผนวก 43 ผลการทดสอบอุปกรณ์ ภาคสนาม ทุก 10 นาที ตลอดระยะเวลาในการรัม 60 นาที ที่ความเข้มข้นเมื่อสิ้นสุดการรัม 6,000 ppm ครั้งที่ 2

เวลา (นาที)	ค่าความเข้มข้น SO ₂ จากอุปกรณ์ (ppm)	ค่าความเข้มข้น SO ₂ จากการไฟเกรต (ppm)				
		ครั้งที่ 1	ครั้งที่ 2	ครั้งที่ 3	เฉลี่ย	
0	24,863	26,928	26,928	24,480	26,112	±1,413.35
10	25,209	26,928	24,480	24,480	25,296	±1,413.35
20	20,835	24,480	19,584	24,480	22,848	±2,826.71
30	13,712	12,240	14,688	17,136	14,688	±2,448.00
40	9,968	12,240	9,792	12,240	11,424	±1,413.35
50	8,529	9,792	9,792	9,792	9,792	±0.00
60	6,257	7,344	7,344	7,344	7,344	±0.00

ตารางผนวก 44 ผลการทดสอบอุปกรณ์ ภาคสนาม ทุก 10 นาที ตลอดระยะเวลาในการรัม 60 นาที ที่ความเข้มข้นเมื่อสิ้นสุดการรัม 6,000 ppm ครั้งที่ 3

เวลา (นาที)	ค่าความเข้มข้น SO ₂ จากอุปกรณ์ (ppm)	ค่าความเข้มข้น SO ₂ จากการไฟเกรต (ppm)				
		ครั้งที่ 1	ครั้งที่ 2	ครั้งที่ 3	เฉลี่ย	
0	25,776	24,480	26,928	24,480	25,296	±1,413.35
10	24,543	24,480	24,480	24,480	24,480	±0.00
20	21,584	19,584	24,480	24,480	22,848	±2,826.71
30	14,086	12,240	12,240	14,688	13,056	±1,413.35
40	10,586	9,732	12,240	12,240	11,404	±1,447.99
50	8,736	9,732	9,732	9,732	9,732	±0.00
60	6,561	7,344	7,344	7,344	7,344	±0.00

ตารางผนวก 45 ผลการทดสอบอุปกรณ์ภาคสนาม ทุก 10 นาที ตลอดระยะเวลาในการรอม 60 นาที ที่ความเข้มข้นเมื่อสิ้นสุดการรอม 8,000 ppm ครั้งที่ 1

เวลา (นาที)	ค่าความเข้มข้น SO ₂ จากอุปกรณ์ (ppm)	ค่าความเข้มข้น SO ₂ จากการไฟเกรต (ppm)				
		ครั้งที่ 1	ครั้งที่ 2	ครั้งที่ 3	เฉลี่ย	
0	19,713	22,032	29,376	22,032	24,480	±4,240.06
10	31,170	24,480	44,064	29,376	32,640	±10,191.84
20	25,695	29,376	24,480	26,928	26,928	±2,448.00
30	16,962	19,584	22,032	19,584	20,400	±1,413.35
40	14,646	17,136	14,688	19,584	17,136	±2,448.00
50	10,845	12,240	12,240	14,688	13,056	±1,413.35
60	8,317	9,792	9,792	12,240	10,608	±1,413.35

ตารางผนวก 46 ผลการทดสอบอุปกรณ์ภาคสนาม ทุก 10 นาที ตลอดระยะเวลาในการรอม 60 นาที ที่ความเข้มข้นเมื่อสิ้นสุดการรอม 8,000 ppm ครั้งที่ 2

เวลา (นาที)	ค่าความเข้มข้น SO ₂ จากอุปกรณ์ (ppm)	ค่าความเข้มข้น SO ₂ จากการไฟเกรต (ppm)				
		ครั้งที่ 1	ครั้งที่ 2	ครั้งที่ 3	เฉลี่ย	
0	23,639	24,480	26,928	24,480	25,296	±1,413.35
10	23,274	31,824	24,480	24,480	26,928	±4,240.00
20	19,681	22,032	22,032	22,032	22,032	±0.00
30	15,597	17,136	17,136	19,584	17,952	±1,413.35
40	11,224	14,688	12,240	14,688	13,872	±1,413.35
50	9,686	12,240	12,240	12,240	12,240	±0.00
60	8,272	9,792	9,792	9,792	9,792	±0.00

ตารางผนวก 47 ผลการทดสอบอุปกรณ์ ภาคสนาม ทุก 10 นาที ตลอดระยะเวลาในการรัม 60 นาที ที่ความเข้มข้นเมื่อสิ้นสุดการรัม 8,000 ppm ครั้งที่ 3

เวลา (นาที)	ค่าความเข้มข้น SO ₂ จากอุปกรณ์ (ppm)	ค่าความเข้มข้น SO ₂ จากการไฟเกรต (ppm)				
		ครั้งที่ 1	ครั้งที่ 2	ครั้งที่ 3	เฉลี่ย	
0	22,675	26,928	24,480	24,480	25,296	±1,413.35
10	24,270	29,376	29,376	26,928	28,560	±1,413.35
20	21,795	22,032	22,032	19,584	21,216	±1,413.35
30	18,247	22,032	14,688	19,584	18,768	±3,739.38
40	14,945	19,584	19,584	12,240	17,136	±4,240.06
50	12,629	12,240	12,240	14,688	13,056	±1,413.35
60	8,987	9,792	9,792	9,792	9,792	±0.00

ตารางผนวก 48 ผลการทดสอบอุปกรณ์ ภาคสนาม ทุก 10 นาที ตลอดระยะเวลาในการรัม 60 นาที ที่ความเข้มข้นเมื่อสิ้นสุดการรัม 12,000 ppm ครั้งที่ 1

เวลา (นาที)	ค่าความเข้มข้น SO ₂ จากอุปกรณ์ (ppm)	ค่าความเข้มข้น SO ₂ จากการไฟเกรต (ppm)				
		ครั้งที่ 1	ครั้งที่ 2	ครั้งที่ 3	เฉลี่ย	
0	26,749	29,376	29,376	34,272	31,008	±2,826.71
10	30,223	36,720	31,824	39,168	35,904	±3,739.38
20	25,045	22,032	26,928	29,376	26,112	±3,739.38
30	18,865	24,480	22,032	22,032	22,848	±1,413.35
40	14,267	17,136	12,240	17,136	15,504	±2,826.71
50	12,179	14,688	12,240	14,688	13,872	±1,413.35
60	11,536	12,240	12,240	9,792	11,424	±1,413.35

ตารางผนวก 49 ผลการทดสอบอุปกรณ์ ภาคสนาม ทุก 10 นาที ตลอดระยะเวลาในการรอม 60 นาที ที่ความเข้มข้นเมื่อสิ้นสุดการรอม 12,000 ppm ครั้งที่ 2

เวลา (นาที)	ค่าความเข้มข้น SO ₂ จากอุปกรณ์ (ppm)	ค่าความเข้มข้น SO ₂ จากการไฟเกรต (ppm)				เฉลี่ย
		ครั้งที่ 1	ครั้งที่ 2	ครั้งที่ 3	เฉลี่ย	
0	27,510	31,824	29,376	26,928	29,376	±2,448.00
10	24,852	26,928	29,376	22,032	26,112	±3,739.38
20	22,819	26,928	26,928	26,928	26,928	±0.00
30	18,686	22,032	19,584	22,032	21,216	±1,413.35
40	13,893	17,136	17,136	17,136	17,136	±0.00
50	10,568	14,688	14,688	17,136	15,504	±1,413.35
60	8,940	12,240	9,792	12,240	11,424	±1,413.35

ตารางผนวก 50 ผลการทดสอบอุปกรณ์ ภาคสนาม ทุก 10 นาที ตลอดระยะเวลาในการรอม 60 นาที ที่ความเข้มข้นเมื่อสิ้นสุดการรอม 12,000 ppm ครั้งที่ 3

เวลา (นาที)	ค่าความเข้มข้น SO ₂ จากอุปกรณ์ (ppm)	ค่าความเข้มข้น SO ₂ จากการไฟเกรต (ppm)				เฉลี่ย
		ครั้งที่ 1	ครั้งที่ 2	ครั้งที่ 3	เฉลี่ย	
0	27,719	26,928	29,376	31,824	29,376	±2,448.00
10	35,127	36,720	36,720	36,720	36,720	±0.00
20	30,386	29,376	29,376	-	29,376	±0.00
30	23,664	24,480	22,032	26,928	24,480	±2,448.00
40	19,572	19,584	19,584	-	19,584	±0.00
50	14,723	14,688	17,136	-	15,912	±1,730.99
60	12,209	9,792	12,240	12,240	11,424	±1,413.35



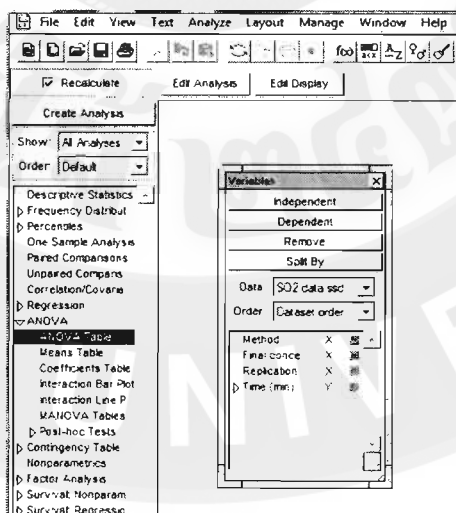
การวิเคราะห์ข้อมูลโดยใช้โปรแกรม Statview™ v.5 เพื่อเปรียบเทียบการใช้อุปกรณ์ตรวจวัด SO₂ กับการไทยเรต ในการรวม SO₂ กับผลลัพธ์สุด มีขั้นตอนดังต่อไปนี้

1. กรอกข้อมูลตัวแปรต้นและตัวแปรตามเข้าไปในโปรแกรม (ภาพนวน 11)

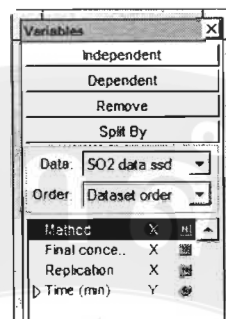
Type	Category	Category	Replicates	Time (min)						
				0	10	20	30	40	50	60
Source	User Entered	User Entered	Real	Real	Real	Real	Real	Real	Real	Real
Class	Nominal	Nominal	Nominal	User Entered						
Format	*	*	*	Continuous						
Dec Places	*	*	*	Free Format Fixed						
1	Titrator	6000 ppm	1	18768.00	18360.00	12740.00	11424.00	7344.00	8538.00	7344.00
2	Titrator	6000 ppm	2	26112.00	25296.00	22832.00	16638.00	11424.00	9792.00	7344.00
3	Titrator	6000 ppm	3	25296.00	24460.00	22848.00	11056.00	11404.00	9732.00	7344.00
4	Titrator	6000 ppm	1	24460.00	32640.00	26268.00	20490.00	17136.00	13056.00	10608.00
5	Titrator	6000 ppm	2	25296.00	26936.00	22032.00	17952.00	13872.00	12246.00	9792.00
6	Titrator	6000 ppm	3	25296.00	28560.00	21216.00	18768.00	17136.00	13056.00	9792.00
7	Titrator	12000 ppm	1	31098.00	35924.00	26112.00	22848.00	15504.00	13672.00	11424.00
8	Titrator	12000 ppm	2	29378.00	26112.00	26936.00	21216.00	17136.00	15504.00	11424.00
9	Titrator	12000 ppm	3	29378.00	36726.00	26112.00	24460.00	19584.00	15912.00	11424.00
10	Device	6000 ppm	1	17284.00	17294.00	13019.00	11137.00	6035.00	8017.00	5632.00
11	Device	6000 ppm	2	24963.00	25269.00	20632.00	13122.00	9966.00	9529.00	6257.00
12	Device	6000 ppm	3	25776.00	24843.00	21581.00	14086.00	10586.00	8738.00	8561.00
13	Device	8000 ppm	1	19713.00	31176.00	25695.00	16962.00	18446.00	10645.00	8317.00
14	Device	8000 ppm	2	23639.00	23274.00	19681.00	15597.00	11224.00	9686.00	5272.00
15	Device	8000 ppm	3	22675.00	24276.00	21795.00	18247.00	14945.00	12629.00	8567.00
16	Device	12000 ppm	1	26749.00	30223.00	25045.00	18665.00	14267.00	12179.00	10536.00
17	Device	12000 ppm	2	27510.00	24652.00	22818.00	18896.00	13893.00	10568.00	3916.00
18	Device	12000 ppm	3	27719.00	35127.00	30386.00	23066.00	19572.00	14723.00	12239.00

ภาพนวน 11 การกรอกข้อมูลตัวแปรต้นและตัวแปรตาม

2. ทำการเลือกแสดงตาราง ANOVA เพื่อแสดงผล โดยเลือกตัวแปรต้นและตัวแปรตามสำหรับการวิเคราะห์ดังภาพนวน 12 และ 13 ตามลำดับ

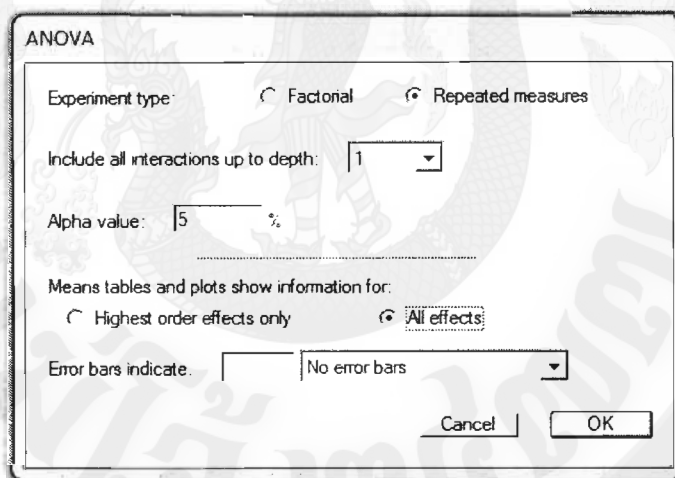


ภาพนวน 12 การเข้าค่าสั่งในการแสดงตาราง ANOVA



ภาพพนวก 13 การเลือกตัวแปรต้นและตัวแปรตามเข้าในคำสั่ง

3. ทำการวิเคราะห์ข้อมูลแบบ Repeated measures ใช้ตัวแปรต้นและตัวแปรตามที่ได้กำหนดไว้ และใช้ระดับความเชื่อมั่นที่ 0.05 ดังภาพพนวก 14 และได้ผลการวิเคราะห์ดังภาพพนวก 15



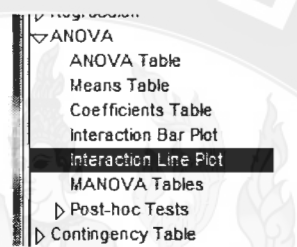
ภาพพนวก 14 การเข้าคำสั่งการวิเคราะห์ข้อมูลแบบ Repeated measures

ANOVA Table for Time (min)

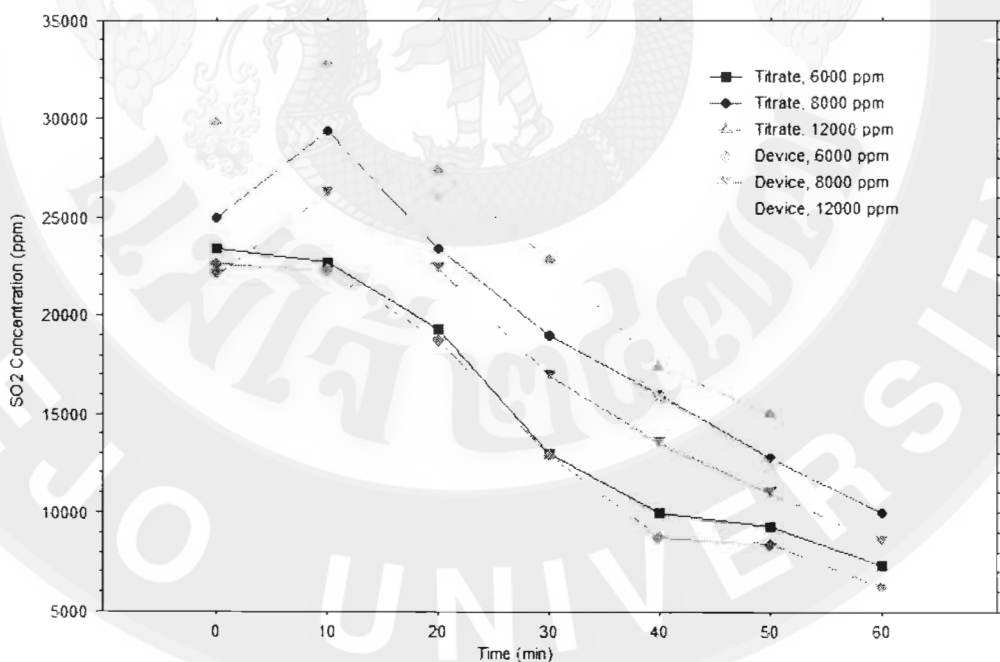
	DF	Sum of Squares	Mean Square	F-Value	P-Value	Lambda	Power
Method	1	83288598.127	83288598.127	3.673	.0794	3.673	.411
Final concentration	2	956995490.111	478497745.056	21.101	.0001	42.201	1.000
Replication	2	96981986.730	48490993.365	2.138	.1606	4.277	.345
Subject(Group)	12	272124025.476	22677002.123				
Category for Time (min)	6	5420350969.984	903391828.331	278.567	< .0001	1671.402	1.000
Category for Time (min) * Method	6	5182130.873	863688.479	.266	.9508	1.598	.117
Category for Time (min) * Final concentra...	12	100214466.444	8351205.537	2.575	.0067	30.902	.962
Category for Time (min) * Replication	12	62859596.825	5238299.735	1.615	.1065	19.383	.787
Category for Time (min) * Subject(Group)	72	233495745.302	3242996.463				

ภาพพนวก 15 ผลการวิเคราะห์โดยการใช้คำสั่งการวิเคราะห์ข้อมูลแบบ Repeated measures

4. เลือกการแสดงผลในรูปแบบของกราฟ เพื่อวิเคราะห์ถึงแนวโน้มในการตรวจวัด SO_2 เปรียบเทียบระหว่างค่าความเข้มข้นที่ได้จากอุปกรณ์กับการไทเทรต ดังภาพนحوก 16 และทำการวิเคราะห์ข้อมูลแบบ Repeated measures ใช้ตัวแปรด้านและตัวแปรตามที่ได้กำหนดไว้ และใช้ระดับความเชื่อมั่นที่ 0.05 ดังภาพนحوก 14 ได้ผลการวิเคราะห์ดังภาพนحوก 17



ภาพนحوก 16 การเข้าคำสั่งในการแสดงกราฟ โดยใช้คำสั่งการวิเคราะห์ข้อมูลแบบ Repeated measures



ภาพนحوก 17 ผลการวิเคราะห์โดยการใช้คำสั่งการวิเคราะห์ข้อมูลแบบ Repeated measures โดยแสดงผลในรูปของกราฟ



การหาปริมาณ SO_2 ตอกค้างในผลิตภัณฑ์สกัดการรرم
โดยวิธี Modified Monier-Williams

การวิเคราะห์หาปริมาณ SO_2 ตกค้างในเนื้อและเปลือกของลำไย ด้วยวิธี Modified Monier-Williams (สถาบันอาหาร, 2541) ประกอบด้วยส่วนต่าง ๆ ดังนี้

1. หลักการ วิธี Modified Monier-Williams เป็นวิธีที่ใช้หาปริมาณ SO_2 ที่มีอยู่ในผลไม้รับ SO_2 โดยการกลั่นตัวอย่างเพื่อสกัด SO_2 ในสภาวะที่เป็นกรด และดักจับก๊าซ SO_2 ที่สกัดได้ด้วยสารละลายไฮโดรเจนเปอร์ออกไซด์ (H_2O_2) จากนั้นนำมาให้เหตุตัวบาร์มารฐานโซเดียมไฮดรอกไซด์ (NaOH) เพื่อหาปริมาณ SO_2 ที่อยู่ในผลไม้

2. อุปกรณ์ ประกอบด้วย

2.1 ชุดเครื่องแก้ว (ภาพนวก 18) ได้แก่

2.1.1 ขวดก้นกลมชนิดสองหู ขนาด 500 มิลลิลิตร

2.1.2 ท่อน้ำก๊าซในไตรเจน

2.1.3 คอนเดนเซอร์

2.1.4 Conical flask ขนาด 250 มิลลิลิตร

2.1.5 Dreschel bottle head ยาว 130 มิลลิลิตร

2.1.6 ท่อแก้ว

2.1.7 หลอดทดลอง

2.2 อุปกรณ์อื่น ๆ ได้แก่

2.2.1 ขวดวัดปริมาตร ขนาด 500 มิลลิลิตร

2.2.2 กระบอกดูด ขนาด 100 มิลลิลิตร

2.2.3 บีกเกอร์ ขนาด 50 100 250 มิลลิลิตร

2.2.4 สายยาง

2.2.5 เตาไฟฟ้า

2.2.6 ปากถีบ

2.2.7 ถ้วยพลาสติกพร้อมฝาปิด

2.2.8 กระบอกน้ำกลั่น

2.2.9 ขวดพลาสติกพร้อมฝาปิด

2.2.10 เครื่องชั่ง ความละเอียด 0.01 กรัม

2.2.11 ถังบรรจุก๊าซในไตรเจนพร้อมมาตรฐานวัดความดัน (Regulator)

2.2.12 ขวดรูปกรวย

2.2.13 ถ้วยไฟฟ้า

2.2.14 โภคความชื้น

2.2.15 ถ้วยอะลูมิเนียมพร้อมฝาปิด

2.2.16 บิวเร็ต ขนาด 25 มิลลิลิตร

2.3 สารเคมี ได้แก่

2.3.1 เมทิลีนบลู (Methylene blue)

2.3.2 เมทิลเรด (Methyl red)

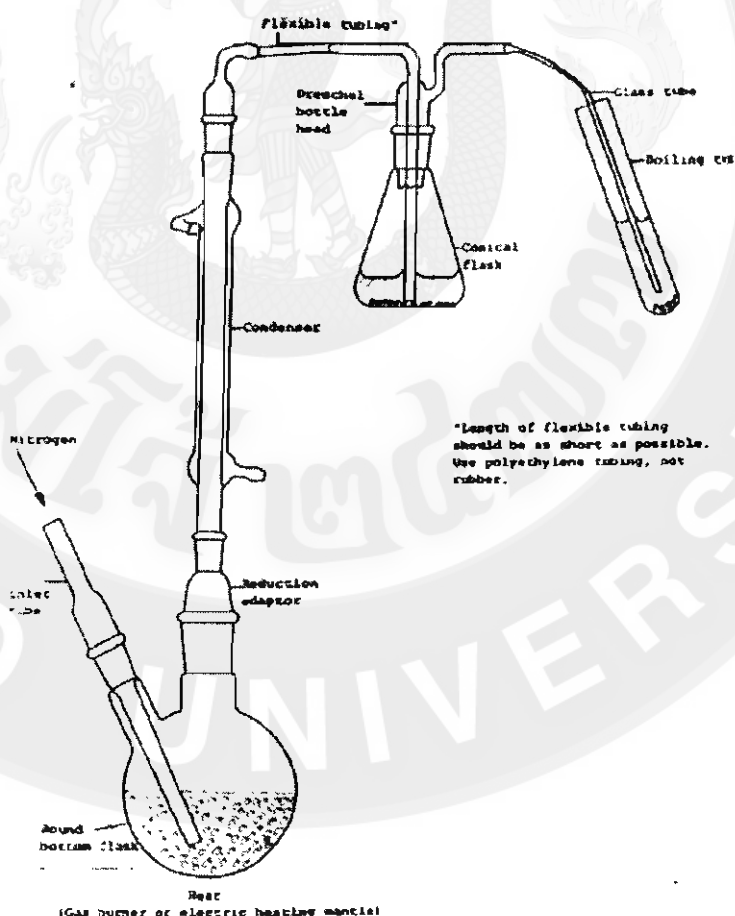
2.3.3 โซเดียมไฮดรอกไซด์

2.3.4 ไฮโดรเจนเปอร์ออกไซด์ 35 เปอร์เซ็นต์

2.3.5 กรดไฮโดรคลอเดิก (HCl) เจ้มข้น 36-38 เปอร์เซ็นต์

2.3.6 เอทานอล 95 เปอร์เซ็นต์

2.3.7 โซเดียมเมต้าไบซัลไฟด์



ภาพพนวก 18 ชุดเครื่องแก้วสำหรับวิเคราะห์ SO_2 ที่ตอก้างในเนื้อและในเปลือกลำไย
ที่มา: สถาบันอาหาร (2541)

2.4 การเตรียมสารเคมี ประกอบด้วย

2.4.1 เมทิลเรดอินดิเคเตอร์ ชั่งเมทิลลีนบลู 0.05 กรัม และเมทิลเรด 0.1 กรัม ผสมสารทึบส่องชนิดคั่วยเอกสารอล 95% จำนวน 100 มิลลิลิตร สารละลายที่ได้เก็บในขวดสีชา

2.4.2 สารละลายโซเดียมไฮดรอกไซด์ (NaOH) 0.1 และ 0.01 นอร์มัล ถ้าต้องการเตรียม NaOH ความเข้มข้น 0.1 และ 0.01 นอร์มัล ปริมาตร 1,000 มิลลิลิตร ต้องซั่งสาร NaOH จำนวน 4 กรัม และ 0.4 กรัม มาละลายในน้ำกลั่นจนได้ปริมาตรครบ 1,000 มิลลิลิตร ตามลำดับ

2.4.3 สารละลายไฮโดรเจนเปอร์ออกไซด์ (H_2O_2) ความเข้มข้น 3 เปอร์เซ็นต์ โดยเตรียมจาก H_2O_2 ความเข้มข้น 30 เปอร์เซ็นต์ ดังนี้ถ้าต้องการเตรียมสารละลาย H_2O_2 3 เปอร์เซ็นต์ ปริมาตร 1,000 มิลลิลิตร ต้องใช้ H_2O_2 จำนวน 100 มิลลิลิตร แล้วเดินน้ำกลั่นลงไปจนได้ปริมาตรครบ 1,000 มิลลิลิตร จากนั้นจึงหยดเมทิลเรดอินดิเคเตอร์ลงไปประมาณ 5-7 หยด จนได้สารละลายเป็นสีม่วง ซึ่งสารละลายที่ได้ในขั้นตอนนี้มีสภาพเป็นกรด ดังนั้นจึงต้องทำการปรับสภาพให้เป็นกลาง โดยการใช้ NaOH ความเข้มข้น 0.1 นอร์มัล หยดลงไป จนกระทั่งสารละลายเปลี่ยนจากสีม่วงเป็นสีเขียวอ่อน ๆ ซึ่ง H_2O_2 ที่เตรียมได้นี้ ควรรีบนำไปใช้ทันทีหรือควรเก็บไว้ในตู้เย็นอุณหภูมิประมาณ 10 องศาเซลเซียส

3. การเตรียมตัวอย่าง ประกอบด้วย

3.1 ทำการแยกส่วนเปลือกและเนื้อผลลำไยออกจากกัน โดยต้องระวังไม่ให้อุปกรณ์หรือเครื่องมือที่ได้สัมผัสกับเปลือกผลลำไยไปสัมผัสกับเนื้อผลลำไย เพราะอาจทำให้เกิดการปนเปื้อนและส่งผลให้เกิดความคลาดเคลื่อนในส่วนของปริมาณ SO_2 คงค้างที่วิเคราะห์ได้

3.2 ทำการซั่มน้ำหนัก โดยแยกระหว่างส่วนของเปลือกและเนื้อผลลำไย แล้วนำไปใส่ถ้วยพลาสติก

3.3 กรณีที่ซั่งไม่ได้ทำการวิเคราะห์ทันที ให้เดินน้ำกลั่นให้ท่วมเปลือกและเนื้อผลลำไย แล้วปิดฝาไว้

4. การวิเคราะห์ ประกอบด้วย

4.1 เทตัวอย่างเปลือกและเนื้อผลลำไยลงในขวดก้นกลมชนิด 2 คอ แล้วเดินน้ำกลั่นลงไปให้ได้ประมาณครึ่งหนึ่งของขวดก้นกลม (Round bottom flask) หรือประมาณ 200-250 มิลลิลิตร

4.2 นำไปประกอบเข้ากับชุดเครื่องแก้วที่ใช้ในการสกัด

4.3 เทสารละลาย H_2O_2 ความเข้มข้น 3 เปอร์เซ็นต์ ลงใน Conical flask ขนาด 250 มิลลิลิตร ประมาณ 100 มิลลิลิตร และใส่ลงใน Boiling tube ประมาณครึ่งหลอด

4.4 นำไนปะกอนเข้ากับชุดเครื่องแก้วที่ใช้ในการสกัด

4.5 ใส่กรด HCl เข้มข้น (36-38 เปอร์เซ็นต์) ประมาณ 20 มิลลิลิตร ลงในขวดก้นกลม

4.6 สูบห่อน้ำก๊าซในโตรเจน เข้ากับขวดก้นกลม โดยให้มีอัตราการไหลของฟองก๊าซ 1 พองต่อวินาที

4.7 เปิดน้ำให้ไหลผ่านเข้าไปในท่อคอนเดนเซอร์ (Condenser cone)

4.8 เปิดเตาไฟฟ้าเพื่อทำการต้มตัวอย่าง

4.9 รอจนกระทั้งตัวอย่างผลลำไยในขวดก้นกลมเดือดแล้วจึงจับเวลา ซึ่งจะใช้เวลาในการต้มประมาณ 50-60 นาที (ถ้าตัวอย่างมีปริมาณ SO_2 ตกค้าง สารละลายน้ำ H_2O_2 ที่อยู่ในขวดรูปชมพู่ และ Boiling tube จะเปลี่ยนจากสีเขียวอ่อน ไปเป็นสีชนพู)

4.10 ปิดเตาสำหรับให้ความร้อน

4.11 ตอดห่อน้ำก๊าซในโตรเจนออก

4.12 นำสารละลายน้ำ H_2O_2 ที่อยู่ใน Boiling tube มารวมกับสารละลายน้ำ H_2O_2 ที่อยู่ในขวดรูปชมพู่ จากนั้นจึงนำไปไถเตรบทกับสารละลายน้ำ NaOH จนถึงจุดหยุดซึ่งจะได้สารละลายน้ำที่มีสีเขียวอ่อน (โดยส่วนเปลือกผลลำไยให้ใช้ NaOH ความเข้มข้น 0.1 นอร์มัล และในส่วนเนื้อผลให้ใช้ NaOH ความเข้มข้น 0.01 นอร์มัล)

5. การคำนวณหาปริมาณ SO_2 ตกค้าง

การคำนวณหาปริมาณ SO_2 ตกค้างในเปลือกและเนื้อแสดงดังสมการ 11

$$\text{ปริมาณ } \text{SO}_2 \text{ ตกค้าง (ppm)} = \frac{N(\text{NaOH}) \times V(\text{NaOH}) \times 32 \times 1,000}{W} \quad (11)$$

โดย

$N(\text{NaOH})$ = Normality ของ NaOH

$V(\text{NaOH})$ = จำนวนมิลลิลิตรของ NaOH ที่ใช้ในการไถเตรท

32 = มิลลิกรัมสมมูลของ SO_2

W = น้ำหนักของตัวอย่างเปลือกหรือเนื้อผลลำไย (กรัม)



ภาพบางส่วนจากการเก็บข้อมูลภาคสนาม



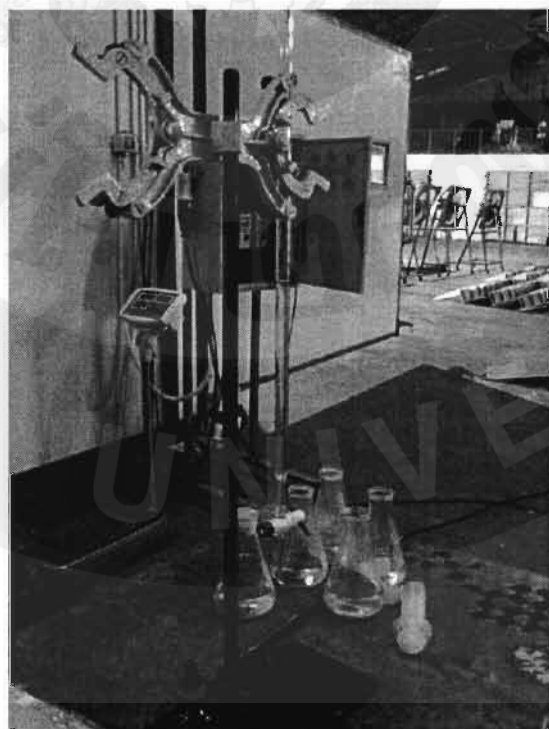
ภาพนิว 19 ลำไบสดในห้องร่ม SO₂ กับผลลำไบสดระดับอุตสาหกรรม



ภาพนิว 20 ลำไบสดก่อนเข้าห้องร่มในโรงงานร่ม SO₂ กับผลลำไบสดระดับอุตสาหกรรม



ภาพพนวก 21 หอกำจัด SO_2 จากห้องร่ม SO_2 ก่อนปล่อยสู่บรรยากาศ



ภาพพนวก 22 ชุดอุปกรณ์ไทรเทրต จากการสูม SO_2 จากห้องร่ม



ภาพพนวก 23 ถังอัดความดันบรรจุ SO_2 ความบริสุทธิ์ 99.99%



ภาพพนวก 24 ชุดอุปกรณ์ตรวจวัด SO_2 ในการเก็บข้อมูลภาคสนาม



ประวัติผู้วิจัย

ชื่อ-สกุล เกิดเมื่อ	นายนราธิป สุจินดา 23 พฤษภาคม 2529
ประวัติการศึกษา	พ.ศ. 2544 จบมัธยมศึกษาตอนต้น โรงเรียนตารางฯวิทยาลัย จังหวัดเชียงใหม่ พ.ศ. 2547 จบมัธยมศึกษาตอนปลาย โรงเรียนตารางฯวิทยาลัย จังหวัดเชียงใหม่ พ.ศ. 2551 ปริญญาวิศวกรรมศาสตรบัณฑิต (วิศวกรรมอาหาร) มหาวิทยาลัยแม่โจ้ จังหวัดเชียงใหม่
ประสบการณ์	พ.ศ. 2551- ผู้ช่วยนักวิจัย คณะวิศวกรรมและอุตสาหกรรมเกษตร มหาวิทยาลัยแม่โจ้
ผลงานทางวิชาการ	พ.ศ. 2553

นราธิป สุจินดา ชาตุพงษ์ วากุทึ้ง จักรพงษ์ พิมพ์พิมล ชนวัฒน์
นิทศน์วิจิตร และสมเกรี้ยดิ จตุรงค์ถ้าเดช. 2554. ค่าตอบสนองของอุปกรณ์
ตรวจวัดแก๊ซกลไฟฟ้าโดยอุปกรณ์ความเข้มข้นสูงที่ใช้ในการยึดอาชญากรรม.
สค. ใน งานสัมมนาวิชาการวิทยาการหลังการเก็บเกี่ยวแห่งชาติ ครั้งที่ 9, 23-
24 มิถุนายน 2554 ณ โรงแรมพัทยา พาร์ค บีช รีสอร์ท. ชลบุรี. ศูนย์
นวัตกรรมเทคโนโลยีหลังการเก็บเกี่ยว.